

# **ESCUELA SUPERIOR POLITÉCNICA DEL LITORAL**

## **Facultad de Ingeniería en Mecánica y Ciencias de la Producción**

“Diseño de un intercambiador de calor de baja entalpia por geotermia para  
climatización de un edificio universitario”

### **PROYECTO INTEGRADOR**

Previo la obtención del Título de:

**Ingeniero Mecánico**

Presentado por:

Christopher Josué Cevallos Rivera  
Christian Stanley Morán Astudillo

**GUAYAQUIL - ECUADOR**

Año: 2021

## **DEDICATORIA**

A mi madre y mi hermana:  
Elena Rivera y Katherine Cevallos  
A mis padres:  
Javier Cevallos y Arnoldo Sánchez  
A mis abuelos y tíos

*Christopher Cevallos Rivera*

A mis abuelos:  
Celso y Luzmila  
A mis padres:  
Ufredo y Liliana

*Christian Morán Astudillo*

## **AGRADECIMIENTO**

A mis padres: Elena y Arnoldo, por brindarme su apoyo incondicional para mi desarrollo académico y personal. A mi hermana por acompañarme y ayudarme en las largas jornadas de estudio y tareas. A mis abuelos y tíos: María, Pedro, Jessica, Pablo, Danilo y Elsa por su tiempo y consejos ofrecidos como si fueran mis padres. A la ESPOL por darme el espacio, donde me formé, y los maestros que tanto admiro: doctores Delgado, Espinoza y especialmente al Dr. Juan Peralta quien como tutor nos guio y ayudó de la mejor manera. A los amigos con quienes compartí este arduo camino: Raúl y Nathaly. Y a mi padre en el cielo, Javier Cevallos, por ser mi modelo a seguir.

*Christopher Cevallos Rivera*

A mis padres por apoyarme en todo lo que me propongo. A mis abuelos por enseñarme la importancia de la humildad. A mi tutor, el Dr. Juan Manuel Peralta por su desinteresado apoyo y significativos aportes en este proyecto. A la ESPOL por mostrarme el valor del sacrificio y la satisfacción de una meta cumplida. A los grandes amigos que hice durante mi carrera.

*Christian Morán Astudillo*

## **DECLARACIÓN EXPRESA**

"Los derechos de titularidad y explotación, nos corresponde conforme al reglamento de propiedad intelectual de la institución; *Christopher Josué Cevallos Rivera y Christian Stanley Morán Astudillo* damos nuestro consentimiento para que la ESPOL realice la comunicación pública de la obra por cualquier medio con el fin de promover la consulta, difusión y uso público de la producción intelectual"



*Christopher Josué  
Cevallos Rivera*



*Christian Stanley Morán  
Astudillo*

## EVALUADORES



Firmado electrónicamente por:  
**MIGUEL ANGEL  
QUILAMBAQUI  
JARA**

**PhD. Miguel Quilambaqui Jara**

PROFESOR DE LA MATERIA

**JUAN MANUEL  
PERALTA  
JARAMILLO**

Digitally signed by JUAN MANUEL PERALTA JARAMILLO  
DN: cn=JUAN MANUEL PERALTA JARAMILLO,  
serialNumber=210921231337,  
ou=ENTIDAD DE CERTIFICACION DE  
INFORMACION, o=SECURITY DATA S.A. 2,  
c=EC  
Date: 2021.11.29 13:31:40 -05'00'

**PhD. Juan Peralta Jaramillo**

PROFESOR TUTOR

## RESUMEN

En el norte del Estado de Sonora, México se presentan temperaturas ambientales de hasta 37 ° C las cuales conllevan al uso desmedido de sistemas de climatización, como consecuencia de esto tienen el mayor consumo energético a nivel nacional. Por este motivo, este proyecto tiene como finalidad diseñar un intercambiador de calor enterrado de baja entalpía capaz de climatizar un edificio universitario considerando las propiedades térmicas del suelo, dimensionamiento y factibilidad económica del mismo. La infraestructura beneficiada fue el Laboratorio de Ingeniería Civil del Instituto Tecnológico de Sonora. Previo al diseño del intercambiador se llevó a cabo un análisis de temperaturas y propiedades de los diferentes niveles de suelo para lograr determinar la ubicación óptima para una buena transferencia de calor. Tomando en consideración las recomendaciones de IGSHPA, el volumen de la zona a refrigerar y las renovaciones de aire necesarias se llegó a un prototipo. Con la ayuda de un software CAM/CAD de simulación se realizaron pruebas en cada capa de suelo, con lo cual fue posible validar el diseño y seleccionar la mejor opción. En este caso, un intercambiador con tuberías de 20 centímetros de diámetro el cual será ubicado en la capa 1-2 bajo el suelo. Además, como impulsor del sistema se selecciona un ventilador centrífugo capaz de mover 510 metros cúbicos de aire por hora. La utilización de la geotermia como fuente de climatización es clave para asentar las bases de un futuro sostenible y más amigable con el ambiente, además de ser económicamente viable.

**Palabras Clave:** Geotermia, sostenibilidad, climatización, baja entalpía

## **ABSTRACT**

*In the north of the State of Sonora, Mexico there are environmental temperatures of up to 37 ° C which lead to the excessive use of air conditioning systems, as a consequence of this they have the highest energy consumption nationwide. For this reason, this project aims to design a low enthalpy buried heat exchanger capable of air conditioning a university building considering the thermal properties of the soil, dimensioning and economic feasibility. The infrastructure benefited was the Civil Engineering Laboratory of the Technological Institute of Sonora. Prior to the design of the exchanger, an analysis of temperatures and properties of the different soil levels was carried out to determine the optimal location for a good heat transfer. Taking into consideration the IGSHPA recommendations, the volume of the area to be cooled and the necessary air changes, a prototype was reached. With the help of a simulation CAM / CAD software, tests were carried out on each soil layer, with which it was possible to validate the design and select the best option. In this case, an exchanger with pipes of 20 centimeters diameter which will be located in the layer 1-2 under the ground. In addition, a centrifugal fan capable of moving 510 cubic meters of air per hour is selected as the driver of the system. The use of geothermal energy as a source of air conditioning is key to laying the foundations for a sustainable and more environmentally friendly future, as well as being economically viable.*

**Keywords:** Geothermal, sustainability, air conditioning, low enthalpy

# ÍNDICE GENERAL

|  |      |
|--|------|
| RESUMEN.....                                       | I    |
| ABSTRACT .....                                     | II   |
| ÍNDICE GENERAL .....                               | III  |
| ABREVIATURAS.....                                  | VI   |
| SIMBOLOGÍA .....                                   | VII  |
| ÍNDICE DE FIGURAS.....                             | VIII |
| ÍNDICE DE TABLAS.....                              | X    |
| CAPÍTULO 1.....                                    | 1    |
| 1.    Introducción .....                           | 1    |
| 1.1    Definición del Problema.....                | 1    |
| 1.2    Justificación del proyecto.....             | 1    |
| 1.3    Objetivos.....                              | 2    |
| 1.3.1    Objetivo General .....                    | 2    |
| 1.3.2    Objetivos Específicos .....               | 2    |
| 1.4    Marco teórico.....                          | 2    |
| 1.4.1    Energía Geotérmica .....                  | 2    |
| 1.4.2    Intercambiadores de calor .....           | 5    |
| 1.4.3    Bomba de calor .....                      | 6    |
| 1.4.4    Ventiladores .....                        | 6    |
| 1.4.5    Instalaciones térmicas en edificios ..... | 7    |
| CAPÍTULO 2.....                                    | 9    |
| 2.    Metodología .....                            | 9    |
| 2.1    Descripción de la infraestructura .....     | 9    |
| 2.1.1    Ubicación del edificio.....               | 9    |
| 2.1.2    Dimensiones.....                          | 9    |
| 2.1.3    Condiciones climatológicas .....          | 10   |

|                 |  |    |
|-----------------|--|----|
| 2.2             | Perfil térmico del suelo .....                         | 12 |
| 2.2.1           | Curvas de medición de respuestas térmica .....         | 12 |
| 2.2.2           | Propiedades térmicas del suelo .....                   | 13 |
| 2.3             | Alternativas de solución.....                          | 14 |
| 2.4             | Diseño de intercambiador de calor horizontal.....      | 14 |
| 2.4.1           | Dimensionamiento.....                                  | 14 |
| 2.4.2           | Selección de material .....                            | 17 |
| 2.5             | Simulaciones .....                                     | 17 |
| 2.5.1           | Simulación de la columna estratigráfica del suelo..... | 17 |
| 2.5.2           | Simulación del intercambiador de calor enterrado ..... | 17 |
| CAPÍTULO 3..... |  | 19 |
| 3.              | Resultados y Análisis.....                             | 19 |
| 3.1             | Selección del ventilador centrífugo .....              | 19 |
| 3.2             | Selección del diámetro de tubería .....                | 20 |
| 3.3             | Dimensionamiento de longitud de tubería .....          | 20 |
| 3.4             | Simulación de la columna estratigráfica .....          | 22 |
| 3.5             | Simulación del intercambiador enterrado .....          | 26 |
| 3.6             | Análisis económico .....                               | 29 |
| 3.6.1           | Materiales.....  | 29 |
| 3.6.2           | Equipos .....  | 29 |
| 3.6.3           | Mano de obra .....                                     | 30 |
| 3.6.4           | Costos totales.....                                    | 30 |
| CAPÍTULO 4..... |  | 31 |
| 4.              | Conclusiones y Recomendaciones.....                    | 31 |
| 4.1             | Conclusiones .....                                     | 31 |
| 4.2             | Recomendaciones.....                                   | 32 |
| BIBLIOGRAFÍA    |  |    |

## APÉNDICES

## **ABREVIATURAS**

|         |  |
|---------|--|
| ESPOL   | Escuela Superior Politécnica del Litoral                     |
| CONUEE  | Comisión Nacional para el Uso Eficiente de la Energía        |
| HVAC    | Heating, Ventilating, Air conditioned                        |
| SENER   | Secretaría de Energía  |
| ONU     | Organización de las Naciones Unidas                          |
| ATECYR  | Asociación Técnica Española de Climatización y Refrigeración |
| ITSON   | Instituto Tecnológico de Sonora                              |
| REMAS   | Red de Estaciones Meteorológicas Automáticas de Sonora       |
| IGSHPA  | International Ground Source Heat Pump Association            |
| 3D      | Three-dimensional  |
| CAM/CAD | Computer-Aided Design/Computer-Aided Manufacturing           |
| DIN     | Instituto de Normalización Alemán                            |

# SIMBOLOGÍA

|                            |  |
|----------------------------|--|
| $kWh$                      | Kilovatios hora  |
| $^{\circ}C, K$             | Grados Celsius y Kelvin                                      |
| m                          | Metro  |
| $m^2, m^3$                 | Metro cuadrado y cubico                                      |
| kg                         | Kilogramo  |
| $k_s, k_t, k_a$            | Conductividad térmica del suelo, de la tubería y el aire     |
| W                          | Vatio  |
| $c_p$                      | Calor específico   |
| kJ                         | Kilojulio  |
| $\dot{V}_{total}, \dot{V}$ | Caudal necesario para refrigerar y en un solo intercambiador |
| V                          | Volumen del espacio a refrigerar                             |
| hr                         | Hora   |
| Re                         | Número de Reynolds   |
| Nu                         | Número de Nusselt  |
| $h$                        | Coeficiente de transferencia de calor por convección         |
| $D_i, D_o$                 | Diámetro interno y externo de la tubería                     |
| L                          | Longitud de la tubería                                       |
| $\nu$                      | Viscosidad cinemática  |
| s                          | Segundo  |
| $\rho$                     | Densidad   |
| PVC                        | Policloruro de vinilo  |
| $T_{entrada}$              | Temperatura de entrada al intercambiador                     |
| $T_{salida}$               | Temperatura de salida del intercambiador                     |
| Pr                         | Número de Prandtl  |
| $T_s$                      | Temperatura máxima de la capa de suelo                       |
| $\Delta T_{ml}$            | Temperatura media logarítmica                                |
| BIAS                       | Sesgo  |
| RMSE                       | Error cuadrático medio                                       |

## ÍNDICE DE FIGURAS

|   |    |
|---|----|
| Figura 1.1 Distribución del recurso geotérmico en el mundo (Chandrasekharam & Bundschuh, 2008).....   | 3  |
| Figura 1.2 Perfil de temperaturas en función de la profundidad (Carta, Calero, Colmenar, & Castro, 2009) .....  | 3  |
| Figura 1.3 Clasificación de la energía geotérmica (Cárcel & Martínez, La Energía Geotérmica de Baja Entalpía, 2015).....  | 4  |
| Figura 1.4 Esquema de sistema geotérmico de baja entalpía en una zona residencial (ATECYR, 2010).....   | 6  |
| Figura 2.1 Localización del Laboratorio de Ingeniería Civil (LV-800), Campus Nainari, ITSON (Google, s.f.) .....  | 9  |
| Figura 2.2 Edificio de Laboratorios de Ingeniería Civil (ITSON, s.f.).....  | 10 |
| Figura 2.3 Temperatura del aire de agosto a diciembre 2019 (Registro realizado por REMAS y la Estación Climatológica ITSON) .....   | 11 |
| Figura 2.4 Curvas de máxima, media y mínima temperatura vs profundidad en la hora más caliente del día (Estudio de la Inercia Térmica del subsuelo realizado por ITSON) .....             | 12 |
| Figura 2.5 Curvas de máxima, media y mínima temperatura vs profundidad en la hora más fría del día (Estudio de la Inercia Térmica del subsuelo realizado por ITSON).....                  | 12 |
| Figura 2.6 Curva de temperatura promedio vs profundidad en el momento más caliente en verano y más frio en invierno (Estudio de la Inercia Térmica del subsuelo realizado por ITSON)..... | 13 |
| Figura 3.1 Modelo de la columna estratigráfica .....  | 23 |
| Figura 3.2 Resultados de la simulación: Temperatura de suelo vs Tiempo de cada capa entre 13 a 20 de agosto 2019 .....  | 23 |
| Figura 3.3 Resultados de la simulación: Temperatura de suelo vs Profundidad en el intervalo más caliente entre 13 a 20 de agosto 2019 .....   | 24 |
| Figura 3.4 BIAS vs Profundidad del perfil del suelo.....  | 24 |
| Figura 3.5 RMSE vs Profundidad del perfil del suelo.....  | 25 |
| Figura 3.6 BIAS vs Profundidad del perfil del suelo en cada día .....   | 25 |
| Figura 3.7 RMSE vs Profundidad del perfil del suelo en cada día.....  | 25 |
| Figura 3.8 Intercambiador de calor de PVC.....  | 26 |
| Figura 3.9 Intercambiador de calor enterrado.....   | 26 |

|   |    |
|---|----|
| Figura 3.10 Temperatura del sólido con el intercambiador ubicado a 7.5 metros .....                 | 27 |
| Figura 3.11 Temperatura del fluido con el intercambiador    ubicado a 7.5 metros .....              | 27 |
| Figura 3.12 Gradiante de temperatura del fluido vs Tiempo con datos del 18 de agosto del 2019 ..... | 28 |

## ÍNDICE DE TABLAS

|   |    |
|---|----|
| Tabla 2.1 Temperaturas más bajas, más altas y promedios de cada mes en 2019<br>(Registro registrado por REMAS y la Estación Climatológica ITSON).....           | 11 |
| Tabla 2.2 Propiedades de cada nivel de suelo (Prueba de granulometría, límite líquido, límite plástico y contenido de humedad natural realizado por ITSON)..... | 13 |
| Tabla 3.1 Parámetros de selección del ventilador centrifugo (reducir anchos).....   | 19 |
| Tabla 3.2 Características del ventilador centrifugo Soler&Palau PL-154.....   | 19 |
| Tabla 3.3 Parámetros usados para el dimensionamiento del diámetro de tubería .....  | 20 |
| Tabla 3.4 Características de tubería seleccionada .....   | 20 |
| Tabla 3.5 Parámetros usados para dimensionar la longitud de la tubería .....  | 21 |
| Tabla 3.6 Temperatura media logarítmica en cada capa.....   | 21 |
| Tabla 3.7 Longitud de tubería en cada nivel de suelo .....  | 22 |
| Tabla 3.8 Costo de Materiales.....  | 29 |
| Tabla 3.9 Costo de Equipos .....  | 30 |
| Tabla 3.10 Costo de mano de obra .....  | 30 |
| Tabla 3.11 Costos de diseño .....   | 30 |

# CAPÍTULO 1

## 1. INTRODUCCIÓN

### 1.1 Definición del Problema

Derivado a las altas temperaturas ambientales en el Estado de Sonora, México, la mayoría de los hogares cuentan con sistemas de climatización representando el mayor consumo energético a nivel nacional llegando a consumir incluso 4,488.42 kWh por hogar, lo que en promedio representa un 300% más respecto a otros estados (CONUEE, 2020). En los meses más calurosos que son julio, agosto y septiembre, se pueden alcanzar temperaturas de hasta 37 ° C y humedad de hasta el 98% (El clima promedio en Cd. Obregon, 2021). Estas condiciones climáticas dificultan en la práctica, lograr cubrir las necesidades de confort térmico en las edificaciones. Dentro del marco de esta problemática, como estrategia de reducción de consumo de energía se plantea el uso de energía renovables como es el caso de la geotermia (energía en forma de calor obtenida a partir del suelo), sin embargo, en la mayoría de casos no existen estudios técnicos o de viabilidad que sustente o validen su implementación como una estrategia tecnológica en el marco de HVAC, evidencia de esto se encuentra en los datos de la Secretaría de Energía (SENER) del 2014 donde solo 7.5% de la demanda energética se cubrió con fuentes renovables y solo el 2% de esto corresponde a geotermia (Gómez & González, 2017).

### 1.2 Justificación del proyecto

Este proyecto se enmarca en las acciones establecidas para el cumplimiento de los objetivos de desarrollo sostenible 7 y 11, los cuales buscan garantizar el acceso a una energía asequible, segura, sostenible y moderna. Y además lograr que las ciudades sean más inclusivas, seguras, resilientes y sostenibles (ONU, 2015). Con esto se pretende aumentar el desarrollo y aplicación de las tecnologías relacionadas a la geotermia con la finalidad de volverlo económicamente viable, más eficiente y además de reducir el consumo energético e impacto ambiental que se genera debido al uso de sistemas de

climatización convencionales. Por otro lado, es vital el desarrollo de estas tecnologías debido a que las ondas solares afectan considerablemente a los pobladores del estado. Según (Peñuñuri, 2020) la Secretaría de Salud informa que, durante la temporada de calor en Sonora, el 43.2% de las muertes fue ocasionada por golpes de calor, deshidrataciones e insolaciones.

### **1.3 Objetivos**

#### **1.3.1 Objetivo General**

Diseñar un intercambiador de calor horizontal enterrado de baja entalpía empleando la dinámica de fluidos computacional para el acondicionamiento de un edificio universitario en la ciudad de Obregón, Sonora, México.

#### **1.3.2 Objetivos Específicos**

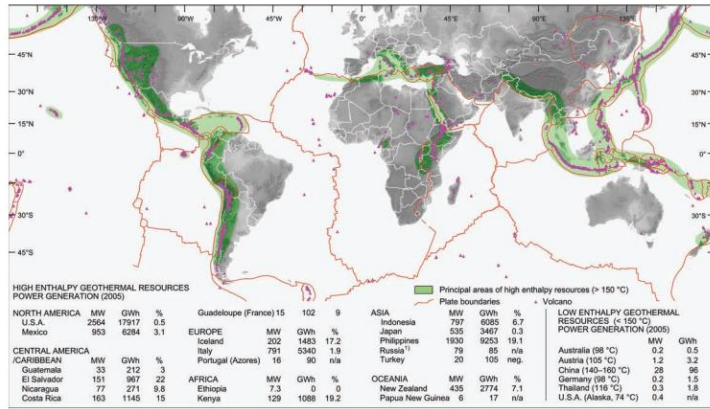
1. Diseñar el intercambiador de calor considerando las propiedades térmicas del suelo usando la dinámica de fluidos computacional.
2. Evaluar factibilidad técnica económica para una correcta ubicación y dimensionamiento del sistema.

### **1.4 Marco teórico**

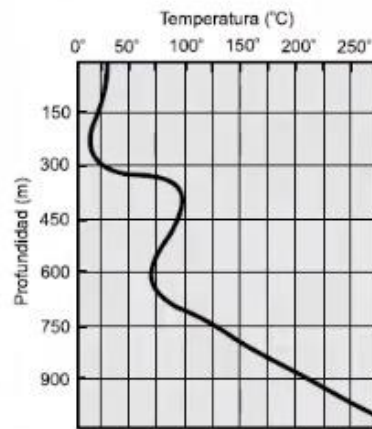
#### **1.4.1 Energía Geotérmica**

La energía geotérmica se origina a partir del calor contenido en la tierra, cuyas fuentes son: la energía aportada por el sol, la cual se suele regular por la lluvia; y la energía propia de la tierra, proveniente del núcleo y la presión entre las diferentes capas (Cárcel & Martínez, La Energía Geotérmica de Baja Entalpía, 2015), se considera un recurso limpio y renovable, ya que el calor fluye de manera constante con un equivalente de 42 millones megavatios de poder (Kagel, Bates, & Gawell, 2005). La teoría para encontrar este tipo de energía surgió entre los siglos XVI y XVII, con la excavación de minas que ya pasaban los pocos cientos de metros, y en donde al ir más profundo se notó un aumento de temperatura. Dicho aumento de temperatura se lo conoce como gradiente geotérmico, que en

promedio es de 2.5 a 3 °C / 100 m. Incluso llegando a ser atractiva económicamente hablando dado que no requiere ser importada y en algunos casos siendo la única fuente de energía viable. La República de Filipinas es quien encabeza el listado de países con mayor aprovechamiento de este tipo de energía con fines de electricidad con un 16% del total instalado en dicho país hasta 1998 (Dickson & Fanelli, 2003).



**Figura 1.1 Distribución del recurso geotérmico en el mundo**  
(Chandrasekharam & Bundschuh, 2008)



**Figura 1.2 Perfil de temperaturas en función de la profundidad**  
(Carta, Calero, Colmenar, & Castro, 2009)

Una de las ventajas de esta fuente renovable de energía es la limitada dependencia de las condiciones climáticas como lo son; la radiación solar y el viento. Para la correcta funcionalidad del prototipo dependerá de las

características intrínsecas del subsuelo como son la permeabilidad, gradiente del suelo, conductividad térmica, que en todo caso son constantes (Delgado, Peralta, & Aveiga, 2016).

Se han mencionado beneficios de usar la geotermia como su fiabilidad al poder obtenerse las 24 horas del día sin llegar a depender de manera temporal de las condiciones ambientales; es un recurso renovable que no disminuirá como lo hace el combustible fósil; y es competitivo contra otros tipos de tecnologías energéticas a nivel económico. Pues además de estas ventajas también tenemos la baja producción de emisiones al aire, bajo impacto ambiental, cero combustión y uso de un territorio más pequeño que las plantas de combustible fósil (Kagel, Bates, & Gowell, 2005).

La clasificación del recurso geotérmico se basa en la entalpía del fluido el cual porta el calor. Con esta idea tenemos geotermia de muy baja, baja, media y alta entalpía o temperatura (Cárcel & Martínez, La Energía Geotérmica de Baja Entalpía, 2015).

| TIPO DE YACIMIENTO |   | RANGO DE TEMPERATURA                  | USO PRINCIPAL                   |
|--------------------|---|---------------------------------------|---------------------------------|
| Muy baja entalpía  | Subsuelo con o sin agua<br>Aguas subterráneas | 5 °C < T < 30 °C<br>10 °C < T < 30 °C | Climatización                   |
| Baja entalpía      | Aguas termales                                | 22 °C < T < 50 °C                     | Balnearios,<br>Acuicultura      |
|                    | Zonas volcánicas                              | T < 100 °C                            | Calor de distrito               |
|                    | Almacenes sedimentarios profundos             |                                       |                                 |
| Media entalpía     |   | 100 °C < T < 150 °C                   | Electricidad<br>Ciclos binarios |
| Alta entalpía      |   | T > 150 °C                            | Electricidad                    |

**Figura 1.3 Clasificación de la energía geotérmica (Cárcel & Martínez, La Energía Geotérmica de Baja Entalpía, 2015)**

En las aplicaciones que utilizan la geotermia como fuente o recurso energético es la necesidad de extraer o depositar calor en la tierra, por lo que se vuelve imperiosa la utilización de sistema de intercambiador de calor el cual lleve a cabo dicha función.

### **1.4.2 Intercambiadores de calor**

El intercambiador de calor es el sistema encargado de que sea posible la transferencia de energía entre el terreno y una edificación por medio de un fluido de trabajo. Esto aprovechando que el suelo a poca profundidad mantiene la temperatura constante a lo largo del año (Iannelli & Gil, 2013).

En función de su aplicación y las facilidades que brinde el área a utilizar, los intercambiadores se pueden presentar de diferentes modos tales como abiertos en donde se suele bombear el fluido hacia el intercambiador desde un sumidero exterior para luego recircularlo hacia la misma fuente o cerrados en donde el fluido de trabajo se mantiene dentro del intercambiador en todo momento. También es importante considerar el tipo de perforación que se hará para la futura introducción de las sondas, basados en este criterio tenemos intercambiadores geotérmicos horizontales en donde es usual realizar excavaciones poco profundas de hasta 5 metros, sin embargo, se requiere de un área de trabajo considerablemente mayor. Por otro lado, se tienen los intercambiadores verticales los cuales contrario a los anteriormente mencionados, estos trabajan a una profundidad de entre 100 y 150 metros reduciendo así cualquier tipo de variación en el sistema debido a las condiciones climatológicas, la desventaja en este caso es que estos sistemas verticales son considerablemente más costosos y complejos de construir (Vallespir & Canals, 2019).

Otros 2 tipos de intercambiadores tiene requerimientos que los vuelve menos frecuentes: uno de ellos son los colectores de agua someros, los cuales usan agua como fluido de trabajo, por lo cual necesitan de un acuífero o de una fuente de agua cercana como un río; la otra alternativa se conoce como cimientos geotérmicos, los cuales son tuberías en forma de U incluidas en las fundaciones del edificio, al estar con el enrejado del concreto bajo la estructura este tipo de intercambiador es viable en una obra nueva (Fuenzalida & Frederick, 2014).

### 1.4.3 Bomba de calor

El uso de una bomba de calor es vital para la utilización de la energía geotérmica de baja entalpía y para sus aplicaciones referentes a la climatización. A pesar de eso, hoy en día su uso es escaso, aunque los beneficios que puede llegar a aportar son considerablemente altos. La bomba de calor es una máquina que funciona bajo el principio del ciclo inverso de Carnot para tomar energía de un foco frío y llevarla a uno caliente, esto con diferentes objetivos tales como aumentar la temperatura de interiores (calefacción) o disminuirla (refrigeración), con la ventaja que esto se realiza con un trabajo muy bajo por parte de un compresor. Para lograr que el acondicionamiento del lugar se logre en ambas temporadas, tanto verano como invierno, la bomba trabaja de manera reversible. En verano se extrae el calor del interior y lo lleva al ambiente o a un pozo, mientras que en invierno se toma la energía del suelo para calentar la edificación seleccionada (Cárcel & Martínez, Captación de la Energía Geotérmica para su uso en la Edificación, 2015).

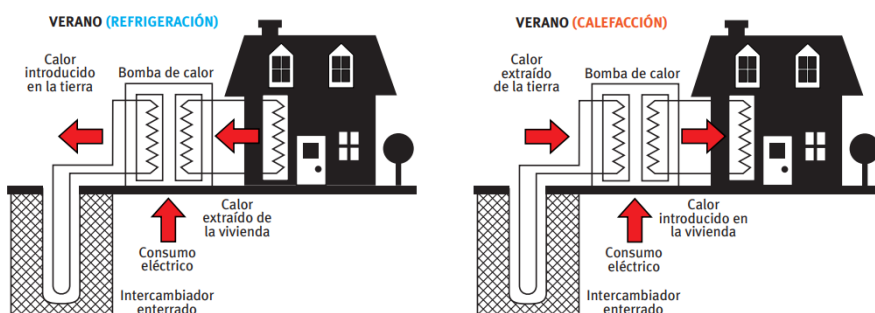


Figura 1.4 Esquema de sistema geotérmico de baja entalpía en una zona residencial (ATECYR, 2010)

### 1.4.4 Ventiladores

Como alternativa a la bomba de calor como sistema de impulsión del aire ambiente, existen los ventiladores, los cuales son un conjunto conformado por motor y álabes o aletas los cuales se encargan de movilizar un gas presente de un lugar hacia otro. En el mercado actual existen de varios

tipos que a su vez se clasifican según su función, tipo de accionamiento y también según la trayectoria de aire que generan (Soler&Palau, 2015). Para este caso en particular, se haría uso de un ventilador centrífugo el cual impulsa aire por la turbina la cual lo aspira y envía hacia la carcasa en espiral, para luego expulsarlo por medio de los álabes o paletas colocadas a 90 grados respecto a la entrada del flujo (Lahidalga, 2013).

#### **1.4.5 Instalaciones térmicas en edificios**

Dentro del concepto de edificación sostenible se están incorporando los sistemas basados en energía renovables, un caso particular es el uso de la geotermia de baja entalpía para los procesos de HVAC. Para su diseño se debe conocer la carga térmica a compensar dentro de la edificación, estas cargas provienen del movimiento de las personas, actividades que están siendo realizadas y la temperatura generada por equipos (Ramirez & Sarria, 2007).

Las instalaciones térmicas en una infraestructura tienen funciones como calefacción, refrigeración, ventilación y producción de agua caliente; además de tener que cumplir con exigencias de eficiencia energética, seguridad e higiene (Dirección General de Vivienda y Rehabilitación, 2013). Las instalaciones para climatización por geotermia constan de tres partes: intercambiador interior (dentro del edificio), la bomba de calor y el intercambiador exterior (enterrado). El proceso de intercambio de calor inicia en la bomba de calor que aporta la energía por medio del compresor luego dependiendo de si el objetivo es refrigeración o ventilación uno de los intercambiadores extraerá calor y otro lo transferirá a otro medio (Vallespir & Canals, 2019).

Uno de los aspectos a considerar antes de la instalación de estos sistemas, son los factores o parámetros geológicos como lo son: la dureza del medio, espesor, distintas formaciones geológicas y presencia de algún flujo subterráneo de agua, ya que todo esto cambia las propiedades del terreno que son necesarias para conocer la conductividad y realizar el diseño correctamente; también cambian los planes de perforación, la profundidad

y por ende pueden aumentar o disminuir los gastos (Fuenzalida & Frederick, 2014).

# CAPÍTULO 2

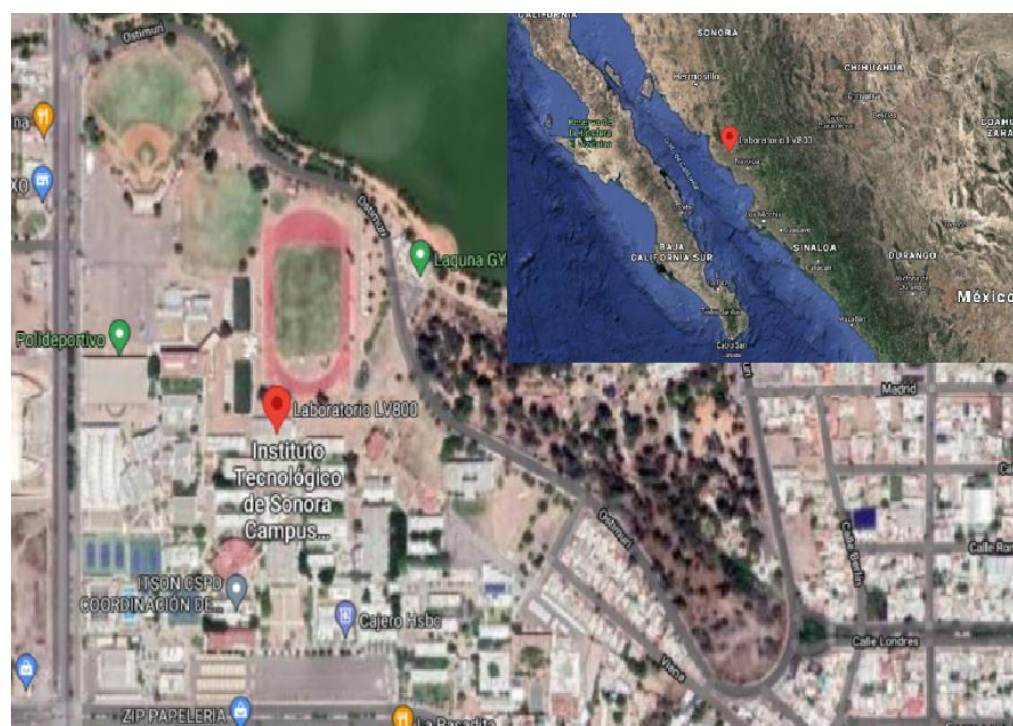
## 2. METODOLOGÍA

### 2.1 Descripción de la infraestructura

#### 2.1.1 Ubicación del edificio

La infraestructura seleccionada para el desarrollo de un sistema de geotermia por medio de un intercambiador de calor enterrado es el Laboratorio de Ingeniería Civil del Instituto Tecnológico de Sonora (ITSON) ubicado en la ciudad de Obregón en el sur del estado de Sonora, México.

El estudio de temperaturas y propiedades de los diferentes niveles de suelo fue llevado a cabo detrás del edificio LV-800 del campus Náinari, 3 metros al norte en las coordenadas geográficas: N 27° 29' 37.4", W 109° 58' 16.3".



**Figura 2.1 Localización del Laboratorio de Ingeniería Civil (LV-800), Campus Náinari, ITSON (Google, s.f.)**

#### 2.1.2 Dimensiones

En base a las restricciones dadas por el cliente en lo que respecta a las dimensiones del edificio, el área disponible para construcción y la carga

térmica parcial a remover, se modeló un sistema de intercambiador de calor impulsado por un ventilador el cual se adecúa correctamente a los requerimientos mencionados.

El edificio de Laboratorios de Ingeniería Civil (LV-800) tiene un volumen interno de  $3107.5\ m^3$  de los cuales  $222.2\ m^3$  corresponden a las aulas que se van a acondicionar.

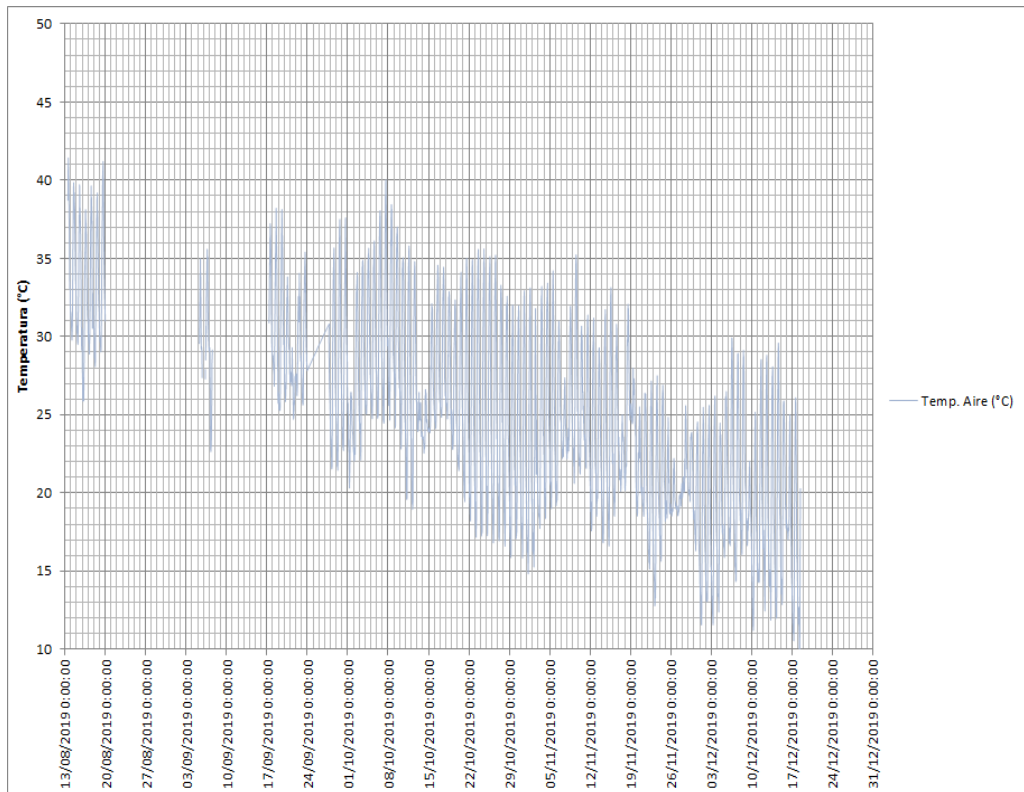
Se tiene a disposibilidad dos zonas en el norte del edificio para la excavación y ubicación de los intercambiadores de calor con áreas de  $562\ m^2$  y  $1150\ m^2$  respectivamente.



**Figura 2.2 Edificio de Laboratorios de Ingeniería Civil (ITSON, s.f.)**

### 2.1.3 Condiciones climatológicas

Los datos de condiciones climatológicas como temperatura del aire en la zona fueron proporcionados por el ITSON, a partir de los datos registrados por su estación climatológica y por la Red de Estaciones Meteorológicas Automáticas de Sonora (REMAS).



**Figura 2.3 Temperatura del aire de agosto a diciembre 2019 (Registro realizado por REMAS y la Estación Climatológica ITSON)**

Los datos de la figura 2 corresponden a las temperaturas del aire desde el 13 de agosto del 2019 al 31 de diciembre del mismo año. Se pudo observar que agosto y septiembre tienen las temperaturas más elevadas y a partir de octubre empiezan a disminuir hasta llegar al punto más bajo en diciembre.

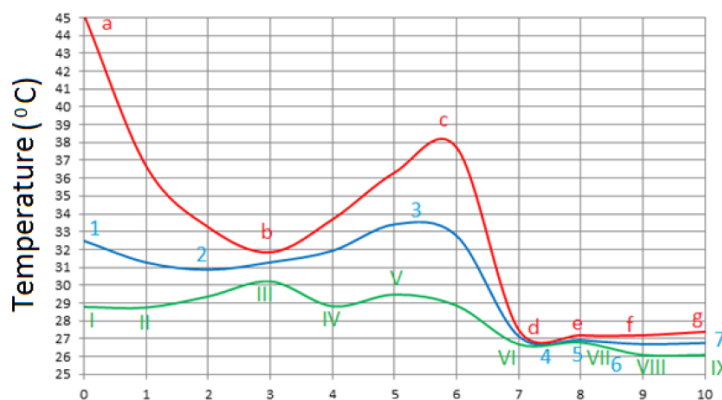
**Tabla 2.1 Temperaturas más bajas, más altas y promedios de cada mes en 2019 (Registro registrado por REMAS y la Estación Climatológica ITSON)**

| Mes        | Temperatura más baja [°C] | Temperatura más alta [°C] | Temperatura promedio [°C] |
|------------|---------------------------|---------------------------|---------------------------|
| Agosto     | 25.87                     | 41.47                     | 33.43                     |
| Septiembre | 20.31                     | 37.59                     | 27.72                     |
| Octubre    | 17.16                     | 40.04                     | 27.53                     |
| Noviembre  | 12.78                     | 35.23                     | 23.59                     |
| Diciembre  | 8.73                      | 26.49                     | 19.12                     |

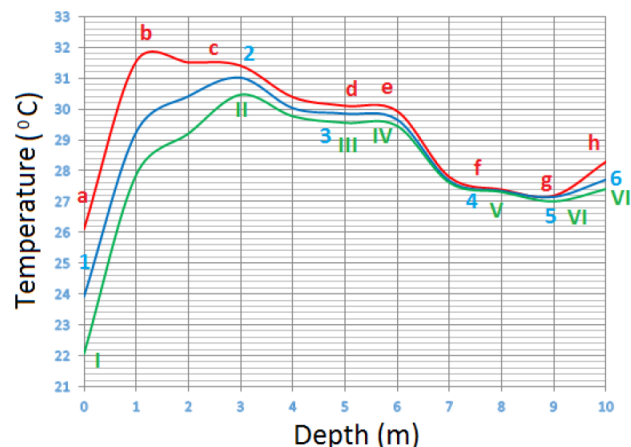
## 2.2 Perfil térmico del suelo

### 2.2.1 Curvas de medición de respuestas térmica

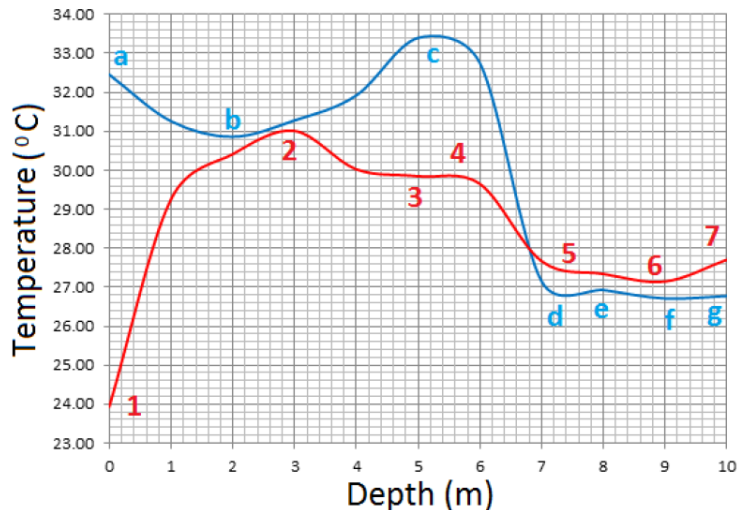
El ITSON realizó el estudio de campo por medio de perforaciones al terreno para determinar la variación de temperatura, difusividad térmica, conductividad y capacidad térmicas en función de la profundidad del pozo. Para lograrlo se taladró el suelo con una barrena manual hasta 4 metros y posteriormente con un camión de perforación se llegó a los 10 metros. Dentro del pozo se colocaron termocuplas tipo K en intervalos de 1 metro.



**Figura 2.4 Curvas de máxima, media y mínima temperatura vs profundidad en la hora más caliente del día (Estudio de la Inercia Térmica del subsuelo realizado por ITSON)**



**Figura 2.5 Curvas de máxima, media y mínima temperatura vs profundidad en la hora más fría del día (Estudio de la Inercia Térmica del subsuelo realizado por ITSON)**



**Figura 2.6 Curva de temperatura promedio vs profundidad en el momento más caliente en verano y más frío en invierno  
(Estudio de la Inercia Térmica del subsuelo realizado por ITSON)**

## 2.2.2 Propiedades térmicas del suelo

En la tabla 2.2, se muestran las propiedades estimadas del suelo en función a la profundidad de las perforaciones realizadas.

**Tabla 2.2 Propiedades de cada nivel de suelo (Prueba de granulometría, límite líquido, límite plástico y contenido de humedad natural realizado por ITSON)**

| Capa [m]  | Tipo de suelo  | Contenido de agua [%] | Densidad $\left[\frac{kg}{m^3}\right]$ | Conductividad Térmica $k_s \left[\frac{W}{mK}\right]$ | Calor específico $c_p \left[\frac{kJ}{kgK}\right]$ |
|-----------|----------------|-----------------------|--|---|--|
| 0.0 - 1.0 | Arcilla limosa | 9.2                   | 1980                                   | 0.428   | 1.211  |
| 1.0 - 2.0 | Arcilla limosa | 6.5                   | 2039                                   | 0.166   | 0.088  |
| 2.0 - 3.0 | Arcilla limosa | 13.5                  | 1733                                   | 0.191   | 0.002  |
| 3.0 - 4.0 | Arcilla limosa | 21.4                  | 1855                                   | 0.152   | 0.001  |
| 4.0 - 5.0 | Arcilla        | 22.3                  | 1843                                   | 0.195   | 0.002  |
| 5.0 - 6.0 | Arena          | 9.9                   | 1908                                   | 0.478   | 0.012  |

|            |                   |      |      |       |       |
|------------|-------------------|------|------|-------|-------|
| 6.0 - 7.0  | Limo<br>arcilloso | 19.0 | 1870 | 0.076 | 0.013 |
| 7.0 - 8.0  | Limo<br>arcilloso | 26.7 | 1800 | 0.195 | 0.014 |
| 8.0 - 9.0  | Limo<br>arcilloso | 28.8 | 1756 | 0.210 | 0.015 |
| 9.0 - 10.0 | Arcilla<br>limosa | 27.4 | 1517 | 0.410 | 0.673 |

## 2.3 Alternativas de solución

Se identificó que había 2 parámetros de diseño: por tipo de fluido y ubicación por capas. Las opciones se pudieron evaluar y comparar una vez se logró tener el diseño final de cada uno.

Considerando el tipo de fluido, el diseño final puede ser impulsado por una bomba de calor que funciona con agua, o, por un ventilador centrífugo que toma el aire ambiente de los alrededores y lo lleva hacia el intercambiador.

Por otro lado, la ubicación por capas corresponde al nivel de suelo (10 capas separadas entre sí) en qué se colocaría el intercambiador.

Con el fin de seleccionar la mejor opción posible, se realizaron matrices de decisión que consideraron parámetros vitales para el desarrollo del presente proyecto tales como, factibilidad económica, costos de mantenimiento, capacidad de remoción de calor, complejidad de montaje y seguridad. Para facilidad del lector las matrices mencionadas se encuentran en el Apéndice C.

## 2.4 Diseño de intercambiador de calor horizontal

### 2.4.1 Dimensionamiento

El diseño del intercambiador de calor se llevó a cabo a través de un balance de energía y las recomendaciones de la metodología de la International Ground Source Heat Pump Association (IGSHPA).

Se seleccionó un ventilador centrífugo en función del volumen a acondicionar y del número de renovaciones de aire necesarias, para fijar un caudal.

$$\dot{V}_{total} = \#renovaciones * V \quad (2.1)$$

Donde  $\dot{V}_{total}$  es el caudal necesario para el acondicionamiento en  $[m^3/hr]$ ,  $\#renovaciones$  en  $[1/hr]$  y  $V$  es el volumen de los espacios en  $[m^3]$ .

Para el diámetro de las tuberías se consideró la recomendación de IGSHPA que debe ser lo suficientemente pequeño para lograr altas velocidades, un comportamiento turbulento y además mejorar la transferencia de calor (ATECYR, 2010). Para cumplir la condición el número de Reynolds se considera que:

$$Re = \frac{4\dot{V}}{\pi D_i \nu} > 10000 \quad (2.2)$$

Donde  $\dot{V}$  es el caudal dentro de un intercambiador en  $[m^3/s]$ ,  $D_i$  es el diámetro interno de la tubería en  $[m]$  y  $\nu$  es la viscosidad cinemática en  $[m^2/s]$ .

La longitud del intercambiador se determinó a través de la ley de conservación de la energía, donde la rapidez de la transferencia de calor por convección es igual a la rapidez del cambio de energía interna del fluido (Incropera & Dewitt, 2011).

$$q_{conv} = E_{int} = \dot{m}c_p\Delta T = \rho\dot{V}c_p\Delta T \quad (2.3)$$

Siendo  $\rho$  la densidad del fluido en  $[kg/m^3]$ ,  $c_p$  el calor específico en  $[kJ/kgK]$  y  $\Delta T$  es la diferencia de temperaturas entre la entrada y salida del intercambiador en  $[^\circ C]$ .

La transferencia de calor por convección también se puede expresar en términos de las dimensiones y propiedades de la tubería y el comportamiento del fluido, de la siguiente manera:

$$q_{conv} = \frac{\Delta T_{ml}}{\frac{1}{h\pi D_i L} + \frac{\ln(D_o/D_i)}{2\pi L k_t}} \quad (2.4)$$

Donde  $\Delta T_{ml}$  es la temperatura media logarítmica en  $[\text{°C}]$ ,  $h$  es el coeficiente de transferencia de calor por convección en  $[W/m^2K]$ ,  $L$  es la longitud de la tubería en  $[m]$ ,  $D_o$  es el diámetro externo en  $[m]$  y  $k_t$  es la conductividad térmica de la tubería en  $[W/mK]$ .

Luego del balance entre las ecuaciones (2.3) y (2.4) se deduce la siguiente expresión:

$$\rho \dot{V} c_p \Delta T = \frac{\Delta T_{ml}}{\frac{1}{h\pi D_i L} + \frac{\ln(D_o/D_i)}{2\pi L k_t}} \quad (2.5)$$

Se utilizó la temperatura media logarítmica ya que considera la tasa de cambio de transferencia debido a la temperatura del suelo.

$$\Delta T_{ml} = \frac{T_{entrada} - T_{salida}}{\ln\left(\frac{T_{entrada} - T_s}{T_{salida} - T_s}\right)} \quad (2.6)$$

Siendo  $T_{entrada}$  la temperatura de entrada al intercambiador,  $T_{salida}$  la temperatura de salida del intercambiador y  $T_s$  la temperatura del suelo. Todo expresado en  $[\text{°C}]$ .

Para obtener el coeficiente de transferencia de calor por convección es necesario determinar el número exacto de Reynolds y el número de Nusselt para flujo turbulento (condición que se tuvo que cumplir al seleccionar el diámetro interno).

$$Re = \frac{4\dot{V}}{\pi D_i \nu} \quad (2.7)$$

$$Nu = 0.023 Re^{4/5} Pr^{1/3} \quad (2.8)$$

$$h = \frac{Nu k_a}{D_i} \quad (2.9)$$

Siendo  $Pr$  el número de Prandtl del fluido y  $k_a$  la conductividad térmica del fluido en [ $W/mK$ ].

#### 2.4.2 Selección de material

Tras un análisis donde se consideraron las ventajas, desventajas y variables de interés se llegó al consenso de utilizar Policloruro de Vinilo (PVC) para las tuberías que transportarán el fluido a lo largo del sistema. Este material posee las características ideales de trabajo ya que llega a soportar hasta 80°C y a su vez es de fácil acceso en todo el mundo.

### 2.5 Simulaciones

#### 2.5.1 Simulación de la columna estratigráfica del suelo

Con los datos de condiciones climáticas y propiedades del suelo proporcionados por ITSON se construyó un modelo 3D con un software CAM/CAD para recrear el ambiente donde se ubicará el intercambiador de calor. Dentro del dominio computacional se colocaron datos puntuales en el centro de cada capa en intervalos de un metro para medir la temperatura.

Los resultados de la simulación fueron comparados con los datos registrados por los dataloggers, realizando el cálculo de los estimadores estadísticos como el BIAS, diferencia entre la predicción del modelo y los valores verdaderos; y el RMSE, error cuadrático medio entre dos conjuntos de datos. La comparación tuvo como objetivo validar la simulación para comprobar el potencial de transferencia de calor de cada capa.

#### 2.5.2 Simulación del intercambiador de calor enterrado

Una vez validada la simulación anterior, se construyó un intercambiador de calor con las dimensiones y material seleccionado el cual fue probado en cada capa de suelo con los puntos objetivos a la salida y entrada de este para medir la temperatura.

Con los resultados de las simulaciones fue posible calcular los gradientes de temperatura a lo largo de un día para comparar la transferencia de calor lograda en cada capa y de este modo seleccionar la mejor opción de solución posible.

# CAPÍTULO 3

## 3. RESULTADOS Y ANÁLISIS

### 3.1 Selección del ventilador centrifugo

Previo a realizar el dimensionamiento es necesario seleccionar el ventilador, para lo cual se consideró el volumen de la zona a climatizar y el número de renovaciones necesarias. Según la Norma DIN 1946 para aulas de estudio es recomendable de 5 a 7 renovaciones de aire por hora.

**Tabla 3.1 Parámetros de selección del ventilador centrifugo (reducir anchos)**

|                       |             |
|-----------------------|-------------|
| Volumen               | 222.2 $m^3$ |
| Renovaciones por hora | 5           |

$$\dot{V}_{total} = 5 * (222.2) = 1111 \frac{m^3}{h}$$

Para cubrir la demanda de aire se consideraron dos escenarios. Se podrían integrar unos algunos ventiladores de gran capacidad de aspiración, con lo cual sería necesario una menor cantidad de intercambiadores. Por otro lado, un banco de ventilación que remueva un menor flujo de manera individual permitiría que exista un mayor tiempo de transferencia con lo cual el calor removido sería mayor.

**Tabla 3.2 Características del ventilador centrifugo Soler&Palau PL-154**

|           |              |
|-----------|--------------|
| Velocidad | 1700 RPM     |
| Potencia  | ½ HP         |
| Caudal    | 510 $m^3/hr$ |

### 3.2 Selección del diámetro de tubería

Para determinar el diámetro de tubería se tomó en consideración la condición de flujo turbulento y además los siguientes parámetros:

**Tabla 3.3 Parámetros usados para el dimensionamiento del diámetro de tubería**

| Parámetro                      | Nom.      | Valor                  | Unid.   |
|--------------------------------|-----------|------------------------|---------|
| Caudal                         | $\dot{V}$ | 0.1417                 | $m^3/s$ |
| Viscosidad cinemática del aire | $\nu$     | $16.69 \times 10^{-6}$ | $m^2/s$ |
| Número de Reynolds             | $Re$      | 10000                  | -       |

$$D_i < \frac{4 * 0.1417}{\pi * 16.69 \times 10^{-6} * 10000}$$

$$D_i < 1.08 \text{ m}$$

Gracias al cálculo anterior y además de las especificaciones del cliente fue posible seleccionar la tubería con las características mostradas a continuación:

**Tabla 3.4 Características de tubería seleccionada**

|                                 |                     |
|---------------------------------|---------------------|
| Diámetro interno ( $D_i$ )      | 0.192 m             |
| Diámetro externo ( $D_0$ )      | 0.200 m             |
| Conductividad térmica ( $k_t$ ) | 0.16 $\frac{W}{mk}$ |

### 3.3 Dimensionamiento de longitud de tubería

Para el dimensionamiento del intercambiador de calor enterrado se consideraron parámetros como la temperatura de entrada al sistema, el calor específico del fluido y el caudal de este, entre otros como se lo muestra a continuación.

**Tabla 3.5 Parámetros usados para dimensionar la longitud de la tubería**

| Parámetro                      | Nom.          | Valor                  | Unid.    |
|--------------------------------|---------------|------------------------|----------|
| Temperatura de entrada         | $T_{entrada}$ | 41.47                  | °C       |
| Temperatura de salida          | $T_{salida}$  | 30                     | °C       |
| Densidad del aire              | $\rho$        | 1.1348                 | $kg/m^3$ |
| Calor específico del aire      | $c_p$         | 1.007                  | $kJ/kgK$ |
| Viscosidad cinemática del aire | $\nu$         | $16.69 \times 10^{-6}$ | $m^2/s$  |
| Conductividad térmica del aire | $k_a$         | 0.0269                 | $W/mk$   |
| Número de Prandtl del aire     | $Pr$          | 0.706                  | -        |
| Caudal                         | $\dot{V}$     | 0.1417                 | $m^3/s$  |

Haciendo uso de la ecuación de energía.

$$L = \frac{\rho \dot{V} c_p (T_{entrada} - T_{salida})}{\Delta T_{ml}} \left( \frac{1}{h \pi D_i} + \frac{\ln \left( \frac{D_0}{D_i} \right)}{2 \pi k_t} \right)$$

Se calculó la temperatura media logarítmica.

$$\Delta T_{ml} = \frac{41.47 - 30}{\ln \left( \frac{41.47 - T_s}{30 - T_s} \right)}$$

**Tabla 3.6 Temperatura media logarítmica en cada capa**

| Capa   | Temperatura máxima de la capa $T_s$ [°C] | Temperatura media logarítmica [°C] |
|--------|--|------------------------------------|
| 6-7 m  | 29.59                                    | 3.41                               |
| 7-8 m  | 27.35                                    | 6.86                               |
| 8-9 m  | 27.2                                     | 7.04                               |
| 9-10 m | 27.15                                    | 7.11                               |

Para determinar el coeficiente de transferencia de calor, debemos hallar el número de Reynolds y número de Nusselt.

$$Re = \frac{4 * 0.1417}{\pi * 0.192 * 16.69 * 10^{-6}} = 56301.82$$

$$Nu = 0.023 * 56301.82^{4/5} * 0.706^{1/3} = 129.34$$

$$h = \frac{129.34 * 0.0269}{0.192} = 18.12 \frac{W}{m^2 K}$$

Así, de este modo, se dispuso una longitud de tubería para cada nivel de suelo en función de su temperatura media logarítmica.

$$L = \frac{1.1348 * 0.1417 * 1007 * (41.47 - 30)}{\Delta T_{ml}} \left( \frac{1}{18.12 * \pi * 0.192} + \frac{\ln\left(\frac{0.2}{0.192}\right)}{2\pi * 0.16} \right)$$

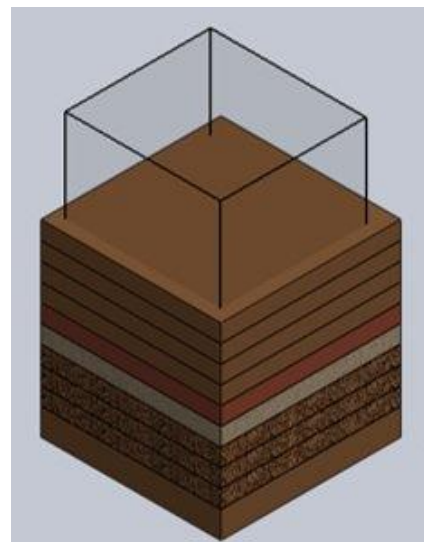
**Tabla 3.7 Longitud de tubería en cada nivel de suelo**

| Capa   | Temperatura media logarítmica [°C] | Longitud del intercambiador [m] |
|--------|------------------------------------|---------------------------------|
| 6-7 m  | 29.59                              | 72.01                           |
| 7-8 m  | 27.35                              | 35.79                           |
| 8-9 m  | 27.20                              | 34.83                           |
| 9-10 m | 27.15                              | 34.53                           |

### 3.4 Simulación de la columna estratigráfica

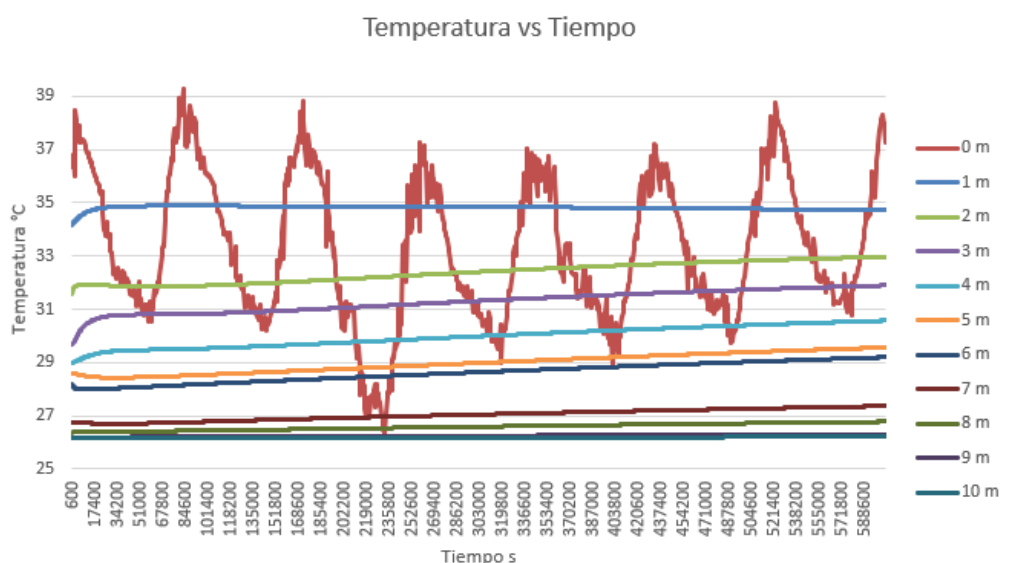
La presente simulación se realizó utilizando herramienta FlowSimulation perteneciente al software SolidWorks 2018. Se muestran las capas de suelo donde se establecieron las propiedades constantes de cada una de estas. Además, las condiciones meteorológicas referenciales en función del tiempo

como la humedad, presión atmosférica, radiación solar, temperatura ambiental y velocidad del viento.

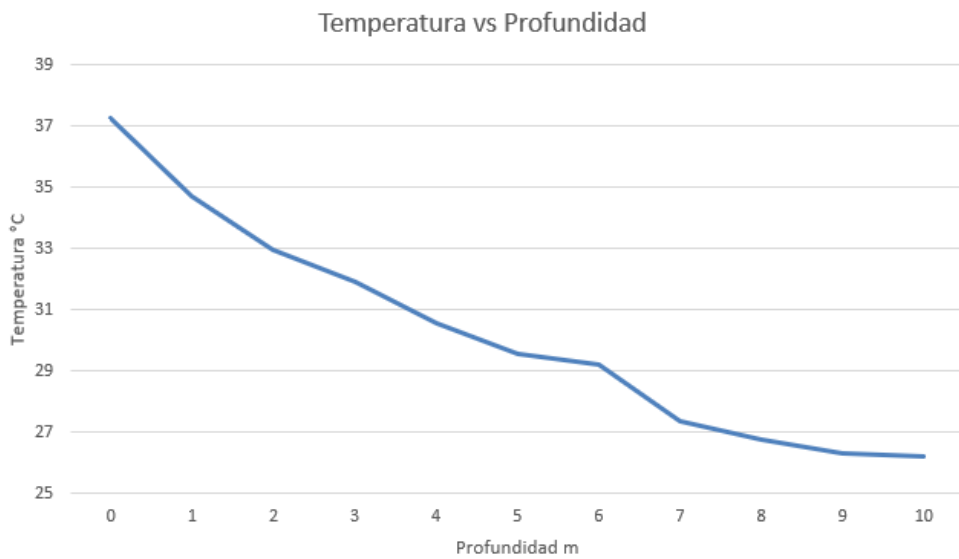


**Figura 3.1 Modelo de la columna estratigráfica**

Para este análisis se tomaron los datos críticos del estudio, es decir, los valores comprendidos entre el 13 y el 20 agosto del 2019 en intervalos de 10 minutos, obteniendo así un total de 1008 iteraciones.

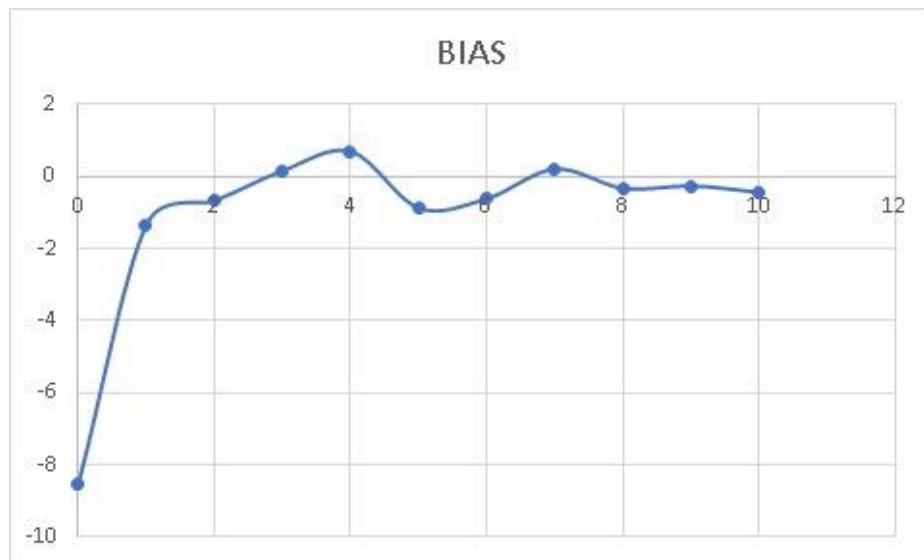


**Figura 3.2 Resultados de la simulación: Temperatura de suelo vs Tiempo de cada capa entre 13 a 20 de agosto 2019**

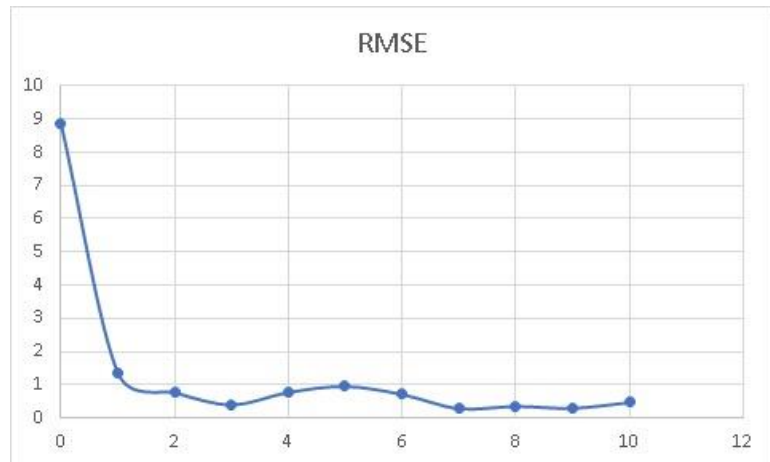


**Figura 3.3 Resultados de la simulación: Temperatura de suelo vs Profundidad en el intervalo más caliente entre 13 a 20 de agosto 2019**

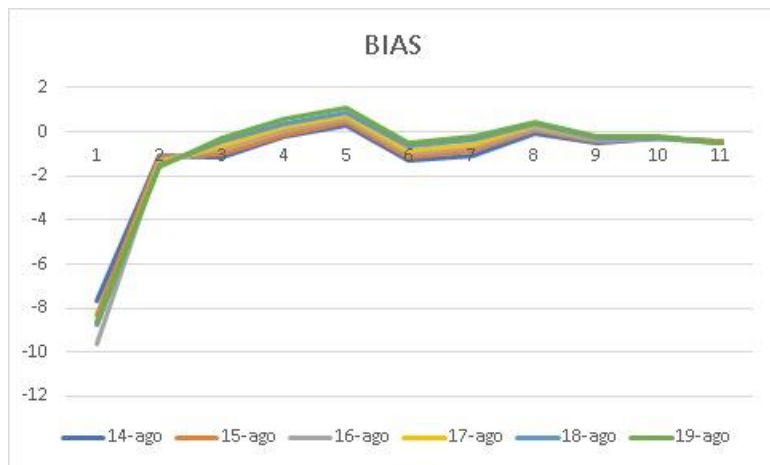
Por medio de los resultados de la simulación en FlowSimulation y los datos recuperados a partir del uso de termopares a lo largo de las capas, se calcularon los parámetros estadísticos BIAS y RMSE para validar el modelo establecido.



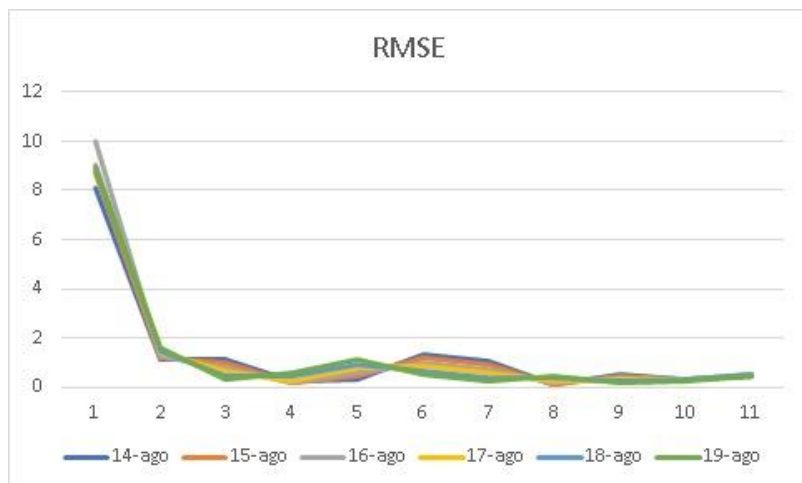
**Figura 3.4 BIAS vs Profundidad del perfil del suelo**



**Figura 3.5 RMSE vs Profundidad del perfil del suelo**



**Figura 3.6 BIAS vs Profundidad del perfil del suelo en cada día**



**Figura 3.7 RMSE vs Profundidad del perfil del suelo en cada día**

Estos errores nos mostraron una precisión de la simulación que va de 0 a 1 °C con excepción en la superficie, donde el modelo de radiación no reflejó el comportamiento real subestimando en un valor de 8 °C con los registros existentes.

### 3.5 Simulación del intercambiador enterrado

Para el modelado del intercambiador de calor se conservaron los diámetros seleccionados previamente, y a su vez la longitud de tubería en cada capa sería de 200 metros, con la finalidad de comprobar la capacidad de remover calor en cada nivel de suelo y de este modo optar por la mejor opción posible.

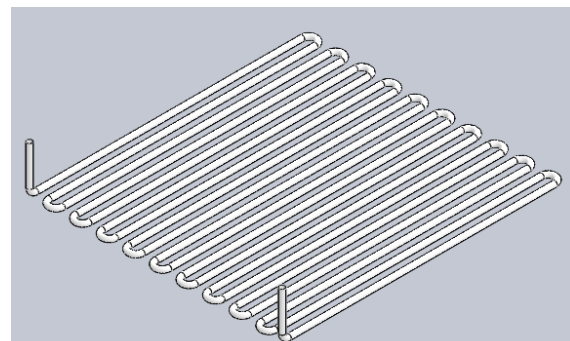


Figura 3.8 Intercambiador de calor de PVC

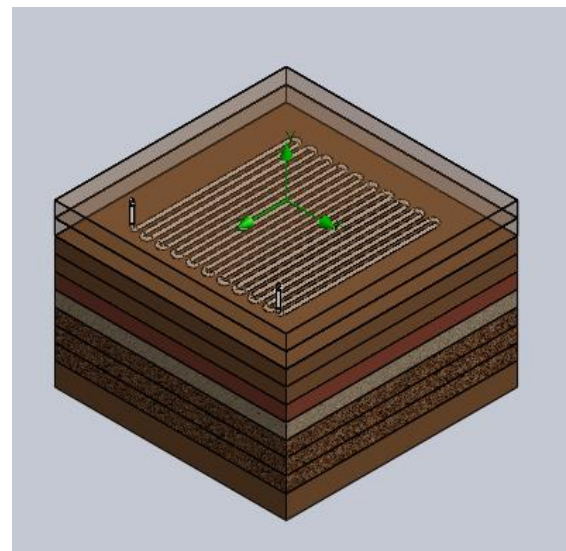
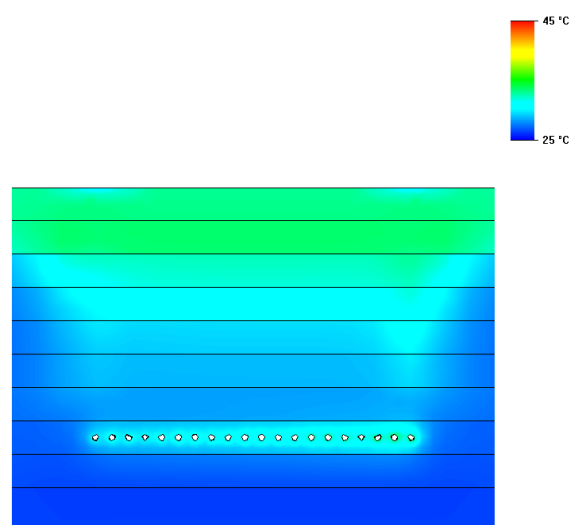
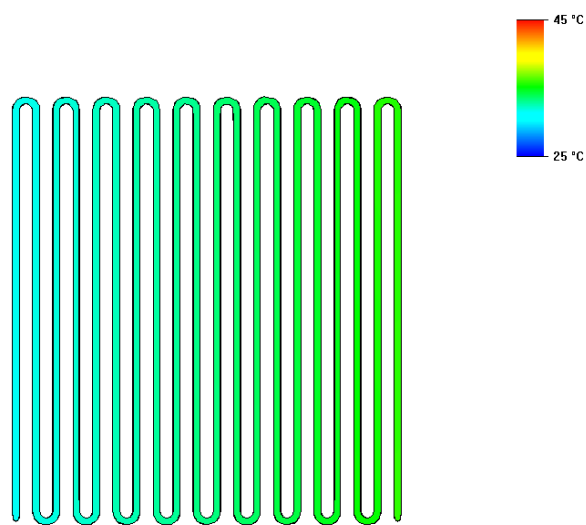


Figura 3.9 Intercambiador de calor enterrado

Para la simulación del intercambiador de calor se hizo uso de los datos previamente establecidos en la representación de las capas de suelo, pero en lugar de utilizar la semana entera, se tomó únicamente información de 3 días. Además, se agregaron los datos de flujo de aire entrante al intercambiador con temperatura y presión ambiental.



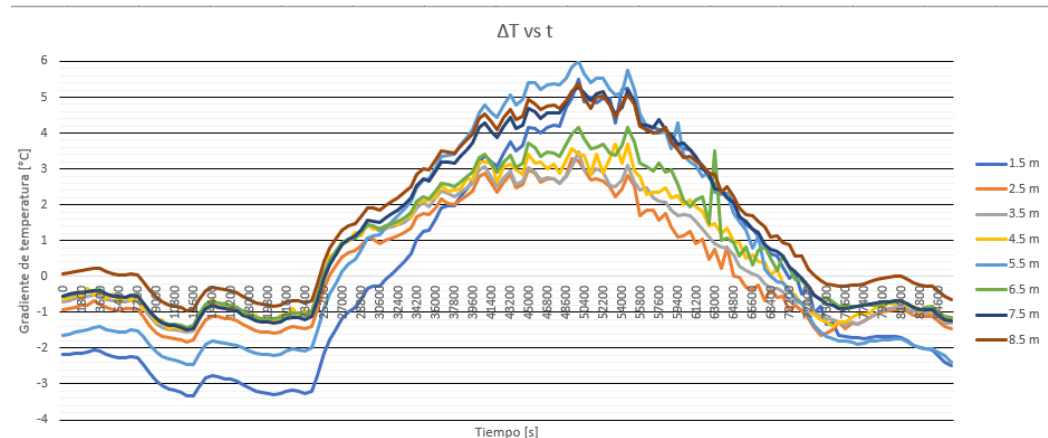
**Figura 3.10 Temperatura del sólido con el intercambiador ubicado a 7.5 metros**



**Figura 3.11 Temperatura del fluido con el intercambiador ubicado a 7.5 metros**

Los puntos objetivo de la simulación fueron de temperatura de fluido en la entrada y salida del intercambiador de calor a nivel de la superficie, de este modo fue posible calcular el gradiente de temperatura en las diferentes capas de suelo. Es importante recalcar que no fue posible ubicar el intercambiador en la capa de 0 a 1 metros por el error encontrado durante la simulación del suelo, así mismo, tampoco fue posible hacerlo en la capa de 9 a 10 metros ya que se desconocen las propiedades y temperaturas por debajo de esta.

Por otro lado, de la información de los días simulados se tomaron los datos del segundo día debido a que se consideran los más estables, obteniendo así la siguiente gráfica:



**Figura 3.12 Gradiente de temperatura del fluido vs Tiempo con datos del 18 de agosto del 2019**

Según la gráfica mostrada, los mayores gradientes obtenidos ordenados de manera ascendente fueron los de las capas 1-2, 7-8, 8-9 y 5-6. La ventaja de las capas 1-2 y 5-6 frente a las otras se debe a sus propiedades, teniendo el mejor valor de calor específico y conductividad térmica, respectivamente. Mientras que las capas más profundas 7-8 y 8-9 tienen la ventaja por tener las temperaturas de sólido más bajas. Con un gradiente de temperatura entre 4 y 5 °C en el intervalo más caliente del día, la mejor opción para no realizar una excavación muy profunda y poco beneficiosa es ubicar el intercambiador de calor en la capa 1-2.

### **3.6 Análisis económico**

Para la elaboración del presente análisis se tomó en consideración la excavación del área en donde se colocará el sistema de geotermia, la construcción del intercambiador de calor y la puesta en marcha de este sistema. También se tuvo en cuenta el costo de la mano de obra, los materiales, herramientas y equipos necesarios para el correcto funcionamiento. Además, el costo de diseño de proyecto el cual también es agregado los costos totales. Debido a que el proyecto se desarrollará en el estado de Sonora, México, los costos estimados van en contexto a la realidad económica y social del mismo. Considerando además una tasa de cambio promedio de 20 pesos mexicanos por dólar estadounidense.

#### **3.6.1 Materiales**

Para la construcción del intercambiador enterrado se requieren tuberías PVC de 200 mm de diámetro o su equivalencia aproximada más cercana de 8 pulgadas y accesorios de acople.

**Tabla 3.8 Costo de Materiales**

| <b>Concepto</b>       | <b>Medidas</b> | <b>Unidad</b> | <b>Cantidad</b> | <b>Costo unitario</b> | <b>Costo Total</b> |
|-----------------------|----------------|---------------|-----------------|-----------------------|--------------------|
| Tubería PVC           | 0.2x1          | m             | 410             | \$7.20                | \$2952             |
| Codo de 90° suavizado | -              | -             | 85              | \$9.50                | \$807.5            |
| <b>Total</b>          |                |               |                 |                       | <b>\$3759.50</b>   |

#### **3.6.2 Equipos**

Para impulsar el sistema se requiere un ventilador centrifugo el cual tomará el aire ambiente y lo llevará a través de las tuberías del intercambiador enterrado. Además, un panel de control general, sensor de presión para mantener estables las condiciones necesarias en el intercambiador.

**Tabla 3.9 Costo de Equipos**

| Concepto              | Modelo    | Cantidad | Costo unitario | Costo Total   |
|-----------------------|-----------|----------|----------------|---------------|
| Ventilador centrífugo | PLE-154   | 2        | \$3100         | \$6200        |
| Panel de control      | PCS 110FZ | 1        | \$950          | \$950         |
| Sensor de presión     | LF10-1H1  | 2        | \$15           | \$30          |
| <b>Total</b>          |           |          |                | <b>\$7180</b> |

### 3.6.3 Mano de obra

El intercambiador de calor enterrado ocupará un área superficial aproximada  $220\ m^2$ , el cual será colocado a 1.5 metros por debajo del suelo. Para lo cual es necesario un equipo encargado de la excavación y otro para el ensamblaje del sistema de tubos.

**Tabla 3.10 Costo de mano de obra**

| Concepto  | Personal requerido        | Costo Total   |
|---|---------------------------|---------------|
| Excavación de suelo                             | 1 supervisor<br>5 obreros | \$1400        |
| Ensamble e instalación del intercambiador       | 1 supervisor<br>3 obreros | \$3000        |
| Instalación de ventilador centrífugo            | 1 ingeniero               | \$200         |
| Instalación y configuración de panel de control | 1 ingeniero               | \$400         |
| <b>Total</b>                                    |                           | <b>\$5000</b> |

### 3.6.4 Costos totales

**Tabla 3.11 Costos de diseño**

| Concepto        | Costo Total       |
|-----------------|-------------------|
| Materiales      | \$3759.50         |
| Equipos         | \$7180.00         |
| Mano de obra    | \$5000.00         |
| Costo de diseño | \$4000.00         |
| <b>Total</b>    | <b>\$19939.50</b> |

# CAPÍTULO 4

## 4. CONCLUSIONES Y RECOMENDACIONES

### 4.1 Conclusiones

- El intercambiador de calor enterrado está conformado por tuberías y uniones de PVC, consiste en una entrada de aire conectada a un ventilador centrífugo el cual lo alimenta con aire ambiente, por el otro lado, posee una salida la cual se conecta hacia la infraestructura a climatizar. El sistema mencionado es capaz de cubrir desde el 40 hasta el 50% de carga térmica existente.
- El sistema conformado por dos intercambiadores de calor enterrados se ubicará en la capa 1-2 bajo el suelo y tendrá una longitud total de 410 metros ocupando un área de 440 metros cuadrados, las tuberías tendrán un diámetro exterior de 20 cm e interior de 19,2 cm. Los ventiladores centrífugos que impulsarán el sistema serán capaces de mover 510 metros cúbicos de aire por hora cada uno.
- El error existente entre la simulación y los datos registrados en la capa superficial entregados por el cliente fueron muy altos debido a una aproximación deficiente en el modelo de radiación. Sin embargo, esto no afectó al resto de capas, las cuales se mantuvieron con una bias de +1 °C como máximo, demostrando así que la geotermia no depende de factores externos sino únicamente de las propiedades intrínsecas de la tierra en donde se colocará el intercambiador.
- Tras el estudio y la simulación realizados se llegó a la conclusión de que el sistema de intercambio de calor será ubicado en la capa de suelo 1-2, esto debido al gradiente de temperatura existente de 5 °C y, además que este nivel nos brinda un ahorro económico considerable respecto a la construcción y mantenimiento en una capa inferior. El diseño y dimensionamiento viene dado principalmente debido a las limitaciones de espacio en donde se puede colocar el sistema (longitud de tubería) y

además los límites entre cada capa (diámetro de tubería), optimizando el área ocupada y aprovechando el máximo de transferencia de calor posible en esta.

- Tras las pruebas realizadas se seleccionó el aire como fluido caloportador debido a que se llegan a disminuir hasta 5 °C a lo largo de intercambiador ubicado en la capa de suelo 1-2, a diferencia de un sistema que funciona con agua el cual solo fue capaz de obtener un gradiente máximo de 2 °C en su mejor ubicación posible.
- Con un exhaustivo análisis de desarrollo y comparación de costos se llegó a la resolución de que, si bien actualmente implementar un sistema de geotermia de baja entalpía es relativamente más costoso que las opciones ya existentes en el mercado, el presente proyecto se estima un gasto alrededor de \$20000. Se espera que en un futuro no muy lejano sea posible desarrollar más profundamente esta tecnología por lo que promete ser y mejorar respecto a sustentabilidad y desarrollo sostenible, para así finalmente reducir de manera considerable los costos y poder llevarlo no solo a edificios de alto nivel sino también al hogar común.

## 4.2 Recomendaciones

- En caso de que se requiera un mayor caudal con la finalidad de cubrir una mayor demanda de aire, es necesario aumentar el diámetro de la tubería para mantener el gradiente resultante y la velocidad del flujo.
- La utilización de un simulador que sea capaz de recrear el modelo de radiación permite comprobar el potencial del diseño en cada capa de suelo, esto además nos hace posible realizar variaciones que afectarán o no directamente al resultado final.
- Dividir el área de estudio en capas es una manera conveniente de visualizar y controlar la simulación del medio, sin embargo, no se tiene la

certeza de que dichas propiedades se hayan mantenido desde el 2019 (fecha de los datos utilizados para desarrollar el presente proyecto) y que sean consistentes a lo largo del metro de altura y de toda el área que abarca el intercambiador de calor. Por estas razones es recomendable llevar a cabo un nuevo estudio de suelo para obtener datos más actuales y por ende un resultado más acertado con respecto a la realidad.

- Para evitar ganancias de calor al transportar el aire desde la salida del intercambiador hacia el interior de la infraestructura se deben cubrir las tuberías con algún tipo aislante térmico.
- Al momento de seleccionar los materiales y equipos tales como el tipo de tubería, el ventilador centrífugo o los sensores de presión, es importante tener en consideración las condiciones a las que estos se someterán, en este caso, bajo tierra o a la intemperie. Además, en caso de querer incrementar el gradiente térmico del sistema se puede considerar cambiar el material de las tuberías, teniendo en cuenta que, esto conlleva un aumento en los costos.

# BIBLIOGRAFÍA

- ATECYR. (2010). Guía técnica de diseño de sistemas de bomba de calor geotérmica. Madrid: Instituto para la Diversificación y Ahorro de la Energía (IDAE).
- Cárcel, F. J., & Martínez, D. (2015). Captación de la Energía Geotérmica para su uso en la Edificación. *3C Tecnología*, 4(2), 84-95. Obtenido de <http://ojs.3ciencias.com/index.php/3c-tecnologia/article/view/257>
- Cárcel, F. J., & Martínez, D. (2015). La Energía Geotérmica de Baja Entalpía. *3C Tecnología*, 4(3), 101-104. doi:10.17993/3ctecno.2015.v4n3e15.96-108
- Carta, J. A., Calero, R., Colmenar, A., & Castro, M.-A. (2009). Centrales de energías renovables: Generación eléctrica con energías renovables. Madrid: Pearson Educación .
- Chandrasekharam, D., & Bundschuh, J. (2008). Low-Enthalpy Geothermal Resources for Power Generation. London: CRC Press.
- CONUEE. (2020). *Comisión Nacional para el Uso Eficiente de la Energía (CONUEE)*. Obtenido de Base de Indicadores de Eficiencia Energética (BIEE): <https://www.biee-conuee.net/>
- Delgado, E., Peralta, J., & Aveiga, G. (2016). Análisis de un sistema de aerogeotermia de baja entalpia.
- Dickson, M., & Fanelli, M. (2003). *Geothermal Energy: Utilization and Technology* (1st ed.). London: UNESCO.
- Dirección General de Vivienda y Rehabilitación. (2013). Reglamento de Instalaciones Térmicas en los Edificios (RITE). Obtenido de <http://www.madrid.org/bdccm/normativa/PDF/Instalaciones/Instalaciones%20termicas/Normas%20Tratadas/ESRd10272007.pdf>
- El clima promedio en Cd. Obregon.* (2021). Obtenido de Weather Spark: <https://es.weatherspark.com/y/2961/Clima-promedio-en-Cd.-Obreg%C3%B3n-M%C3%A9xico-durante-todo-el-a%C3%B3n#Sections-Humidity>
- Fuenzalida, F. A., & Frederick, R. (2014). Diseño y evaluación de un intercambiador de calor para recuperar energía geotérmica de muy baja entalpía. 11-13. Obtenido de <http://repositorio.uchile.cl/handle/2250/130726>
- Gómez, E., & González, A. (2017). La Geotermia como Energía Renovable y Sustentable en México. *Perspectivas de Sustentabilidad en México*. Madrid: CIEMAT.

- Google. (s.f.). *Instituto Tecnológico de Sonora Campus Nainari*. Obtenido de <https://www.google.com/maps/place/Instituto+Tecnológico+de+Sonora+Campus+Nainari/@27.4919449,-109.972631,16.75z/data=!4m5!3m4!1s0x86c83e15044c7d1f:0x3f83c44d115acacb!8m2!3d27.4930878!4d-109.9710183>
- Iannelli, L., & Gil, S. (2013, Febrero). Acondicionamiento Térmico de Aire mediante el uso de Energía Geotérmica. 13. doi:10.13140/RG.2.2.23586.27841
- Incropera, F., & Dewitt, D. (2011). *Fundamentals of Heat Transfer* (7th ed.). Hoboken: John Wiley & Sons, Inc.
- ITSON. (s.f.). *Galería de Fotos*. Obtenido de <https://www.itson.mx/Universidad/Paginas/galeria.aspx>
- Kagel, A., Bates, D., & Gawell, K. (2005). *A guide to geothermal energy and the environment*. Technical Report, Geothermal Energy Association, Washington. doi:10.2172/897425
- Lahidalga, J. (2013). *Ventiladores centrífugos*. Obtenido de Acta: [https://www.acta.es/medios/articulos/ciencias\\_y\\_tecnologia/059095.pdf](https://www.acta.es/medios/articulos/ciencias_y_tecnologia/059095.pdf)
- ONU. (2015). *Objetivos y metas de desarrollo sostenible*. Obtenido de Naciones Unidas: <https://www.un.org/sustainabledevelopment/es/sustainable-development-goals/>
- Peñuñuri, A. (2020, Octubre 11). Sonora cierra temporada de calor con más muertes en el país. *El Sol de Hermosillo*.
- Ramirez, H. J., & Sarria, B. (2007). Determinación de las cargas térmicas para garantizar el confort en los locales del piso 1 del edificio de aulas 2 en la UTB. Obtenido de <https://biblioteca.utb.edu.co/notas/tesis/0043111.pdf>
- Soler&Palau. (2015). *La Ventilación*. Obtenido de Soler&Palau México: <https://www.solerpalau.mx/ASW/recursos/pannels/arch/la-ventilacion.pdf>
- Vallespir, T. M., & Canals, V. J. (2019, Septiembre 16). Dimensionamiento de la instalación geotérmica para la climatización de un hotel de 4 estrellas. 16-17, 21.

# **APÉNDICES**

## APÉNDICE A

### Condiciones ambientales

Los datos proporcionados por la Estación Meteorológica de ITSON comprenden condiciones entre agosto a diciembre del 2019. Para las simulaciones de la columna estratigráfica se usaron del 13 al 20 de agosto por ser los críticos y para la simulación del intercambiador del 17 al 19 de agosto.

A continuación, se adjuntan los datos del 19 de agosto del 2019 como referencia.

| Tiempo         | Temperatura ambiente [°C] | Presión atmosférica [Pa] | Velocidad del viento [ $\frac{m}{s}$ ] | Radiación Solar [W] | Humedad  |
|----------------|---------------------------|--------------------------|--|---------------------|----------|
| 8/19/2019 0:00 | 30.43                     | 97400                    | 0.323                                  | 0                   | 60.47    |
| 8/19/2019 0:10 | 30.31                     | 97400                    | 0.261                                  | 0                   | 61.1     |
| 8/19/2019 0:20 | 30.2                      | 97400                    | 0.611                                  | 0                   | 61.55    |
| 8/19/2019 0:30 | 30.03                     | 97400                    | 0.19                                   | 0                   | 62.83    |
| 8/19/2019 0:40 | 30.01                     | 97400                    | 0.248                                  | 0                   | 63.54    |
| 8/19/2019 0:50 | 29.92                     | 97400                    | 0.416                                  | 0                   | 64.39    |
| 8/19/2019 1:00 | 29.98                     | 97400                    | 0.606                                  | 0                   | 63.45    |
| 8/19/2019 1:10 | 29.93                     | 97400                    | 0.491                                  | 0                   | 62.8     |
| 8/19/2019 1:20 | 29.81                     | 97400                    | 0.022                                  | 0                   | 63.4     |
| 8/19/2019 1:30 | 29.76                     | 97400                    | 0.102                                  | 0                   | 64.79    |
| 8/19/2019 1:40 | 29.67                     | 97400                    | 0.213                                  | 0                   | 66.91    |
| 8/19/2019 1:50 | 29.83                     | 97400                    | 0.122                                  | 0                   | 68.22999 |
| 8/19/2019 2:00 | 29.92                     | 97400                    | 0.288                                  | 0                   | 68.82    |
| 8/19/2019 2:10 | 29.97                     | 97400                    | 0.457                                  | 0                   | 68.67    |
| 8/19/2019 2:20 | 29.94                     | 97400                    | 0.46                                   | 0                   | 68.66    |
| 8/19/2019 2:30 | 29.92                     | 97400                    | 0.029                                  | 0                   | 69.06    |
| 8/19/2019 2:40 | 29.84                     | 97400                    | 0.115                                  | 0                   | 69.84    |
| 8/19/2019 2:50 | 29.83                     | 97400                    | 0.064                                  | 0                   | 70.56    |
| 8/19/2019 3:00 | 29.83                     | 97400                    | 0.13                                   | 0                   | 70.7     |
| 8/19/2019 3:10 | 29.8                      | 97400                    | 0.167                                  | 0                   | 71.27    |
| 8/19/2019 3:20 | 29.74                     | 97400                    | 0.095                                  | 0                   | 72.04    |
| 8/19/2019 3:30 | 29.61                     | 97400                    | 0.082                                  | 0                   | 72.32    |
| 8/19/2019 3:40 | 29.64                     | 97400                    | 0                                      | 0                   | 72.43999 |
| 8/19/2019 3:50 | 29.61                     | 97400                    | 0                                      | 0                   | 72.13    |
| 8/19/2019 4:00 | 29.64                     | 97400                    | 0                                      | 0                   | 71.43999 |
| 8/19/2019 4:10 | 29.63                     | 97400                    | 0                                      | 0                   | 70.92    |
| 8/19/2019 4:20 | 29.61                     | 97400                    | 0                                      | 0                   | 69.68    |
| 8/19/2019 4:30 | 29.56                     | 97400                    | 0                                      | 0                   | 69.59    |
| 8/19/2019 4:40 | 29.39                     | 97400                    | 0                                      | 0                   | 69.89    |

|                 |       |       |       |          |          |
|-----------------|-------|-------|-------|----------|----------|
| 8/19/2019 4:50  | 29.34 | 97400 | 0     | 0        | 69.93    |
| 8/19/2019 5:00  | 29.33 | 97400 | 0     | 0        | 70.04999 |
| 8/19/2019 5:10  | 29.25 | 97500 | 0     | 0        | 69.72    |
| 8/19/2019 5:20  | 29.13 | 97500 | 0     | 0        | 69.91    |
| 8/19/2019 5:30  | 29.18 | 97500 | 0     | 0        | 69.85    |
| 8/19/2019 5:40  | 29.03 | 97500 | 0     | 0        | 70.24    |
| 8/19/2019 5:50  | 29.01 | 97500 | 0     | 0        | 71.25    |
| 8/19/2019 6:00  | 29.09 | 97500 | 0     | 1        | 71.09    |
| 8/19/2019 6:10  | 29.03 | 97500 | 0     | 8        | 70.78    |
| 8/19/2019 6:20  | 29.08 | 97500 | 0     | 20       | 70.18999 |
| 8/19/2019 6:30  | 29.17 | 97500 | 0     | 32       | 69.88    |
| 8/19/2019 6:40  | 29.18 | 97500 | 0     | 54       | 69.74    |
| 8/19/2019 6:50  | 29.41 | 97500 | 0     | 88.00001 | 69.16    |
| 8/19/2019 7:00  | 29.61 | 97500 | 0     | 109      | 67.79999 |
| 8/19/2019 7:10  | 29.92 | 97500 | 0     | 120      | 65.93    |
| 8/19/2019 7:20  | 30    | 97500 | 0     | 148      | 64.61999 |
| 8/19/2019 7:30  | 30.19 | 97500 | 0     | 187      | 63.79    |
| 8/19/2019 7:40  | 30.46 | 97500 | 0     | 253      | 63.53    |
| 8/19/2019 7:50  | 30.93 | 97500 | 0     | 285      | 61.85999 |
| 8/19/2019 8:00  | 31.33 | 97500 | 0     | 324      | 60.51    |
| 8/19/2019 8:10  | 31.47 | 97500 | 0.031 | 340      | 59.61    |
| 8/19/2019 8:20  | 31.43 | 97500 | 0.723 | 411      | 60.65    |
| 8/19/2019 8:30  | 31.75 | 97500 | 0.529 | 460      | 59.08    |
| 8/19/2019 8:40  | 32.12 | 97500 | 1.017 | 510      | 57.42    |
| 8/19/2019 8:50  | 32.27 | 97500 | 1.296 | 561.0001 | 57.89    |
| 8/19/2019 9:00  | 32.43 | 97500 | 0.925 | 595.0001 | 57.96    |
| 8/19/2019 9:10  | 33.06 | 97500 | 0.849 | 626.0001 | 52.93    |
| 8/19/2019 9:20  | 33.37 | 97500 | 0.83  | 663.0001 | 49.39    |
| 8/19/2019 9:30  | 33.98 | 97500 | 0.922 | 688      | 48.23    |
| 8/19/2019 9:40  | 34.14 | 97500 | 1.025 | 712      | 46.03    |
| 8/19/2019 9:50  | 34.22 | 97500 | 0.904 | 736.0001 | 47.11    |
| 8/19/2019 10:00 | 34.69 | 97500 | 0.957 | 763      | 44.13    |
| 8/19/2019 10:10 | 35.27 | 97500 | 1.097 | 789      | 41.59    |
| 8/19/2019 10:20 | 35.38 | 97500 | 1.035 | 815.0001 | 37.52    |
| 8/19/2019 10:30 | 35.81 | 97400 | 0.957 | 830.0001 | 37.97    |
| 8/19/2019 10:40 | 36.24 | 97400 | 1.127 | 849      | 36.77    |
| 8/19/2019 10:50 | 36.23 | 97400 | 1.332 | 875.0001 | 34.32    |
| 8/19/2019 11:00 | 36.6  | 97400 | 1.05  | 889.0001 | 34.13    |
| 8/19/2019 11:10 | 36.59 | 97400 | 0.814 | 899.0001 | 34.73    |
| 8/19/2019 11:20 | 37.06 | 97400 | 1.053 | 909      | 34.95    |
| 8/19/2019 11:30 | 37.19 | 97400 | 1.082 | 928      | 35.57    |
| 8/19/2019 11:40 | 37.15 | 97400 | 1.77  | 941.0001 | 35.69    |
| 8/19/2019 11:50 | 37.31 | 97400 | 1.359 | 948.0001 | 34.94    |
| 8/19/2019 12:00 | 37.8  | 97300 | 1.205 | 950.0001 | 34.06    |
| 8/19/2019 12:10 | 37.69 | 97300 | 1.378 | 954.0001 | 34.49    |

|                 |       |          |       |          |       |
|-----------------|-------|----------|-------|----------|-------|
| 8/19/2019 12:20 | 38.32 | 97300    | 1.665 | 951      | 33.17 |
| 8/19/2019 12:30 | 38.29 | 97300    | 1.125 | 954.0001 | 32.95 |
| 8/19/2019 12:40 | 39.04 | 97300    | 1.467 | 950.0001 | 31.93 |
| 8/19/2019 12:50 | 39.03 | 97300    | 1.229 | 952      | 31.94 |
| 8/19/2019 13:00 | 39.68 | 97200.01 | 1.205 | 953.0001 | 31.09 |
| 8/19/2019 13:10 | 40.21 | 97200.01 | 0.868 | 938      | 29.76 |
| 8/19/2019 13:20 | 40.24 | 97200.01 | 1.505 | 962.0001 | 29.26 |
| 8/19/2019 13:30 | 40.27 | 97200.01 | 0.986 | 967.0001 | 29.21 |
| 8/19/2019 13:40 | 40.27 | 97200.01 | 1.288 | 860      | 29.22 |
| 8/19/2019 13:50 | 40.55 | 97200.01 | 1.225 | 892      | 28.61 |
| 8/19/2019 14:00 | 40.6  | 97200.01 | 1.592 | 913.0001 | 28.46 |
| 8/19/2019 14:10 | 40.08 | 97100    | 0.98  | 880.0001 | 29.05 |
| 8/19/2019 14:20 | 40.88 | 97100    | 1.362 | 692      | 28.32 |
| 8/19/2019 14:30 | 40.69 | 97100    | 0.982 | 796.0001 | 28.32 |
| 8/19/2019 14:40 | 40.46 | 97100    | 1.181 | 678      | 28.59 |
| 8/19/2019 14:50 | 40.92 | 97100    | 1.374 | 794      | 27.89 |
| 8/19/2019 15:00 | 41.03 | 97100    | 0.961 | 754      | 27.71 |
| 8/19/2019 15:10 | 41.21 | 97100    | 0.947 | 729      | 27.59 |
| 8/19/2019 15:20 | 41.09 | 97000    | 1.272 | 698      | 27.49 |
| 8/19/2019 15:30 | 40.64 | 97000    | 2.769 | 678      | 29.84 |
| 8/19/2019 15:40 | 40.27 | 97000    | 2.502 | 650.0001 | 30.48 |
| 8/19/2019 15:50 | 40.08 | 97000    | 2.44  | 620      | 30.49 |
| 8/19/2019 16:00 | 40.06 | 97000    | 2.591 | 591.0001 | 29.79 |
| 8/19/2019 16:10 | 39.95 | 97000    | 2.651 | 558.0001 | 29.63 |
| 8/19/2019 16:20 | 40.14 | 97000    | 2.058 | 527      | 29.3  |
| 8/19/2019 16:30 | 40.14 | 97000    | 2.314 | 489      | 29.4  |
| 8/19/2019 16:40 | 39.86 | 97100    | 1.965 | 454      | 29.99 |
| 8/19/2019 16:50 | 39.71 | 97100    | 2.219 | 417      | 30.33 |
| 8/19/2019 17:00 | 39.16 | 97100    | 2.159 | 320      | 31.35 |
| 8/19/2019 17:10 | 38.43 | 97000    | 2.24  | 225      | 32.83 |
| 8/19/2019 17:20 | 38.03 | 97100    | 2.441 | 223      | 33.82 |
| 8/19/2019 17:30 | 37.97 | 97000    | 2.236 | 258      | 34.25 |
| 8/19/2019 17:40 | 37.82 | 97100    | 2.307 | 232      | 35.03 |
| 8/19/2019 17:50 | 37.55 | 97100    | 2.078 | 180      | 35.74 |
| 8/19/2019 18:00 | 37.02 | 97100    | 2.305 | 67       | 36.47 |
| 8/19/2019 18:10 | 36.49 | 97100    | 1.98  | 42       | 36.62 |
| 8/19/2019 18:20 | 36.34 | 97100    | 1.699 | 38       | 37.37 |
| 8/19/2019 18:30 | 36.25 | 97100    | 1.428 | 38       | 38.39 |
| 8/19/2019 18:40 | 35.9  | 97100    | 2.105 | 23       | 39.41 |
| 8/19/2019 18:50 | 35.44 | 97100    | 2.001 | 11       | 40.98 |
| 8/19/2019 19:00 | 35.19 | 97100    | 1.176 | 3        | 42.11 |
| 8/19/2019 19:10 | 34.96 | 97100    | 1.683 | 0        | 43.28 |
| 8/19/2019 19:20 | 34.72 | 97100    | 1.128 | 0        | 44.2  |
| 8/19/2019 19:30 | 34.46 | 97100    | 0.903 | 0        | 45.62 |
| 8/19/2019 19:40 | 34.1  | 97100    | 1.292 | 0        | 47.44 |

|                 |       |          |       |   |       |
|-----------------|-------|----------|-------|---|-------|
| 8/19/2019 19:50 | 33.87 | 97100    | 0.795 | 0 | 48.3  |
| 8/19/2019 20:00 | 33.7  | 97100    | 1.284 | 0 | 49.16 |
| 8/19/2019 20:10 | 33.58 | 97100    | 0.742 | 0 | 49.9  |
| 8/19/2019 20:20 | 33.46 | 97100    | 1.39  | 0 | 50.68 |
| 8/19/2019 20:30 | 33.26 | 97100    | 0.704 | 0 | 51.35 |
| 8/19/2019 20:40 | 33.17 | 97100    | 0.951 | 0 | 51.57 |
| 8/19/2019 20:50 | 33.09 | 97200.01 | 1.243 | 0 | 51.83 |
| 8/19/2019 21:00 | 32.86 | 97200.01 | 1.088 | 0 | 52.71 |
| 8/19/2019 21:10 | 32.77 | 97200.01 | 1.28  | 0 | 53.38 |
| 8/19/2019 21:20 | 32.68 | 97200.01 | 0.746 | 0 | 53.95 |
| 8/19/2019 21:30 | 32.49 | 97200.01 | 1.215 | 0 | 54.7  |
| 8/19/2019 21:40 | 32.41 | 97200.01 | 0.668 | 0 | 55.07 |
| 8/19/2019 21:50 | 32.36 | 97200.01 | 0.852 | 0 | 55.21 |
| 8/19/2019 22:00 | 32.28 | 97200.01 | 0.789 | 0 | 55.25 |
| 8/19/2019 22:10 | 32.22 | 97200.01 | 0.777 | 0 | 55.58 |
| 8/19/2019 22:20 | 32.06 | 97200.01 | 0.304 | 0 | 56.45 |
| 8/19/2019 22:30 | 31.85 | 97200.01 | 0.359 | 0 | 57.45 |
| 8/19/2019 22:40 | 31.85 | 97200.01 | 0.316 | 0 | 57.66 |
| 8/19/2019 22:50 | 31.77 | 97200.01 | 1.032 | 0 | 58.23 |
| 8/19/2019 23:00 | 31.69 | 97200.01 | 0.508 | 0 | 58.74 |
| 8/19/2019 23:10 | 31.65 | 97200.01 | 0.951 | 0 | 59.21 |
| 8/19/2019 23:20 | 31.58 | 97100    | 1.257 | 0 | 60.08 |
| 8/19/2019 23:30 | 31.44 | 97100    | 0.983 | 0 | 61.2  |
| 8/19/2019 23:40 | 31.23 | 97200.01 | 0.213 | 0 | 62.17 |
| 8/19/2019 23:50 | 31.06 | 97200.01 | 0.024 | 0 | 63.08 |

## APÉNDICE B

### Datos tomados por los Dataloggers

Al igual que el apéndice anterior se tomaron datos a lo largo de unos meses, pero para simplificar la tabla, se adjuntan solo los datos del 19 de agosto.

| Tiempo         | Temp.<br>a 0 m<br>[°C] | Temp.<br>a 1 m<br>[°C] | Temp.<br>a 2 m<br>[°C] | Temp.<br>a 3 m<br>[°C] | Temp.<br>a 4 m<br>[°C] | Temp.<br>a 5 m<br>[°C] | Temp.<br>a 6 m<br>[°C] | Temp.<br>a 7 m<br>[°C] | Temp.<br>a 8 m<br>[°C] | Temp.<br>a 9 m<br>[°C] | Temp.<br>a 10 m<br>[°C] |
|----------------|------------------------|------------------------|------------------------|------------------------|------------------------|------------------------|------------------------|------------------------|------------------------|------------------------|-------------------------|
| 8/19/2019 0:00 | 42.414                 | 36.155                 | 33.005                 | 31.15                  | 29.295                 | 29.89                  | 29.225                 | 26.9                   | 26.9                   | 26.5                   | 26.7                    |
| 8/19/2019 0:10 | 42.482                 | 36.435                 | 33.18                  | 31.15                  | 29.365                 | 29.96                  | 29.365                 | 26.9                   | 26.9                   | 26.6                   | 26.7                    |
| 8/19/2019 0:20 | 42.244                 | 36.33                  | 33.145                 | 31.22                  | 29.4                   | 29.925                 | 29.26                  | 26.8                   | 26.9                   | 26.6                   | 26.7                    |
| 8/19/2019 0:30 | 42.278                 | 36.295                 | 33.04                  | 31.255                 | 29.365                 | 29.995                 | 29.26                  | 26.8                   | 26.9                   | 26.5                   | 26.7                    |
| 8/19/2019 0:40 | 42.176                 | 36.47                  | 33.145                 | 31.185                 | 29.295                 | 29.89                  | 29.26                  | 26.8                   | 26.9                   | 26.6                   | 26.7                    |
| 8/19/2019 0:50 | 42.142                 | 36.295                 | 33.145                 | 31.185                 | 29.33                  | 29.995                 | 29.33                  | 26.8                   | 26.9                   | 26.5                   | 26.7                    |
| 8/19/2019 1:00 | 42.006                 | 36.33                  | 33.145                 | 31.22                  | 29.365                 | 29.89                  | 29.295                 | 26.9                   | 27                     | 26.6                   | 26.8                    |
| 8/19/2019 1:10 | 41.768                 | 36.26                  | 33.075                 | 31.045                 | 29.295                 | 29.925                 | 29.295                 | 26.8                   | 26.9                   | 26.6                   | 26.7                    |
| 8/19/2019 1:20 | 41.87                  | 36.33                  | 33.145                 | 31.15                  | 29.365                 | 29.89                  | 29.295                 | 26.9                   | 26.9                   | 26.6                   | 26.7                    |
| 8/19/2019 1:30 | 41.666                 | 36.4                   | 33.075                 | 31.22                  | 29.4                   | 29.855                 | 29.295                 | 26.9                   | 27                     | 26.6                   | 26.7                    |
| 8/19/2019 1:40 | 41.7                   | 36.33                  | 33.145                 | 31.185                 | 29.435                 | 29.995                 | 29.33                  | 26.9                   | 26.9                   | 26.7                   | 26.7                    |
| 8/19/2019 1:50 | 41.7                   | 36.365                 | 33.18                  | 31.29                  | 29.47                  | 29.96                  | 29.4                   | 26.8                   | 26.9                   | 26.6                   | 26.7                    |
| 8/19/2019 2:00 | 41.564                 | 36.225                 | 33.075                 | 31.185                 | 29.47                  | 29.995                 | 29.225                 | 26.9                   | 26.9                   | 26.6                   | 26.8                    |
| 8/19/2019 2:10 | 41.394                 | 36.26                  | 33.11                  | 31.22                  | 29.47                  | 29.925                 | 29.26                  | 26.8                   | 26.9                   | 26.6                   | 26.7                    |
| 8/19/2019 2:20 | 41.36                  | 36.33                  | 33.215                 | 31.22                  | 29.4                   | 29.925                 | 29.26                  | 26.8                   | 26.9                   | 26.6                   | 26.7                    |
| 8/19/2019 2:30 | 41.292                 | 36.33                  | 33.18                  | 31.22                  | 29.505                 | 29.96                  | 29.4                   | 26.9                   | 27                     | 26.6                   | 26.7                    |
| 8/19/2019 2:40 | 41.19                  | 36.435                 | 33.18                  | 31.325                 | 29.365                 | 29.995                 | 29.365                 | 26.8                   | 26.9                   | 26.6                   | 26.7                    |
| 8/19/2019 2:50 | 41.088                 | 36.295                 | 33.11                  | 31.15                  | 29.33                  | 29.925                 | 29.225                 | 26.8                   | 27                     | 26.6                   | 26.7                    |
| 8/19/2019 3:00 | 41.088                 | 36.33                  | 33.075                 | 31.255                 | 29.4                   | 29.89                  | 29.4                   | 26.8                   | 27                     | 26.6                   | 26.7                    |
| 8/19/2019 3:10 | 40.952                 | 36.33                  | 33.215                 | 31.15                  | 29.33                  | 29.855                 | 29.225                 | 26.8                   | 27                     | 26.6                   | 26.7                    |
| 8/19/2019 3:20 | 40.986                 | 36.4                   | 33.11                  | 31.22                  | 29.4                   | 29.995                 | 29.26                  | 26.9                   | 27                     | 26.6                   | 26.7                    |
| 8/19/2019 3:30 | 40.85                  | 36.365                 | 33.145                 | 31.15                  | 29.26                  | 29.89                  | 29.225                 | 26.8                   | 26.9                   | 26.6                   | 26.7                    |
| 8/19/2019 3:40 | 40.918                 | 36.33                  | 33.25                  | 31.29                  | 29.365                 | 29.96                  | 29.435                 | 26.9                   | 27                     | 26.6                   | 26.8                    |
| 8/19/2019 3:50 | 40.884                 | 36.4                   | 33.215                 | 31.325                 | 29.4                   | 30.065                 | 29.365                 | 26.8                   | 27                     | 26.6                   | 26.8                    |
| 8/19/2019 4:00 | 40.714                 | 36.33                  | 33.18                  | 31.22                  | 29.365                 | 29.96                  | 29.26                  | 26.8                   | 26.9                   | 26.6                   | 26.7                    |
| 8/19/2019 4:10 | 40.68                  | 36.33                  | 33.18                  | 31.255                 | 29.365                 | 29.96                  | 29.295                 | 26.8                   | 27                     | 26.6                   | 26.8                    |
| 8/19/2019 4:20 | 40.544                 | 36.365                 | 33.18                  | 31.255                 | 29.365                 | 29.89                  | 29.4                   | 26.9                   | 26.9                   | 26.6                   | 26.7                    |
| 8/19/2019 4:30 | 40.578                 | 36.435                 | 33.215                 | 31.255                 | 29.33                  | 29.925                 | 29.295                 | 26.8                   | 26.9                   | 26.7                   | 26.7                    |
| 8/19/2019 4:40 | 40                     | 36.435                 | 33.215                 | 31.29                  | 29.435                 | 30.03                  | 29.33                  | 26.9                   | 26.9                   | 26.6                   | 26.7                    |
| 8/19/2019 4:50 | 40.578                 | 36.4                   | 33.285                 | 31.36                  | 29.435                 | 30.03                  | 29.365                 | 26.9                   | 27                     | 26.6                   | 26.8                    |
| 8/19/2019 5:00 | 40.306                 | 36.365                 | 33.11                  | 31.22                  | 29.4                   | 29.925                 | 29.26                  | 26.9                   | 27                     | 26.7                   | 26.8                    |
| 8/19/2019 5:10 | 40.306                 | 36.365                 | 33.215                 | 31.15                  | 29.365                 | 29.925                 | 29.26                  | 26.9                   | 26.9                   | 26.6                   | 26.7                    |
| 8/19/2019 5:20 | 40.34                  | 36.435                 | 33.18                  | 31.22                  | 29.365                 | 29.995                 | 29.365                 | 26.9                   | 27                     | 26.6                   | 26.7                    |

|                 |        |        |        |        |        |        |        |      |      |      |      |
|-----------------|--------|--------|--------|--------|--------|--------|--------|------|------|------|------|
| 8/19/2019 5:30  | 40.272 | 36.47  | 33.145 | 31.29  | 29.47  | 29.89  | 29.33  | 26.9 | 27   | 26.6 | 26.8 |
| 8/19/2019 5:40  | 40.136 | 36.4   | 33.18  | 31.255 | 29.4   | 29.89  | 29.295 | 26.9 | 26.9 | 26.7 | 26.7 |
| 8/19/2019 5:50  | 40.068 | 36.4   | 33.11  | 31.29  | 29.365 | 29.995 | 29.33  | 26.9 | 26.9 | 26.6 | 26.7 |
| 8/19/2019 6:00  | 40.102 | 36.435 | 33.32  | 31.325 | 29.365 | 29.96  | 29.4   | 26.8 | 27   | 26.6 | 26.8 |
| 8/19/2019 6:10  | 39.898 | 36.26  | 33.145 | 31.185 | 29.295 | 29.96  | 29.295 | 26.9 | 27   | 26.7 | 26.8 |
| 8/19/2019 6:20  | 39.932 | 36.47  | 33.355 | 31.255 | 29.4   | 30.135 | 29.33  | 26.9 | 27   | 26.7 | 26.7 |
| 8/19/2019 6:30  | 39.898 | 36.365 | 33.145 | 31.255 | 29.435 | 29.96  | 29.33  | 26.9 | 27   | 26.6 | 26.8 |
| 8/19/2019 6:40  | 39.796 | 36.33  | 33.11  | 31.15  | 29.365 | 29.925 | 29.33  | 26.8 | 27   | 26.6 | 26.8 |
| 8/19/2019 6:50  | 39.83  | 36.4   | 33.145 | 31.22  | 29.435 | 29.96  | 29.295 | 26.8 | 27   | 26.7 | 26.8 |
| 8/19/2019 7:00  | 39.694 | 36.4   | 33.18  | 31.185 | 29.365 | 29.995 | 29.4   | 26.8 | 27   | 26.6 | 26.8 |
| 8/19/2019 7:10  | 39.694 | 36.4   | 33.11  | 31.22  | 29.4   | 29.96  | 29.365 | 26.9 | 27   | 26.6 | 26.8 |
| 8/19/2019 7:20  | 39.66  | 36.26  | 33.18  | 31.255 | 28.91  | 29.995 | 29.33  | 26.9 | 26.9 | 26.6 | 26.8 |
| 8/19/2019 7:30  | 39.592 | 36.47  | 33.18  | 31.325 | 29.47  | 30.03  | 29.295 | 26.9 | 27   | 26.6 | 26.8 |
| 8/19/2019 7:40  | 39.524 | 36.47  | 33.18  | 31.22  | 29.365 | 29.89  | 29.4   | 26.9 | 26.9 | 26.6 | 26.8 |
| 8/19/2019 7:50  | 39.524 | 36.365 | 33.215 | 31.325 | 29.4   | 29.925 | 29.365 | 26.9 | 26.9 | 26.7 | 26.8 |
| 8/19/2019 8:00  | 39.456 | 36.47  | 33.18  | 31.22  | 29.4   | 30.1   | 29.295 | 26.8 | 27   | 26.6 | 26.8 |
| 8/19/2019 8:10  | 39.49  | 36.505 | 33.285 | 31.29  | 29.47  | 29.995 | 29.4   | 26.8 | 26.9 | 26.7 | 26.8 |
| 8/19/2019 8:20  | 39.388 | 36.33  | 33.145 | 31.325 | 29.295 | 29.995 | 29.33  | 26.8 | 26.9 | 26.6 | 26.8 |
| 8/19/2019 8:30  | 39.456 | 36.365 | 33.145 | 31.325 | 29.295 | 29.925 | 29.365 | 26.9 | 27   | 26.7 | 26.8 |
| 8/19/2019 8:40  | 39.252 | 36.295 | 33.11  | 31.185 | 29.26  | 29.855 | 29.19  | 26.8 | 26.9 | 26.7 | 26.8 |
| 8/19/2019 8:50  | 39.32  | 36.4   | 33.145 | 31.185 | 29.435 | 30.03  | 29.295 | 26.9 | 26.9 | 26.7 | 26.8 |
| 8/19/2019 9:00  | 39.286 | 36.435 | 33.18  | 31.29  | 29.4   | 30.03  | 29.4   | 26.9 | 27   | 26.7 | 26.8 |
| 8/19/2019 9:10  | 39.354 | 36.505 | 33.145 | 31.325 | 29.47  | 29.925 | 29.4   | 26.9 | 27   | 26.7 | 26.8 |
| 8/19/2019 9:20  | 39.32  | 36.365 | 33.18  | 31.115 | 29.33  | 29.925 | 29.26  | 26.9 | 26.9 | 26.7 | 26.8 |
| 8/19/2019 9:30  | 39.286 | 36.33  | 33.145 | 31.185 | 29.365 | 29.925 | 29.295 | 26.9 | 27   | 26.7 | 26.8 |
| 8/19/2019 9:40  | 39.388 | 36.4   | 33.145 | 31.255 | 29.4   | 29.855 | 29.365 | 26.8 | 26.9 | 26.7 | 26.7 |
| 8/19/2019 9:50  | 39.49  | 36.365 | 33.11  | 31.185 | 29.33  | 29.96  | 29.365 | 26.8 | 26.9 | 26.7 | 26.8 |
| 8/19/2019 10:00 | 39.66  | 36.4   | 33.18  | 31.29  | 29.26  | 29.96  | 29.33  | 26.8 | 27   | 26.6 | 26.7 |
| 8/19/2019 10:10 | 39.524 | 36.4   | 33.18  | 31.36  | 29.435 | 29.995 | 29.19  | 26.9 | 26.9 | 26.7 | 26.7 |
| 8/19/2019 10:20 | 39.66  | 36.26  | 33.075 | 31.185 | 29.4   | 29.855 | 29.295 | 26.8 | 26.9 | 26.6 | 26.7 |
| 8/19/2019 10:30 | 39.728 | 36.33  | 33.145 | 31.255 | 29.435 | 29.925 | 29.33  | 26.8 | 26.9 | 26.7 | 26.7 |
| 8/19/2019 10:40 | 39.864 | 36.26  | 33.18  | 31.255 | 29.26  | 29.89  | 29.225 | 26.9 | 26.9 | 26.6 | 26.8 |
| 8/19/2019 10:50 | 39.932 | 36.33  | 33.18  | 31.185 | 29.4   | 29.89  | 29.155 | 26.8 | 26.9 | 26.6 | 26.8 |
| 8/19/2019 11:00 | 40.204 | 36.26  | 33.25  | 31.255 | 29.47  | 29.89  | 29.365 | 26.9 | 26.9 | 26.7 | 26.8 |
| 8/19/2019 11:10 | 40.17  | 36.365 | 33.11  | 31.325 | 29.435 | 29.925 | 29.26  | 26.8 | 27   | 26.6 | 26.7 |
| 8/19/2019 11:20 | 40.306 | 36.295 | 33.285 | 31.115 | 29.365 | 29.995 | 29.26  | 26.8 | 26.9 | 26.6 | 26.8 |
| 8/19/2019 11:30 | 40.51  | 36.365 | 33.145 | 31.185 | 29.295 | 29.925 | 29.295 | 26.8 | 26.9 | 26.6 | 26.7 |
| 8/19/2019 11:40 | 40.68  | 36.33  | 33.04  | 31.15  | 29.26  | 29.785 | 29.33  | 26.9 | 26.9 | 26.6 | 26.7 |
| 8/19/2019 11:50 | 40.85  | 36.47  | 33.145 | 31.22  | 29.4   | 29.89  | 29.295 | 26.8 | 26.9 | 26.6 | 26.7 |
| 8/19/2019 12:00 | 41.054 | 36.4   | 33.075 | 31.255 | 28.805 | 29.855 | 29.295 | 26.9 | 26.9 | 26.6 | 26.7 |
| 8/19/2019 12:10 | 41.088 | 36.295 | 33.145 | 31.15  | 29.26  | 29.82  | 29.12  | 26.9 | 27   | 26.6 | 26.7 |
| 8/19/2019 12:20 | 41.326 | 36.26  | 33.18  | 31.22  | 29.365 | 29.96  | 29.19  | 26.8 | 26.9 | 26.6 | 26.7 |
| 8/19/2019 12:30 | 41.564 | 36.365 | 33.145 | 31.185 | 29.33  | 29.855 | 29.33  | 26.8 | 26.9 | 26.6 | 26.7 |
| 8/19/2019 12:40 | 41.632 | 36.365 | 33.18  | 31.255 | 29.435 | 29.925 | 29.33  | 26.9 | 26.9 | 26.5 | 26.6 |
| 8/19/2019 12:50 | 41.904 | 36.295 | 33.18  | 31.15  | 28.875 | 29.715 | 29.225 | 26.8 | 26.9 | 26.5 | 26.6 |

|                 |        |        |        |        |        |        |        |      |      |      |      |
|-----------------|--------|--------|--------|--------|--------|--------|--------|------|------|------|------|
| 8/19/2019 13:00 | 42.04  | 36.33  | 33.005 | 31.115 | 29.33  | 29.785 | 29.155 | 26.9 | 26.9 | 26.5 | 26.6 |
| 8/19/2019 13:10 | 42.278 | 36.33  | 33.11  | 31.115 | 29.33  | 29.82  | 29.19  | 26.8 | 26.9 | 26.5 | 26.7 |
| 8/19/2019 13:20 | 42.516 | 36.225 | 32.97  | 31.045 | 29.19  | 29.785 | 29.19  | 26.8 | 26.9 | 26.5 | 26.6 |
| 8/19/2019 13:30 | 42.754 | 36.26  | 33.145 | 31.115 | 29.33  | 29.89  | 29.155 | 26.9 | 26.9 | 26.5 | 26.6 |
| 8/19/2019 13:40 | 42.856 | 36.225 | 33.075 | 31.01  | 29.26  | 29.75  | 29.19  | 26.8 | 26.9 | 26.5 | 26.6 |
| 8/19/2019 13:50 | 43.026 | 36.33  | 32.55  | 31.22  | 29.33  | 29.82  | 29.155 | 26.8 | 26.9 | 26.5 | 26.6 |
| 8/19/2019 14:00 | 43.196 | 36.295 | 32.9   | 31.01  | 29.225 | 29.785 | 29.05  | 26.8 | 26.9 | 26.4 | 26.6 |
| 8/19/2019 14:10 | 43.468 | 36.295 | 33.005 | 31.08  | 29.33  | 29.82  | 29.26  | 26.8 | 26.9 | 26.4 | 26.6 |
| 8/19/2019 14:20 | 43.604 | 36.295 | 33.005 | 31.01  | 29.19  | 29.785 | 29.12  | 26.8 | 26.9 | 26.5 | 26.6 |
| 8/19/2019 14:30 | 43.774 | 36.295 | 33.075 | 31.115 | 29.33  | 29.82  | 29.155 | 26.8 | 26.9 | 26.4 | 26.6 |
| 8/19/2019 14:40 | 43.842 | 36.295 | 32.97  | 31.115 | 29.26  | 29.785 | 29.155 | 26.8 | 26.9 | 26.5 | 26.6 |
| 8/19/2019 14:50 | 44.114 | 36.33  | 33.075 | 31.15  | 29.26  | 29.925 | 29.26  | 26.8 | 26.9 | 26.4 | 26.6 |
| 8/19/2019 15:00 | 44.25  | 36.19  | 33.005 | 31.15  | 29.225 | 29.645 | 29.05  | 26.8 | 26.9 | 26.4 | 26.5 |
| 8/19/2019 15:10 | 44.386 | 36.19  | 32.9   | 31.045 | 29.12  | 29.68  | 29.12  | 26.8 | 26.9 | 26.4 | 26.6 |
| 8/19/2019 15:20 | 44.59  | 36.26  | 32.97  | 31.045 | 29.26  | 29.82  | 29.05  | 26.8 | 26.9 | 26.4 | 26.6 |
| 8/19/2019 15:30 | 44.76  | 36.155 | 33.005 | 31.01  | 29.26  | 29.68  | 29.05  | 26.9 | 26.9 | 26.4 | 26.6 |
| 8/19/2019 15:40 | 44.964 | 36.295 | 32.97  | 31.01  | 29.225 | 29.855 | 29.015 | 26.8 | 26.9 | 26.4 | 26.5 |
| 8/19/2019 15:50 | 45.1   | 36.295 | 33.075 | 31.08  | 29.365 | 29.82  | 29.12  | 26.7 | 26.9 | 26.4 | 26.5 |
| 8/19/2019 16:00 | 45.168 | 36.295 | 33.04  | 31.01  | 29.19  | 29.645 | 29.085 | 26.8 | 26.9 | 26.4 | 26.6 |
| 8/19/2019 16:10 | 45.44  | 36.33  | 33.11  | 31.185 | 29.4   | 29.82  | 29.12  | 26.8 | 26.9 | 26.4 | 26.5 |
| 8/19/2019 16:20 | 45.474 | 36.295 | 33.145 | 31.08  | 29.19  | 29.82  | 29.155 | 26.8 | 26.9 | 26.4 | 26.5 |
| 8/19/2019 16:30 | 45.542 | 36.19  | 33.04  | 31.045 | 29.225 | 29.785 | 29.12  | 26.8 | 26.9 | 26.4 | 26.5 |
| 8/19/2019 16:40 | 45.61  | 36.33  | 32.97  | 31.15  | 29.295 | 29.785 | 29.05  | 26.8 | 26.9 | 26.4 | 26.5 |
| 8/19/2019 16:50 | 45.576 | 36.26  | 33.005 | 31.08  | 29.19  | 29.75  | 28.945 | 26.8 | 26.9 | 26.3 | 26.5 |
| 8/19/2019 17:00 | 45.712 | 36.295 | 33.04  | 31.08  | 29.225 | 29.785 | 29.12  | 26.8 | 26.9 | 26.4 | 26.6 |
| 8/19/2019 17:10 | 45.644 | 36.26  | 33.005 | 31.08  | 29.26  | 29.75  | 28.98  | 26.8 | 26.8 | 26.3 | 26.5 |
| 8/19/2019 17:20 | 45.814 | 36.225 | 33.04  | 31.115 | 29.295 | 29.785 | 29.085 | 26.8 | 26.9 | 26.4 | 26.5 |
| 8/19/2019 17:30 | 45.712 | 36.295 | 33.04  | 30.94  | 29.225 | 29.75  | 29.015 | 26.8 | 26.9 | 26.4 | 26.5 |
| 8/19/2019 17:40 | 45.814 | 36.33  | 33.04  | 31.01  | 29.26  | 29.855 | 29.155 | 26.8 | 26.9 | 26.4 | 26.5 |
| 8/19/2019 17:50 | 45.814 | 36.33  | 33.075 | 30.94  | 29.155 | 29.785 | 29.155 | 26.8 | 26.9 | 26.4 | 26.5 |
| 8/19/2019 18:00 | 46.018 | 36.225 | 33.04  | 31.115 | 29.26  | 29.785 | 29.085 | 26.8 | 26.9 | 26.3 | 26.5 |
| 8/19/2019 18:10 | 45.882 | 36.295 | 33.11  | 31.15  | 29.33  | 29.785 | 29.12  | 26.8 | 26.9 | 26.4 | 26.5 |
| 8/19/2019 18:20 | 45.746 | 36.33  | 33.04  | 31.01  | 29.225 | 29.785 | 29.12  | 26.8 | 26.9 | 26.4 | 26.5 |
| 8/19/2019 18:30 | 45.814 | 36.295 | 33.04  | 31.01  | 29.225 | 29.715 | 29.015 | 26.8 | 26.9 | 26.3 | 26.5 |
| 8/19/2019 18:40 | 45.712 | 36.26  | 32.97  | 31.045 | 29.225 | 29.75  | 29.085 | 26.8 | 26.9 | 26.4 | 26.6 |
| 8/19/2019 18:50 | 45.712 | 36.295 | 33.04  | 31.115 | 29.225 | 29.75  | 29.12  | 26.9 | 27   | 26.4 | 26.6 |
| 8/19/2019 19:00 | 45.61  | 36.225 | 32.97  | 31.045 | 29.225 | 29.82  | 29.05  | 26.8 | 26.9 | 26.4 | 26.6 |
| 8/19/2019 19:10 | 45.644 | 36.365 | 32.97  | 31.045 | 29.26  | 29.75  | 29.19  | 26.9 | 26.9 | 26.4 | 26.6 |
| 8/19/2019 19:20 | 45.576 | 36.4   | 32.97  | 31.115 | 29.225 | 29.82  | 29.155 | 26.8 | 26.9 | 26.4 | 26.6 |
| 8/19/2019 19:30 | 45.61  | 36.54  | 33.11  | 31.22  | 29.33  | 29.82  | 29.33  | 26.8 | 26.9 | 26.4 | 26.6 |
| 8/19/2019 19:40 | 45.304 | 36.225 | 33.11  | 31.045 | 29.225 | 29.75  | 29.19  | 26.8 | 26.9 | 26.4 | 26.6 |
| 8/19/2019 19:50 | 45.338 | 36.33  | 33.075 | 31.08  | 29.33  | 29.82  | 29.155 | 26.8 | 26.9 | 26.4 | 26.6 |
| 8/19/2019 20:00 | 45.338 | 36.365 | 33.25  | 31.15  | 29.295 | 29.855 | 29.085 | 26.8 | 26.9 | 26.4 | 26.6 |
| 8/19/2019 20:10 | 45.066 | 36.365 | 33.11  | 31.115 | 29.295 | 29.855 | 29.26  | 26.8 | 26.9 | 26.4 | 26.6 |
| 8/19/2019 20:20 | 44.964 | 36.295 | 33.04  | 31.115 | 29.295 | 29.855 | 29.155 | 26.9 | 26.9 | 26.4 | 26.6 |

|                 |        |        |        |        |        |        |        |      |      |      |      |
|-----------------|--------|--------|--------|--------|--------|--------|--------|------|------|------|------|
| 8/19/2019 20:30 | 44.862 | 36.26  | 32.515 | 31.115 | 29.19  | 29.785 | 29.12  | 26.8 | 26.9 | 26.4 | 26.6 |
| 8/19/2019 20:40 | 44.828 | 36.365 | 33.04  | 31.22  | 29.295 | 29.855 | 29.225 | 26.8 | 26.9 | 26.4 | 26.6 |
| 8/19/2019 20:50 | 44.76  | 36.4   | 33.075 | 31.185 | 29.365 | 29.89  | 29.225 | 26.8 | 26.9 | 26.5 | 26.6 |
| 8/19/2019 21:00 | 44.556 | 36.26  | 33.11  | 31.08  | 29.26  | 29.75  | 29.225 | 26.8 | 26.9 | 26.4 | 26.6 |
| 8/19/2019 21:10 | 44.352 | 36.365 | 33.18  | 31.115 | 29.26  | 29.89  | 29.12  | 26.9 | 26.9 | 26.5 | 26.6 |
| 8/19/2019 21:20 | 44.488 | 36.365 | 33.11  | 31.115 | 29.33  | 29.82  | 29.225 | 26.8 | 26.9 | 26.5 | 26.6 |
| 8/19/2019 21:30 | 44.318 | 36.4   | 33.075 | 31.185 | 29.4   | 29.89  | 29.26  | 26.9 | 26.9 | 26.5 | 26.6 |
| 8/19/2019 21:40 | 44.216 | 36.33  | 33.11  | 31.115 | 29.33  | 29.855 | 29.19  | 26.8 | 26.9 | 26.4 | 26.6 |
| 8/19/2019 21:50 | 44.114 | 36.295 | 33.11  | 31.15  | 29.26  | 29.855 | 29.26  | 26.9 | 26.9 | 26.5 | 26.7 |
| 8/19/2019 22:00 | 43.978 | 36.435 | 33.25  | 31.22  | 29.365 | 29.82  | 29.225 | 26.8 | 26.9 | 26.5 | 26.6 |
| 8/19/2019 22:10 | 43.876 | 36.365 | 33.145 | 31.255 | 29.26  | 29.96  | 29.225 | 26.8 | 26.9 | 26.5 | 26.6 |
| 8/19/2019 22:20 | 43.808 | 36.4   | 33.215 | 31.15  | 29.435 | 29.925 | 29.19  | 26.8 | 26.9 | 26.5 | 26.7 |
| 8/19/2019 22:30 | 43.604 | 36.365 | 33.075 | 31.115 | 29.295 | 29.82  | 29.26  | 26.8 | 26.9 | 26.5 | 26.6 |
| 8/19/2019 22:40 | 43.502 | 36.33  | 33.11  | 31.08  | 29.295 | 29.82  | 29.155 | 26.8 | 26.9 | 26.5 | 26.6 |
| 8/19/2019 22:50 | 43.536 | 36.26  | 33.11  | 31.115 | 29.33  | 29.785 | 29.33  | 26.9 | 26.9 | 26.5 | 26.7 |
| 8/19/2019 23:00 | 43.366 | 36.295 | 33.075 | 31.22  | 29.4   | 29.995 | 29.225 | 26.9 | 27   | 26.5 | 26.7 |
| 8/19/2019 23:10 | 43.332 | 36.33  | 33.11  | 31.185 | 29.33  | 29.89  | 29.33  | 26.8 | 26.9 | 26.5 | 26.7 |
| 8/19/2019 23:20 | 43.23  | 36.365 | 33.215 | 31.255 | 29.435 | 29.925 | 29.33  | 26.9 | 26.9 | 26.5 | 26.7 |
| 8/19/2019 23:30 | 43.06  | 36.365 | 33.11  | 31.185 | 29.295 | 29.96  | 29.19  | 26.9 | 26.9 | 26.5 | 26.7 |
| 8/19/2019 23:40 | 42.992 | 36.365 | 33.18  | 31.15  | 29.365 | 29.89  | 29.26  | 26.8 | 26.9 | 26.5 | 26.7 |
| 8/19/2019 23:50 | 42.958 | 36.435 | 33.215 | 31.15  | 29.4   | 29.96  | 29.33  | 26.8 | 26.9 | 26.5 | 26.7 |

## APÉNDICE C

### Matrices de selección

Después del cálculo y simulación de las opciones se evaluó para seleccionar la mejor.

|   |                                | Factibilidad económica | Costos de mantenimiento | Capacidad de remoción de calor | Complejidad de montaje | Seguridad | Total |
|---|--------------------------------|------------------------|-------------------------|--------------------------------|------------------------|-----------|-------|
|   | Valores                        | 0.25                   | 0.25                    | 0.3                            | 0.1                    | 0.1       | 1     |
| 1 | Agua con bomba de calor        | 2                      | 2                       | 1                              | 4                      | 4         | 2.1   |
| 2 | Aire con ventilador centrifugo | 5                      | 4                       | 5                              | 4                      | 3         | 4.45  |

|   |          | Factibilidad económica | Costos de mantenimiento | Capacidad de remoción de calor | Total |
|---|----------|------------------------|-------------------------|--------------------------------|-------|
|   | Valores  | 0.4                    | 0.35                    | 0.25                           | 1     |
| 1 | Capa 1-2 | 5                      | 5                       | 2                              | 4.25  |
| 2 | Capa 5-6 | 3                      | 3                       | 5                              | 3.5   |
| 3 | Capa 7-8 | 2                      | 2                       | 3                              | 2.25  |
| 4 | Capa 8-9 | 1                      | 1                       | 4                              | 1.75  |

## APÉNDICE D

**Tabla de resultados de la simulación de la columna estratigráfica**

| Tiempo         | PG<br>Temperatura<br>Sólido 0 m<br>[°C] | PG<br>Temperatura<br>Sólido 1 m<br>[°C] | PG<br>Temperatura<br>Sólido 2 m<br>[°C] | PG<br>Temperatura<br>Sólido 3 m<br>[°C] | PG<br>Temperatura<br>Sólido 4 m<br>[°C] | PG<br>Temperatura<br>Sólido 5 m<br>[°C] |
|----------------|---|---|---|---|---|---|
| 8/19/2019 0:00 | 32.22523818                             | 34.78753372                             | 32.76407199                             | 31.67565699                             | 30.34036326                             | 29.32653066                             |
| 8/19/2019 0:10 | 31.67565739                             | 34.78727393                             | 32.76514137                             | 31.67677639                             | 30.34150722                             | 29.32767165                             |
| 8/19/2019 0:20 | 31.93204322                             | 34.78701389                             | 32.76620925                             | 31.67789453                             | 30.34265024                             | 29.32881196                             |
| 8/19/2019 0:30 | 32.31472609                             | 34.78675361                             | 32.76727561                             | 31.67901141                             | 30.34379232                             | 29.32995159                             |
| 8/19/2019 0:40 | 31.86702266                             | 34.78649309                             | 32.76834047                             | 31.68012702                             | 30.34493345                             | 29.33109052                             |
| 8/19/2019 0:50 | 31.43566545                             | 34.78623233                             | 32.76940383                             | 31.68124136                             | 30.34607365                             | 29.33222877                             |
| 8/19/2019 1:00 | 31.49765076                             | 34.78597133                             | 32.77046568                             | 31.68235444                             | 30.34721291                             | 29.33336633                             |
| 8/19/2019 1:10 | 31.20180656                             | 34.7857101                              | 32.77152603                             | 31.68346626                             | 30.34835123                             | 29.33450321                             |
| 8/19/2019 1:20 | 31.01509859                             | 34.78544862                             | 32.77258487                             | 31.68457682                             | 30.34948861                             | 29.33563939                             |
| 8/19/2019 1:30 | 31.65356175                             | 34.78518691                             | 32.77364222                             | 31.68568611                             | 30.35062505                             | 29.33677489                             |
| 8/19/2019 1:40 | 31.22433116                             | 34.78492496                             | 32.77469807                             | 31.68679415                             | 30.35176055                             | 29.3379097                              |
| 8/19/2019 1:50 | 30.92554673                             | 34.78466278                             | 32.77575242                             | 31.68790092                             | 30.35289511                             | 29.33904382                             |
| 8/19/2019 2:00 | 31.67534836                             | 34.78440036                             | 32.77680528                             | 31.68900644                             | 30.35402874                             | 29.34017725                             |
| 8/19/2019 2:10 | 31.22630461                             | 34.78413771                             | 32.77785665                             | 31.6901107                              | 30.35516142                             | 29.34130999                             |
| 8/19/2019 2:20 | 31.21358704                             | 34.78387482                             | 32.77890652                             | 31.6912137                              | 30.35629316                             | 29.34244205                             |
| 8/19/2019 2:30 | 30.92264619                             | 34.7836117                              | 32.7799549                              | 31.69231544                             | 30.35742397                             | 29.34357341                             |
| 8/19/2019 2:40 | 30.81182395                             | 34.78334834                             | 32.78100179                             | 31.69341593                             | 30.35855383                             | 29.34470408                             |
| 8/19/2019 2:50 | 30.99852675                             | 34.78308476                             | 32.78204719                             | 31.69451517                             | 30.35968276                             | 29.34583405                             |
| 8/19/2019 3:00 | 30.98050148                             | 34.78282094                             | 32.78309111                             | 31.69561315                             | 30.36081075                             | 29.34696334                             |
| 8/19/2019 3:10 | 31.37172848                             | 34.78255688                             | 32.78413354                             | 31.69670987                             | 30.3619378                              | 29.34809194                             |
| 8/19/2019 3:20 | 31.01417347                             | 34.78229259                             | 32.78517449                             | 31.69780535                             | 30.36306391                             | 29.34921984                             |
| 8/19/2019 3:30 | 31.24005257                             | 34.78202807                             | 32.78621396                             | 31.69889957                             | 30.36418909                             | 29.35034705                             |
| 8/19/2019 3:40 | 31.08144064                             | 34.78176332                             | 32.78725194                             | 31.69999255                             | 30.36531332                             | 29.35147356                             |
| 8/19/2019 3:50 | 31.17240711                             | 34.78149833                             | 32.78828845                             | 31.70108427                             | 30.36643662                             | 29.35259939                             |
| 8/19/2019 4:00 | 31.37489355                             | 34.78123311                             | 32.78932347                             | 31.70217475                             | 30.36755898                             | 29.35372452                             |
| 8/19/2019 4:10 | 31.18240174                             | 34.78096766                             | 32.79035703                             | 31.70326397                             | 30.36868041                             | 29.35484895                             |
| 8/19/2019 4:20 | 31.59227364                             | 34.78070197                             | 32.7913891                              | 31.70435195                             | 30.36980089                             | 29.35597269                             |
| 8/19/2019 4:30 | 31.22527656                             | 34.78043605                             | 32.7924197                              | 31.70543869                             | 30.37092044                             | 29.35709574                             |
| 8/19/2019 4:40 | 31.04401892                             | 34.78016989                             | 32.79344883                             | 31.70652418                             | 30.37203905                             | 29.35821809                             |
| 8/19/2019 4:50 | 30.53535651                             | 34.7799035                              | 32.79447649                             | 31.70760842                             | 30.37315673                             | 29.35933975                             |
| 8/19/2019 5:00 | 31.47737154                             | 34.77963687                             | 32.79550268                             | 31.70869142                             | 30.37427346                             | 29.36046071                             |
| 8/19/2019 5:10 | 30.55689588                             | 34.77937                                | 32.7965274                              | 31.70977318                             | 30.37538926                             | 29.36158097                             |
| 8/19/2019 5:20 | 31.18825084                             | 34.7791029                              | 32.79755066                             | 31.71085369                             | 30.37650413                             | 29.36270054                             |
| 8/19/2019 5:30 | 30.01323875                             | 34.77883556                             | 32.79857245                             | 31.71193297                             | 30.37761806                             | 29.36381941                             |
| 8/19/2019 5:40 | 30.00815748                             | 34.77856798                             | 32.79959278                             | 31.713011                               | 30.37873105                             | 29.36493758                             |
| 8/19/2019 5:50 | 30.43430798                             | 34.77830016                             | 32.80061164                             | 31.71408779                             | 30.3798431                              | 29.36605506                             |
| 8/19/2019 6:00 | 29.7625417                              | 34.77803211                             | 32.80162905                             | 31.71516335                             | 30.38095422                             | 29.36717184                             |

|                 |             |             |             |             |             |             |
|-----------------|-------------|-------------|-------------|-------------|-------------|-------------|
| 8/19/2019 6:10  | 29.97639125 | 34.77776381 | 32.80264499 | 31.71623767 | 30.38206441 | 29.36828792 |
| 8/19/2019 6:20  | 30.27987286 | 34.77749527 | 32.80365948 | 31.71731075 | 30.38317366 | 29.3694033  |
| 8/19/2019 6:30  | 29.77629952 | 34.77722649 | 32.80467251 | 31.71838259 | 30.38428197 | 29.37051798 |
| 8/19/2019 6:40  | 30.17634446 | 34.77695746 | 32.80568409 | 31.7194532  | 30.38538935 | 29.37163197 |
| 8/19/2019 6:50  | 30.1666823  | 34.77668819 | 32.80669421 | 31.72052258 | 30.38649579 | 29.37274525 |
| 8/19/2019 7:00  | 30.20783345 | 34.77641867 | 32.80770288 | 31.72159072 | 30.3876013  | 29.37385784 |
| 8/19/2019 7:10  | 30.4449147  | 34.7761489  | 32.8087101  | 31.72265763 | 30.38870588 | 29.37496972 |
| 8/19/2019 7:20  | 30.60315871 | 34.77587889 | 32.80971587 | 31.72372331 | 30.38980952 | 29.37608091 |
| 8/19/2019 7:30  | 30.5872201  | 34.77560862 | 32.81072019 | 31.72478776 | 30.39091222 | 29.37719139 |
| 8/19/2019 7:40  | 30.83865781 | 34.77533811 | 32.81172307 | 31.72585098 | 30.39201399 | 29.37830118 |
| 8/19/2019 7:50  | 31.00074482 | 34.77506733 | 32.8127245  | 31.72691297 | 30.39311483 | 29.37941026 |
| 8/19/2019 8:00  | 31.40931026 | 34.77479631 | 32.81372449 | 31.72797373 | 30.39421473 | 29.38051865 |
| 8/19/2019 8:10  | 31.65020086 | 34.77452503 | 32.81472304 | 31.72903326 | 30.3953137  | 29.38162633 |
| 8/19/2019 8:20  | 31.64946551 | 34.77425349 | 32.81572015 | 31.73009157 | 30.39641174 | 29.38273331 |
| 8/19/2019 8:30  | 31.86924837 | 34.77398169 | 32.81671582 | 31.73114865 | 30.39750885 | 29.38383958 |
| 8/19/2019 8:40  | 32.05884192 | 34.77370963 | 32.81771005 | 31.73220451 | 30.39860502 | 29.38494516 |
| 8/19/2019 8:50  | 32.21159475 | 34.77343731 | 32.81870284 | 31.73325914 | 30.39970026 | 29.38605003 |
| 8/19/2019 9:00  | 32.21533951 | 34.77316473 | 32.8196942  | 31.73431255 | 30.40079456 | 29.3871542  |
| 8/19/2019 9:10  | 32.70010255 | 34.77289189 | 32.82068413 | 31.73536474 | 30.40188794 | 29.38825767 |
| 8/19/2019 9:20  | 32.96682896 | 34.77261877 | 32.82167263 | 31.73641571 | 30.40298038 | 29.38936043 |
| 8/19/2019 9:30  | 33.24576431 | 34.77234539 | 32.82265969 | 31.73746545 | 30.40407189 | 29.39046249 |
| 8/19/2019 9:40  | 33.45756838 | 34.77207174 | 32.82364533 | 31.73851398 | 30.40516247 | 29.39156385 |
| 8/19/2019 9:50  | 33.7169562  | 34.77179783 | 32.82462954 | 31.73956129 | 30.40625212 | 29.3926645  |
| 8/19/2019 10:00 | 33.88682062 | 34.77152364 | 32.82561232 | 31.74060739 | 30.40734084 | 29.39376444 |
| 8/19/2019 10:10 | 34.00800465 | 34.77124918 | 32.82659368 | 31.74165226 | 30.40842862 | 29.39486369 |
| 8/19/2019 10:20 | 34.4764423  | 34.77097445 | 32.82757362 | 31.74269592 | 30.40951548 | 29.39596222 |
| 8/19/2019 10:30 | 34.68707491 | 34.77069944 | 32.82855213 | 31.74373837 | 30.4106014  | 29.39706006 |
| 8/19/2019 10:40 | 35.07151955 | 34.77042416 | 32.82952923 | 31.7447796  | 30.4116864  | 29.39815718 |
| 8/19/2019 10:50 | 34.14152836 | 34.77014861 | 32.8305049  | 31.74581962 | 30.41277046 | 29.39925361 |
| 8/19/2019 11:00 | 33.75911714 | 34.76987278 | 32.83147916 | 31.74685843 | 30.4138536  | 29.40034932 |
| 8/19/2019 11:10 | 34.67473904 | 34.76959667 | 32.832452   | 31.74789602 | 30.41493581 | 29.40144433 |
| 8/19/2019 11:20 | 35.3490648  | 34.76932029 | 32.83342343 | 31.74893241 | 30.41601708 | 29.40253863 |
| 8/19/2019 11:30 | 34.50465699 | 34.76904362 | 32.83439345 | 31.74996759 | 30.41709743 | 29.40363223 |
| 8/19/2019 11:40 | 35.18706858 | 34.76876669 | 32.83536206 | 31.75100155 | 30.41817685 | 29.40472512 |
| 8/19/2019 11:50 | 34.91401344 | 34.76848947 | 32.83632925 | 31.75203431 | 30.41925534 | 29.4058173  |
| 8/19/2019 12:00 | 35.51365843 | 34.76821198 | 32.83729504 | 31.75306587 | 30.4203329  | 29.40690878 |
| 8/19/2019 12:10 | 35.15076947 | 34.7679342  | 32.83825942 | 31.75409622 | 30.42140954 | 29.40799955 |
| 8/19/2019 12:20 | 36.09946351 | 34.76765615 | 32.83922239 | 31.75512536 | 30.42248524 | 29.40908961 |
| 8/19/2019 12:30 | 37.02530135 | 34.76737783 | 32.84018396 | 31.7561533  | 30.42356002 | 29.41017896 |
| 8/19/2019 12:40 | 36.87911553 | 34.76709922 | 32.84114413 | 31.75718004 | 30.42463387 | 29.4112676  |
| 8/19/2019 12:50 | 36.46616357 | 34.76682034 | 32.8421029  | 31.75820557 | 30.4257068  | 29.41235554 |
| 8/19/2019 13:00 | 36.86459425 | 34.76654118 | 32.84306027 | 31.7592299  | 30.4267788  | 29.41344277 |
| 8/19/2019 13:10 | 36.90274096 | 34.76626175 | 32.84401624 | 31.76025304 | 30.42784987 | 29.41452929 |
| 8/19/2019 13:20 | 37.01115066 | 34.76598204 | 32.84497081 | 31.76127497 | 30.42892002 | 29.4156151  |
| 8/19/2019 13:30 | 36.79672118 | 34.76570206 | 32.84592399 | 31.76229571 | 30.42998924 | 29.4167002  |

|                 |             |             |             |             |             |             |
|-----------------|-------------|-------------|-------------|-------------|-------------|-------------|
| 8/19/2019 13:40 | 35.9015723  | 34.7654218  | 32.84687577 | 31.76331524 | 30.43105753 | 29.41778459 |
| 8/19/2019 13:50 | 37.29645905 | 34.76514127 | 32.84782616 | 31.76433359 | 30.4321249  | 29.41886827 |
| 8/19/2019 14:00 | 36.67661588 | 34.76486047 | 32.84877516 | 31.76535073 | 30.43319134 | 29.41995124 |
| 8/19/2019 14:10 | 38.25077267 | 34.7645794  | 32.84972277 | 31.76636668 | 30.43425686 | 29.4210335  |
| 8/19/2019 14:20 | 37.58261814 | 34.76429807 | 32.85066899 | 31.76738144 | 30.43532145 | 29.42211506 |
| 8/19/2019 14:30 | 37.93301631 | 34.76401647 | 32.85161383 | 31.768395   | 30.43638513 | 29.4231959  |
| 8/19/2019 14:40 | 37.8672189  | 34.7637346  | 32.85255728 | 31.76940738 | 30.43744787 | 29.42427603 |
| 8/19/2019 14:50 | 37.4645504  | 34.76345247 | 32.85349935 | 31.77041856 | 30.43850969 | 29.42535545 |
| 8/19/2019 15:00 | 36.76800616 | 34.76317008 | 32.85444003 | 31.77142855 | 30.43957059 | 29.42643416 |
| 8/19/2019 15:10 | 37.7751831  | 34.76288743 | 32.85537934 | 31.77243735 | 30.44063057 | 29.42751216 |
| 8/19/2019 15:20 | 38.77071195 | 34.76260453 | 32.85631726 | 31.77344497 | 30.44168962 | 29.42858945 |
| 8/19/2019 15:30 | 38.40875708 | 34.76232137 | 32.85725381 | 31.77445139 | 30.44274775 | 29.42966603 |
| 8/19/2019 15:40 | 38.20688804 | 34.76203796 | 32.85818898 | 31.77545663 | 30.44380496 | 29.43074189 |
| 8/19/2019 15:50 | 38.06031449 | 34.7617543  | 32.85912277 | 31.77646069 | 30.44486124 | 29.43181704 |
| 8/19/2019 16:00 | 37.93338326 | 34.76147039 | 32.8600552  | 31.77746356 | 30.44591661 | 29.43289149 |
| 8/19/2019 16:10 | 37.88021231 | 34.76118625 | 32.86098625 | 31.77846524 | 30.44697105 | 29.43396521 |
| 8/19/2019 16:20 | 37.78159378 | 34.76090186 | 32.86191592 | 31.77946575 | 30.44802457 | 29.43503823 |
| 8/19/2019 16:30 | 37.56143126 | 34.76061723 | 32.86284423 | 31.78046507 | 30.44907717 | 29.43611054 |
| 8/19/2019 16:40 | 37.69034705 | 34.76033237 | 32.86377118 | 31.78146321 | 30.45012885 | 29.43718213 |
| 8/19/2019 16:50 | 37.35337565 | 34.76004728 | 32.86469675 | 31.78246017 | 30.45117961 | 29.43825301 |
| 8/19/2019 17:00 | 37.39796446 | 34.75976196 | 32.86562096 | 31.78345595 | 30.45222945 | 29.43932318 |
| 8/19/2019 17:10 | 36.57988294 | 34.75947642 | 32.86654381 | 31.78445056 | 30.45327837 | 29.44039263 |
| 8/19/2019 17:20 | 37.11119561 | 34.75919065 | 32.86746529 | 31.78544398 | 30.45432637 | 29.44146137 |
| 8/19/2019 17:30 | 36.97847303 | 34.75890467 | 32.86838542 | 31.78643624 | 30.45537345 | 29.4425294  |
| 8/19/2019 17:40 | 36.75912525 | 34.75861848 | 32.86930418 | 31.78742731 | 30.45641962 | 29.44359671 |
| 8/19/2019 17:50 | 36.55424687 | 34.75833207 | 32.87022159 | 31.78841721 | 30.45746486 | 29.44466331 |
| 8/19/2019 18:00 | 36.47348136 | 34.75804546 | 32.87113764 | 31.78940594 | 30.45850919 | 29.4457292  |
| 8/19/2019 18:10 | 35.95919083 | 34.75775864 | 32.87205234 | 31.7903935  | 30.45955259 | 29.44679437 |
| 8/19/2019 18:20 | 35.97308148 | 34.75747162 | 32.87296568 | 31.79137988 | 30.46059509 | 29.44785883 |
| 8/19/2019 18:30 | 36.02258097 | 34.75718441 | 32.87387767 | 31.79236509 | 30.46163666 | 29.44892258 |
| 8/19/2019 18:40 | 35.80255748 | 34.756897   | 32.87478831 | 31.79334914 | 30.46267732 | 29.44998561 |
| 8/19/2019 18:50 | 35.50766827 | 34.75660941 | 32.8756976  | 31.79433201 | 30.46371706 | 29.45104792 |
| 8/19/2019 19:00 | 35.25495425 | 34.75632163 | 32.87660555 | 31.79531372 | 30.46475588 | 29.45210952 |
| 8/19/2019 19:10 | 35.14063677 | 34.75603367 | 32.87751214 | 31.79629426 | 30.46579379 | 29.45317041 |
| 8/19/2019 19:20 | 34.96116433 | 34.75574553 | 32.8784174  | 31.79727363 | 30.46683078 | 29.45423058 |
| 8/19/2019 19:30 | 34.77503715 | 34.75545722 | 32.8793213  | 31.79825184 | 30.46786686 | 29.45529004 |
| 8/19/2019 19:40 | 34.52920859 | 34.75516874 | 32.88022387 | 31.79922889 | 30.46890202 | 29.45634878 |
| 8/19/2019 19:50 | 34.35097133 | 34.75488009 | 32.8811251  | 31.80020477 | 30.46993626 | 29.45740681 |
| 8/19/2019 20:00 | 34.27662161 | 34.75459127 | 32.88202499 | 31.80117949 | 30.4709696  | 29.45846412 |
| 8/19/2019 20:10 | 34.21358639 | 34.7543023  | 32.88292353 | 31.80215305 | 30.47200202 | 29.45952072 |
| 8/19/2019 20:20 | 34.47677758 | 34.75401317 | 32.88382075 | 31.80312544 | 30.47303352 | 29.4605766  |
| 8/19/2019 20:30 | 34.48498414 | 34.75372389 | 32.88471663 | 31.80409668 | 30.47406411 | 29.46163176 |
| 8/19/2019 20:40 | 34.05568885 | 34.75343445 | 32.88561117 | 31.80506676 | 30.47509379 | 29.46268621 |
| 8/19/2019 20:50 | 33.93410991 | 34.75314487 | 32.88650438 | 31.80603569 | 30.47612256 | 29.46373994 |
| 8/19/2019 21:00 | 33.84193595 | 34.75285515 | 32.88739627 | 31.80700345 | 30.47715041 | 29.46479296 |

|                 |             |             |             |             |             |             |
|-----------------|-------------|-------------|-------------|-------------|-------------|-------------|
| 8/19/2019 21:10 | 33.56709174 | 34.75256529 | 32.88828682 | 31.80797006 | 30.47817735 | 29.46584526 |
| 8/19/2019 21:20 | 33.46138908 | 34.75227529 | 32.88917604 | 31.80893552 | 30.47920338 | 29.46689685 |
| 8/19/2019 21:30 | 33.41914657 | 34.75198516 | 32.89006394 | 31.80989982 | 30.4802285  | 29.46794772 |
| 8/19/2019 21:40 | 33.52630336 | 34.7516949  | 32.89095052 | 31.81086297 | 30.48125271 | 29.46899787 |
| 8/19/2019 21:50 | 33.65725668 | 34.75140451 | 32.89183577 | 31.81182497 | 30.482276   | 29.47004731 |
| 8/19/2019 22:00 | 33.89443779 | 34.75111399 | 32.8927197  | 31.81278581 | 30.48329839 | 29.47109603 |
| 8/19/2019 22:10 | 33.35322917 | 34.75082335 | 32.8936023  | 31.81374551 | 30.48431987 | 29.47214403 |
| 8/19/2019 22:20 | 33.23300528 | 34.7505326  | 32.89448359 | 31.81470406 | 30.48534043 | 29.47319132 |
| 8/19/2019 22:30 | 33.18626353 | 34.75024173 | 32.89536356 | 31.81566146 | 30.48636009 | 29.47423789 |
| 8/19/2019 22:40 | 32.76746635 | 34.74995074 | 32.89624222 | 31.81661771 | 30.48737884 | 29.47528374 |
| 8/19/2019 22:50 | 33.13473572 | 34.74965965 | 32.89711956 | 31.81757281 | 30.48839668 | 29.47632887 |
| 8/19/2019 23:00 | 33.19865166 | 34.74936844 | 32.89799558 | 31.81852677 | 30.48941361 | 29.47737329 |
| 8/19/2019 23:10 | 33.63724376 | 34.74907713 | 32.8988703  | 31.81947959 | 30.49042963 | 29.47841699 |
| 8/19/2019 23:20 | 33.19979568 | 34.74878572 | 32.8997437  | 31.82043126 | 30.49144475 | 29.47945998 |
| 8/19/2019 23:30 | 33.12620453 | 34.74849421 | 32.90061579 | 31.82138179 | 30.49245895 | 29.48050225 |
| 8/19/2019 23:40 | 32.34573819 | 34.74820259 | 32.90148658 | 31.82233118 | 30.49347226 | 29.48154379 |
| 8/19/2019 23:50 | 32.17556336 | 34.74791089 | 32.90235606 | 31.82327943 | 30.49448465 | 29.48258463 |

| Tiempo         | PG<br>Temperatura<br>Sólido 6 m [°C] | PG<br>Temperatura<br>Sólido 7 m [°C] | PG<br>Temperatura<br>Sólido 8 m [°C] | PG<br>Temperatura<br>Sólido 9 m [°C] | PG<br>Temperatura<br>Sólido 10 m<br>[°C] |
|----------------|--------------------------------------|--------------------------------------|--------------------------------------|--------------------------------------|--|
| 8/19/2019 0:00 | 28.96559841                          | 27.23435818                          | 26.70213585                          | 26.2829776                           | 26.20430006                              |
| 8/19/2019 0:10 | 28.9667071                           | 27.23497972                          | 26.70250342                          | 26.28308053                          | 26.20431392                              |
| 8/19/2019 0:20 | 28.96781518                          | 27.23560099                          | 26.70287084                          | 26.28318347                          | 26.20432782                              |
| 8/19/2019 0:30 | 28.96892267                          | 27.23622199                          | 26.70323812                          | 26.28328641                          | 26.20434173                              |
| 8/19/2019 0:40 | 28.97002955                          | 27.23684271                          | 26.70360526                          | 26.28338936                          | 26.20435567                              |
| 8/19/2019 0:50 | 28.97113582                          | 27.23746316                          | 26.70397226                          | 26.28349231                          | 26.20436963                              |
| 8/19/2019 1:00 | 28.9722415                           | 27.23808333                          | 26.70433912                          | 26.28359527                          | 26.20438361                              |
| 8/19/2019 1:10 | 28.97334657                          | 27.23870324                          | 26.70470583                          | 26.28369823                          | 26.20439762                              |
| 8/19/2019 1:20 | 28.97445103                          | 27.23932287                          | 26.70507241                          | 26.28380119                          | 26.20441165                              |
| 8/19/2019 1:30 | 28.97555489                          | 27.23994223                          | 26.70543884                          | 26.28390416                          | 26.2044257                               |
| 8/19/2019 1:40 | 28.97665815                          | 27.24056132                          | 26.70580513                          | 26.28400713                          | 26.20443977                              |
| 8/19/2019 1:50 | 28.9777608                           | 27.24118014                          | 26.70617128                          | 26.28411011                          | 26.20445387                              |
| 8/19/2019 2:00 | 28.97886284                          | 27.24179868                          | 26.70653729                          | 26.28421309                          | 26.20446799                              |
| 8/19/2019 2:10 | 28.97996428                          | 27.24241695                          | 26.70690316                          | 26.28431608                          | 26.20448214                              |
| 8/19/2019 2:20 | 28.98106511                          | 27.24303495                          | 26.70726889                          | 26.28441907                          | 26.2044963                               |
| 8/19/2019 2:30 | 28.98216533                          | 27.24365268                          | 26.70763448                          | 26.28452206                          | 26.20451049                              |
| 8/19/2019 2:40 | 28.98326495                          | 27.24427014                          | 26.70799993                          | 26.28462506                          | 26.2045247                               |
| 8/19/2019 2:50 | 28.98436395                          | 27.24488732                          | 26.70836524                          | 26.28472806                          | 26.20453894                              |
| 8/19/2019 3:00 | 28.98546235                          | 27.24550423                          | 26.70873041                          | 26.28483106                          | 26.20455319                              |
| 8/19/2019 3:10 | 28.98656014                          | 27.24612088                          | 26.70909544                          | 26.28493407                          | 26.20456748                              |
| 8/19/2019 3:20 | 28.98765731                          | 27.24673725                          | 26.70946033                          | 26.28503709                          | 26.20458178                              |
| 8/19/2019 3:30 | 28.98875388                          | 27.24735335                          | 26.70982508                          | 26.28514011                          | 26.2045961                               |
| 8/19/2019 3:40 | 28.98984984                          | 27.24796917                          | 26.7101897                           | 26.28524313                          | 26.20461045                              |
| 8/19/2019 3:50 | 28.99094519                          | 27.24858473                          | 26.71055417                          | 26.28534615                          | 26.20462483                              |
| 8/19/2019 4:00 | 28.99203992                          | 27.24920002                          | 26.7109185                           | 26.28544918                          | 26.20463922                              |
| 8/19/2019 4:10 | 28.99313405                          | 27.24981503                          | 26.71128269                          | 26.28555222                          | 26.20465364                              |
| 8/19/2019 4:20 | 28.99422756                          | 27.25042977                          | 26.71164675                          | 26.28565525                          | 26.20466808                              |
| 8/19/2019 4:30 | 28.99532046                          | 27.25104424                          | 26.71201066                          | 26.2857583                           | 26.20468254                              |
| 8/19/2019 4:40 | 28.99641274                          | 27.25165845                          | 26.71237444                          | 26.28586134                          | 26.20469703                              |
| 8/19/2019 4:50 | 28.99750442                          | 27.25227238                          | 26.71273808                          | 26.28596439                          | 26.20471154                              |
| 8/19/2019 5:00 | 28.99859548                          | 27.25288604                          | 26.71310158                          | 26.28606745                          | 26.20472607                              |
| 8/19/2019 5:10 | 28.99968592                          | 27.25349942                          | 26.71346494                          | 26.2861705                           | 26.20474062                              |
| 8/19/2019 5:20 | 29.00077575                          | 27.25411254                          | 26.71382817                          | 26.28627356                          | 26.2047552                               |
| 8/19/2019 5:30 | 29.00186497                          | 27.25472539                          | 26.71419125                          | 26.28637663                          | 26.2047698                               |
| 8/19/2019 5:40 | 29.00295357                          | 27.25533797                          | 26.7145542                           | 26.2864797                           | 26.20478442                              |
| 8/19/2019 5:50 | 29.00404155                          | 27.25595027                          | 26.71491701                          | 26.28658277                          | 26.20479907                              |
| 8/19/2019 6:00 | 29.00512892                          | 27.25656231                          | 26.71527968                          | 26.28668585                          | 26.20481374                              |
| 8/19/2019 6:10 | 29.00621567                          | 27.25717408                          | 26.71564221                          | 26.28678893                          | 26.20482843                              |
| 8/19/2019 6:20 | 29.0073018                           | 27.25778557                          | 26.71600461                          | 26.28689202                          | 26.20484314                              |
| 8/19/2019 6:30 | 29.00838732                          | 27.25839679                          | 26.71636686                          | 26.2869951                           | 26.20485788                              |
| 8/19/2019 6:40 | 29.00947222                          | 27.25900775                          | 26.71672899                          | 26.2870982                           | 26.20487264                              |

|                 |             |             |             |             |             |
|-----------------|-------------|-------------|-------------|-------------|-------------|
| 8/19/2019 6:50  | 29.0105565  | 27.25961843 | 26.71709097 | 26.28720129 | 26.20488742 |
| 8/19/2019 7:00  | 29.01164017 | 27.26022885 | 26.71745281 | 26.28730439 | 26.20490223 |
| 8/19/2019 7:10  | 29.01272321 | 27.26083899 | 26.71781452 | 26.2874075  | 26.20491706 |
| 8/19/2019 7:20  | 29.01380564 | 27.26144886 | 26.71817609 | 26.2875106  | 26.20493191 |
| 8/19/2019 7:30  | 29.01488744 | 27.26205847 | 26.71853753 | 26.28761372 | 26.20494678 |
| 8/19/2019 7:40  | 29.01596863 | 27.2626678  | 26.71889883 | 26.28771683 | 26.20496168 |
| 8/19/2019 7:50  | 29.01704919 | 27.26327687 | 26.71925999 | 26.28781995 | 26.2049766  |
| 8/19/2019 8:00  | 29.01812914 | 27.26388566 | 26.71962101 | 26.28792307 | 26.20499154 |
| 8/19/2019 8:10  | 29.01920846 | 27.26449418 | 26.7199819  | 26.2880262  | 26.20500651 |
| 8/19/2019 8:20  | 29.02028716 | 27.26510244 | 26.72034265 | 26.28812933 | 26.2050215  |
| 8/19/2019 8:30  | 29.02136525 | 27.26571042 | 26.72070327 | 26.28823246 | 26.20503651 |
| 8/19/2019 8:40  | 29.02244271 | 27.26631814 | 26.72106374 | 26.2883356  | 26.20505154 |
| 8/19/2019 8:50  | 29.02351954 | 27.26692558 | 26.72142409 | 26.28843874 | 26.2050666  |
| 8/19/2019 9:00  | 29.02459576 | 27.26753275 | 26.72178429 | 26.28854189 | 26.20508168 |
| 8/19/2019 9:10  | 29.02567135 | 27.26813966 | 26.72214436 | 26.28864504 | 26.20509678 |
| 8/19/2019 9:20  | 29.02674632 | 27.2687463  | 26.7225043  | 26.28874819 | 26.2051119  |
| 8/19/2019 9:30  | 29.02782066 | 27.26935266 | 26.72286409 | 26.28885135 | 26.20512705 |
| 8/19/2019 9:40  | 29.02889438 | 27.26995876 | 26.72322376 | 26.2889545  | 26.20514222 |
| 8/19/2019 9:50  | 29.02996747 | 27.27056458 | 26.72358328 | 26.28905767 | 26.20515742 |
| 8/19/2019 10:00 | 29.03103995 | 27.27117014 | 26.72394267 | 26.28916083 | 26.20517263 |
| 8/19/2019 10:10 | 29.03211179 | 27.27177543 | 26.72430193 | 26.28926401 | 26.20518787 |
| 8/19/2019 10:20 | 29.03318301 | 27.27238045 | 26.72466105 | 26.28936718 | 26.20520313 |
| 8/19/2019 10:30 | 29.03425361 | 27.2729852  | 26.72502003 | 26.28947036 | 26.20521842 |
| 8/19/2019 10:40 | 29.03532357 | 27.27358968 | 26.72537888 | 26.28957354 | 26.20523372 |
| 8/19/2019 10:50 | 29.03639292 | 27.27419389 | 26.7257376  | 26.28967672 | 26.20524905 |
| 8/19/2019 11:00 | 29.03746163 | 27.27479783 | 26.72609617 | 26.28977991 | 26.20526441 |
| 8/19/2019 11:10 | 29.03852972 | 27.2754015  | 26.72645462 | 26.2898831  | 26.20527978 |
| 8/19/2019 11:20 | 29.03959718 | 27.2760049  | 26.72681293 | 26.2899863  | 26.20529518 |
| 8/19/2019 11:30 | 29.04066402 | 27.27660803 | 26.7271711  | 26.2900895  | 26.2053106  |
| 8/19/2019 11:40 | 29.04173022 | 27.2772109  | 26.72752914 | 26.2901927  | 26.20532605 |
| 8/19/2019 11:50 | 29.0427958  | 27.27781349 | 26.72788704 | 26.29029591 | 26.20534151 |
| 8/19/2019 12:00 | 29.04386075 | 27.27841582 | 26.72824481 | 26.29039911 | 26.205357   |
| 8/19/2019 12:10 | 29.04492507 | 27.27901787 | 26.72860245 | 26.29050233 | 26.20537252 |
| 8/19/2019 12:20 | 29.04598876 | 27.27961966 | 26.72895995 | 26.29060554 | 26.20538805 |
| 8/19/2019 12:30 | 29.04705182 | 27.28022118 | 26.72931731 | 26.29070876 | 26.20540361 |
| 8/19/2019 12:40 | 29.04811425 | 27.28082243 | 26.72967455 | 26.29081199 | 26.20541919 |
| 8/19/2019 12:50 | 29.04917606 | 27.28142341 | 26.73003164 | 26.29091521 | 26.20543479 |
| 8/19/2019 13:00 | 29.05023723 | 27.28202412 | 26.73038861 | 26.29101844 | 26.20545042 |
| 8/19/2019 13:10 | 29.05129777 | 27.28262456 | 26.73074543 | 26.29112168 | 26.20546607 |
| 8/19/2019 13:20 | 29.05235768 | 27.28322473 | 26.73110213 | 26.29122491 | 26.20548174 |
| 8/19/2019 13:30 | 29.05341696 | 27.28382464 | 26.73145869 | 26.29132815 | 26.20549744 |
| 8/19/2019 13:40 | 29.0544756  | 27.28442427 | 26.73181512 | 26.2914314  | 26.20551315 |
| 8/19/2019 13:50 | 29.05553362 | 27.28502364 | 26.73217141 | 26.29153464 | 26.20552889 |
| 8/19/2019 14:00 | 29.056591   | 27.28562273 | 26.73252757 | 26.29163789 | 26.20554466 |
| 8/19/2019 14:10 | 29.05764776 | 27.28622156 | 26.73288359 | 26.29174115 | 26.20556044 |

|                 |             |             |             |             |             |
|-----------------|-------------|-------------|-------------|-------------|-------------|
| 8/19/2019 14:20 | 29.05870387 | 27.28682012 | 26.73323949 | 26.2918444  | 26.20557625 |
| 8/19/2019 14:30 | 29.05975936 | 27.28741841 | 26.73359524 | 26.29194766 | 26.20559208 |
| 8/19/2019 14:40 | 29.06081421 | 27.28801643 | 26.73395087 | 26.29205092 | 26.20560794 |
| 8/19/2019 14:50 | 29.06186843 | 27.28861418 | 26.73430636 | 26.29215419 | 26.20562381 |
| 8/19/2019 15:00 | 29.06292202 | 27.28921166 | 26.73466172 | 26.29225746 | 26.20563971 |
| 8/19/2019 15:10 | 29.06397497 | 27.28980888 | 26.73501694 | 26.29236073 | 26.20565563 |
| 8/19/2019 15:20 | 29.06502729 | 27.29040582 | 26.73537203 | 26.29246401 | 26.20567158 |
| 8/19/2019 15:30 | 29.06607897 | 27.2910025  | 26.73572699 | 26.29256729 | 26.20568755 |
| 8/19/2019 15:40 | 29.06713002 | 27.29159891 | 26.73608181 | 26.29267057 | 26.20570354 |
| 8/19/2019 15:50 | 29.06818043 | 27.29219504 | 26.7364365  | 26.29277386 | 26.20571955 |
| 8/19/2019 16:00 | 29.06923021 | 27.29279091 | 26.73679106 | 26.29287714 | 26.20573559 |
| 8/19/2019 16:10 | 29.07027935 | 27.29338652 | 26.73714549 | 26.29298044 | 26.20575164 |
| 8/19/2019 16:20 | 29.07132786 | 27.29398185 | 26.73749978 | 26.29308373 | 26.20576773 |
| 8/19/2019 16:30 | 29.07237573 | 27.29457691 | 26.73785394 | 26.29318703 | 26.20578383 |
| 8/19/2019 16:40 | 29.07342296 | 27.29517171 | 26.73820796 | 26.29329033 | 26.20579996 |
| 8/19/2019 16:50 | 29.07446956 | 27.29576623 | 26.73856186 | 26.29339363 | 26.20581611 |
| 8/19/2019 17:00 | 29.07551552 | 27.29636049 | 26.73891562 | 26.29349694 | 26.20583228 |
| 8/19/2019 17:10 | 29.07656085 | 27.29695448 | 26.73926925 | 26.29360025 | 26.20584847 |
| 8/19/2019 17:20 | 29.07760554 | 27.2975482  | 26.73962274 | 26.29370357 | 26.20586469 |
| 8/19/2019 17:30 | 29.07864959 | 27.29814165 | 26.7399761  | 26.29380688 | 26.20588093 |
| 8/19/2019 17:40 | 29.079693   | 27.29873483 | 26.74032933 | 26.2939102  | 26.20589719 |
| 8/19/2019 17:50 | 29.08073577 | 27.29932774 | 26.74068243 | 26.29401352 | 26.20591348 |
| 8/19/2019 18:00 | 29.08177791 | 27.29992038 | 26.7410354  | 26.29411685 | 26.20592979 |
| 8/19/2019 18:10 | 29.08281941 | 27.30051276 | 26.74138823 | 26.29422018 | 26.20594612 |
| 8/19/2019 18:20 | 29.08386027 | 27.30110487 | 26.74174093 | 26.29432351 | 26.20596247 |
| 8/19/2019 18:30 | 29.08490049 | 27.3016967  | 26.7420935  | 26.29442684 | 26.20597885 |
| 8/19/2019 18:40 | 29.08594007 | 27.30228827 | 26.74244594 | 26.29453018 | 26.20599525 |
| 8/19/2019 18:50 | 29.08697901 | 27.30287957 | 26.74279824 | 26.29463352 | 26.20601167 |
| 8/19/2019 19:00 | 29.08801731 | 27.3034706  | 26.74315041 | 26.29473687 | 26.20602812 |
| 8/19/2019 19:10 | 29.08905497 | 27.30406137 | 26.74350245 | 26.29484021 | 26.20604459 |
| 8/19/2019 19:20 | 29.090092   | 27.30465186 | 26.74385436 | 26.29494356 | 26.20606108 |
| 8/19/2019 19:30 | 29.09112838 | 27.30524209 | 26.74420614 | 26.29504691 | 26.20607759 |
| 8/19/2019 19:40 | 29.09216412 | 27.30583204 | 26.74455778 | 26.29515027 | 26.20609412 |
| 8/19/2019 19:50 | 29.09319922 | 27.30642173 | 26.74490929 | 26.29525362 | 26.20611068 |
| 8/19/2019 20:00 | 29.09423369 | 27.30701115 | 26.74526068 | 26.29535698 | 26.20612726 |
| 8/19/2019 20:10 | 29.09526751 | 27.3076003  | 26.74561192 | 26.29546035 | 26.20614387 |
| 8/19/2019 20:20 | 29.09630069 | 27.30818918 | 26.74596304 | 26.29556371 | 26.20616049 |
| 8/19/2019 20:30 | 29.09733322 | 27.30877779 | 26.74631403 | 26.29566708 | 26.20617714 |
| 8/19/2019 20:40 | 29.09836512 | 27.30936614 | 26.74666488 | 26.29577045 | 26.20619381 |
| 8/19/2019 20:50 | 29.09939637 | 27.30995421 | 26.7470156  | 26.29587383 | 26.20621051 |
| 8/19/2019 21:00 | 29.10042699 | 27.31054202 | 26.74736619 | 26.29597721 | 26.20622722 |
| 8/19/2019 21:10 | 29.10145696 | 27.31112955 | 26.74771665 | 26.29608059 | 26.20624396 |
| 8/19/2019 21:20 | 29.10248628 | 27.31171682 | 26.74806698 | 26.29618397 | 26.20626073 |
| 8/19/2019 21:30 | 29.10351497 | 27.31230382 | 26.74841717 | 26.29628735 | 26.20627751 |
| 8/19/2019 21:40 | 29.10454301 | 27.31289055 | 26.74876724 | 26.29639074 | 26.20629432 |

|                 |             |             |             |             |             |
|-----------------|-------------|-------------|-------------|-------------|-------------|
| 8/19/2019 21:50 | 29.10557041 | 27.31347701 | 26.74911717 | 26.29649413 | 26.20631115 |
| 8/19/2019 22:00 | 29.10659717 | 27.3140632  | 26.74946697 | 26.29659752 | 26.206328   |
| 8/19/2019 22:10 | 29.10762328 | 27.31464913 | 26.74981664 | 26.29670092 | 26.20634488 |
| 8/19/2019 22:20 | 29.10864875 | 27.31523478 | 26.75016618 | 26.29680432 | 26.20636178 |
| 8/19/2019 22:30 | 29.10967357 | 27.31582017 | 26.75051559 | 26.29690772 | 26.2063787  |
| 8/19/2019 22:40 | 29.11069776 | 27.31640529 | 26.75086487 | 26.29701112 | 26.20639564 |
| 8/19/2019 22:50 | 29.11172129 | 27.31699013 | 26.75121401 | 26.29711453 | 26.20641261 |
| 8/19/2019 23:00 | 29.11274419 | 27.31757471 | 26.75156303 | 26.29721794 | 26.2064296  |
| 8/19/2019 23:10 | 29.11376644 | 27.31815902 | 26.75191191 | 26.29732135 | 26.20644661 |
| 8/19/2019 23:20 | 29.11478804 | 27.31874306 | 26.75226067 | 26.29742476 | 26.20646364 |
| 8/19/2019 23:30 | 29.115809   | 27.31932684 | 26.75260929 | 26.29752818 | 26.2064807  |
| 8/19/2019 23:40 | 29.11682932 | 27.31991034 | 26.75295778 | 26.2976316  | 26.20649778 |
| 8/19/2019 23:50 | 29.11784899 | 27.32049358 | 26.75330614 | 26.29773502 | 26.20651488 |

## APÉNDICE E

### Datos de la simulación del intercambiador en la capa 1-2

| Tiempo         | PG<br>Temperatura<br>Fluido Entrada<br>del<br>intercambiador<br>[°C] | PG<br>Temperatura<br>Fluido Salida<br>del<br>intercambiador<br>[°C] |
|----------------|--|---|
| 8/19/2019 0:00 | 30.45537857  | 32.95015489   |
| 8/19/2019 0:10 | 30.39073871  | 32.90117026   |
| 8/19/2019 0:20 | 30.27643995  | 32.84953312   |
| 8/19/2019 0:30 | 30.13728834  | 32.80039108   |
| 8/19/2019 0:40 | 30.04282129  | 32.74859597   |
| 8/19/2019 0:50 | 29.98810508  | 32.69984933   |
| 8/19/2019 1:00 | 29.97314276  | 32.64994788   |
| 8/19/2019 1:10 | 29.97807051  | 32.603389   |
| 8/19/2019 1:20 | 29.8936119   | 32.55715177   |
| 8/19/2019 1:30 | 29.80911691  | 32.51323431   |
| 8/19/2019 1:40 | 29.73951527  | 32.46852208   |
| 8/19/2019 1:50 | 29.7742201   | 32.4268788  |
| 8/19/2019 2:00 | 29.89837377  | 32.386495   |
| 8/19/2019 2:10 | 29.96794509  | 32.3514046  |
| 8/19/2019 2:20 | 29.97790268  | 32.31896141   |
| 8/19/2019 2:30 | 29.95306712  | 32.28903554   |
| 8/19/2019 2:40 | 29.90337725  | 32.25993387   |
| 8/19/2019 2:50 | 29.85863953  | 32.2331718  |
| 8/19/2019 3:00 | 29.85363396  | 32.20478557   |
| 8/19/2019 3:10 | 29.83871329  | 32.17876362   |
| 8/19/2019 3:20 | 29.79399076  | 32.15210112   |
| 8/19/2019 3:30 | 29.69958946  | 32.1277783  |
| 8/19/2019 3:40 | 29.64986095  | 32.09977524   |
| 8/19/2019 3:50 | 29.64981797  | 32.07408632   |
| 8/19/2019 4:00 | 29.64979686  | 32.04617265   |
| 8/19/2019 4:10 | 29.65971687  | 32.02107375   |
| 8/19/2019 4:20 | 29.64480864  | 31.99569284   |
| 8/19/2019 4:30 | 29.61002556  | 31.97337979   |
| 8/19/2019 4:40 | 29.50072826  | 31.94751041   |
| 8/19/2019 4:50 | 29.39139782  | 31.92387559   |
| 8/19/2019 5:00 | 29.36152481  | 31.89544165   |
| 8/19/2019 5:10 | 29.31678735  | 31.8778616  |
| 8/19/2019 5:20 | 29.2174136   | 31.85315247   |
| 8/19/2019 5:30 | 29.18258392  | 31.82428438   |
| 8/19/2019 5:40 | 29.13287792  | 31.79550674   |

|                 |             |             |
|-----------------|-------------|-------------|
| 8/19/2019 5:50  | 29.04840244 | 31.766492   |
| 8/19/2019 6:00  | 29.07814623 | 31.73792594 |
| 8/19/2019 6:10  | 29.08807277 | 31.70891992 |
| 8/19/2019 6:20  | 29.0830987  | 31.6821489  |
| 8/19/2019 6:30  | 29.15262188 | 31.65542068 |
| 8/19/2019 6:40  | 29.20231088 | 31.63261809 |
| 8/19/2019 6:50  | 29.32153365 | 31.61284419 |
| 8/19/2019 7:00  | 29.53515713 | 31.59625927 |
| 8/19/2019 7:10  | 29.78856528 | 31.5855782  |
| 8/19/2019 7:20  | 29.98240104 | 31.58189122 |
| 8/19/2019 7:30  | 30.11661841 | 31.58178434 |
| 8/19/2019 7:40  | 30.34517514 | 31.58833274 |
| 8/19/2019 7:50  | 30.71283763 | 31.59881701 |
| 8/19/2019 8:00  | 31.14513494 | 31.61908257 |
| 8/19/2019 8:10  | 31.41357615 | 31.64499071 |
| 8/19/2019 8:20  | 31.46344043 | 31.67797412 |
| 8/19/2019 8:30  | 31.60256818 | 31.71233121 |
| 8/19/2019 8:40  | 31.945368   | 31.75104827 |
| 8/19/2019 8:50  | 32.20386758 | 31.79038884 |
| 8/19/2019 9:00  | 32.35818563 | 31.83466213 |
| 8/19/2019 9:10  | 32.75048935 | 31.88030582 |
| 8/19/2019 9:20  | 33.21735043 | 31.93307898 |
| 8/19/2019 9:30  | 33.67454606 | 31.99083909 |
| 8/19/2019 9:40  | 34.05728557 | 32.05936092 |
| 8/19/2019 9:50  | 34.17678025 | 32.13204545 |
| 8/19/2019 10:00 | 34.45006622 | 32.2135865  |
| 8/19/2019 10:10 | 34.97173286 | 32.2966039  |
| 8/19/2019 10:20 | 35.3147114  | 32.38840767 |
| 8/19/2019 10:30 | 35.58313543 | 32.46673229 |
| 8/19/2019 10:40 | 36.01044502 | 32.55820338 |
| 8/19/2019 10:50 | 36.21929232 | 32.65055063 |
| 8/19/2019 11:00 | 36.39825861 | 32.74494852 |
| 8/19/2019 11:10 | 36.57720142 | 32.83714271 |
| 8/19/2019 11:20 | 36.80579668 | 32.93147386 |
| 8/19/2019 11:30 | 37.10393998 | 33.02193723 |
| 8/19/2019 11:40 | 37.14882784 | 33.11597047 |
| 8/19/2019 11:50 | 37.20852356 | 33.20277248 |
| 8/19/2019 12:00 | 37.53141689 | 33.04942703 |
| 8/19/2019 12:10 | 37.7203198  | 33.15580902 |
| 8/19/2019 12:20 | 37.97871451 | 32.95410701 |
| 8/19/2019 12:30 | 38.2768638  | 33.32377166 |
| 8/19/2019 12:40 | 38.63462313 | 33.08461752 |
| 8/19/2019 12:50 | 39.00234384 | 33.46372049 |
| 8/19/2019 13:00 | 39.32040815 | 33.03505405 |
| 8/19/2019 13:10 | 39.90663385 | 33.29284765 |

|                 |             |             |
|-----------------|-------------|-------------|
| 8/19/2019 13:20 | 40.18504533 | 33.43969765 |
| 8/19/2019 13:30 | 40.21506242 | 33.41689465 |
| 8/19/2019 13:40 | 40.23006865 | 33.61039706 |
| 8/19/2019 13:50 | 40.36919709 | 33.62522365 |
| 8/19/2019 14:00 | 40.53318698 | 33.79623164 |
| 8/19/2019 14:10 | 40.29990436 | 33.6612774  |
| 8/19/2019 14:20 | 40.43893727 | 33.77639668 |
| 8/19/2019 14:30 | 40.74195511 | 33.82593972 |
| 8/19/2019 14:40 | 40.53353813 | 33.95959297 |
| 8/19/2019 14:50 | 40.6477579  | 33.95027738 |
| 8/19/2019 15:00 | 40.93089927 | 34.09628312 |
| 8/19/2019 15:10 | 41.07506647 | 34.08287651 |
| 8/19/2019 15:20 | 41.10498107 | 34.10396724 |
| 8/19/2019 15:30 | 40.82198691 | 34.05719461 |
| 8/19/2019 15:40 | 40.414712   | 34.2404893  |
| 8/19/2019 15:50 | 40.13647574 | 34.18721508 |
| 8/19/2019 16:00 | 40.03207286 | 34.30289973 |
| 8/19/2019 16:10 | 39.96746529 | 34.2660078  |
| 8/19/2019 16:20 | 40.00717333 | 34.36002422 |
| 8/19/2019 16:30 | 40.10155532 | 34.32412261 |
| 8/19/2019 16:40 | 39.96255694 | 34.52194808 |
| 8/19/2019 16:50 | 39.74899107 | 34.5437414  |
| 8/19/2019 17:00 | 39.40128907 | 34.53646226 |
| 8/19/2019 17:10 | 38.76548415 | 34.40086222 |
| 8/19/2019 17:20 | 38.2040375  | 34.51615544 |
| 8/19/2019 17:30 | 37.97531657 | 34.4553457  |
| 8/19/2019 17:40 | 37.87086838 | 34.46463286 |
| 8/19/2019 17:50 | 37.66220133 | 34.56934823 |
| 8/19/2019 18:00 | 37.26479111 | 34.47091062 |
| 8/19/2019 18:10 | 36.73817722 | 34.45337767 |
| 8/19/2019 18:20 | 36.40020779 | 34.42733342 |
| 8/19/2019 18:30 | 36.28080884 | 34.38288429 |
| 8/19/2019 18:40 | 36.06217545 | 34.34842814 |
| 8/19/2019 18:50 | 35.6597673  | 34.30475326 |
| 8/19/2019 19:00 | 35.30688282 | 34.25964852 |
| 8/19/2019 19:10 | 35.06819957 | 34.21612505 |
| 8/19/2019 19:20 | 34.83467062 | 34.17805628 |
| 8/19/2019 19:30 | 34.58627564 | 34.12327937 |
| 8/19/2019 19:40 | 34.27825278 | 34.06932032 |
| 8/19/2019 19:50 | 33.98513337 | 34.01980383 |
| 8/19/2019 20:00 | 33.7861836  | 33.95716847 |
| 8/19/2019 20:10 | 33.64205633 | 33.90552763 |
| 8/19/2019 20:20 | 33.5226963  | 33.84294323 |
| 8/19/2019 20:30 | 33.36366402 | 33.79366648 |
| 8/19/2019 20:40 | 33.21950595 | 33.7339658  |

|                 |             |             |
|-----------------|-------------|-------------|
| 8/19/2019 20:50 | 33.13495579 | 33.81730202 |
| 8/19/2019 21:00 | 32.98090801 | 33.82488538 |
| 8/19/2019 21:10 | 32.82186263 | 33.71324637 |
| 8/19/2019 21:20 | 32.73234239 | 33.66951013 |
| 8/19/2019 21:30 | 32.59319016 | 33.62232772 |
| 8/19/2019 21:40 | 32.45898467 | 33.55581441 |
| 8/19/2019 21:50 | 32.39431108 | 33.51976286 |
| 8/19/2019 22:00 | 32.32966935 | 33.45674272 |
| 8/19/2019 22:10 | 32.2600672  | 33.42279778 |
| 8/19/2019 22:20 | 32.15073303 | 33.36062606 |
| 8/19/2019 22:30 | 31.96688343 | 33.32853312 |
| 8/19/2019 22:40 | 31.86246084 | 33.26987868 |
| 8/19/2019 22:50 | 31.82263322 | 33.23767916 |
| 8/19/2019 23:00 | 31.74310641 | 33.17916536 |
| 8/19/2019 23:10 | 31.6834351  | 33.14861629 |
| 8/19/2019 23:20 | 31.62873874 | 32.97000406 |
| 8/19/2019 23:30 | 31.52438078 | 32.91316538 |
| 8/19/2019 23:40 | 31.35046873 | 33.00656022 |
| 8/19/2019 23:50 | 31.16162127 | 33.02236026 |

## APÉNDICE F

### Datos de entrada a simulación de columna estratigráfica

| <b>Global Mesh Settings</b>                       |           |
|---|-----------|
| Automatic initial mesh                            | On        |
| Result resolution level                           | 3         |
| Advanced narrow channel refinement                | Off       |
| Refinement in solid region                        | Off       |
| <b>Geometry Resolution</b>                        |           |
| Evaluation of minimum gap size                    | Automatic |
| Evaluation of minimum wall thickness              | Manual    |
| Minimum wall thickness                            | 0.010 m   |
| <b>Computational Domain (Size)</b>                |           |
| X min   | -11.660 m |
| X max   | 1.196 m   |
| Y min   | 1.000 m   |
| Y max   | 16.580 m  |
| Z min   | 2.111 m   |
| Z max   | 14.890 m  |
| <b>Computational Domain (Boundary Conditions)</b> |           |
| 2D plane flow                                     | None      |
| At X min  | Default   |
| At X max  | Default   |
| At Y min  | Default   |
| At Y max  | Default   |
| At Z min  | Default   |
| At Z max  | Default   |

| <b>Physical Features</b>       |     |
|--------------------------------|-----|
| Heat conduction in solids      | On  |
| Heat conduction in solids only | Off |
| Radiation                      | On  |
| Time dependent                 | On  |
| Gravitational effects          | On  |
| Rotation                       | Off |

|  |  |
|--|--|
| Flow type  | Turbulent only                             |
| High Mach number flow                                | Off  |
| Relative humidity                                    | Table from time                            |
| Default roughness                                    | 0 micrometer                               |
| <b>Gravitational Settings</b>                        |  |
| X component  | 0 m/s^2                                    |
| Y component  | -9.81 m/s^2                                |
| Z component  | 0 m/s^2                                    |
| <b>Radiation</b>                                     |  |
| Default wall radiative surface                       | Absorbent wall                             |
| Radiation model                                      | DO   |
| <b>Environment radiation</b>                         |  |
| Radiative Temperature                                | Table from time                            |
| Spectrum   | Blackbody                                  |
| <b>Solar Radiation</b>                               |  |
| Intensity  | Table from time                            |
| <b>Solar Radiation (Direction)</b>                   |  |
| X component  | 0  |
| Y component  | -1   |
| Z component  | 0  |
| <b>Spectrum</b>                                      |  |
| Number of bands                                      | 1  |
| <b>Ambient Conditions (Thermodynamic parameters)</b> |  |
| Static Pressure                                      | Table from time                            |
| Temperature  | Table from time                            |
| <b>Ambient Conditions (Velocity parameters)</b>      |  |
| Velocity vector                                      |  |
| Velocity in X direction                              | Table from time                            |
| Velocity in Y direction                              | 0 m/s                                      |
| Velocity in Z direction                              | 0 m/s                                      |
| <b>Ambient Conditions (Solid parameters)</b>         |  |
| Default material                                     | capa 1                                     |
| Temperature of solid bodies                          | Table from time (Solo temperatura inicial) |
| Radiation Transparency                               | Opaque                                     |
| <b>Material Settings</b>                             |  |
| Fluids   | Air  |
| Solids   | capa 1<br>Capa 2<br>Capa 3                 |

|   |   |
|---|---|
|   | Capa 4<br>Capa 5<br>Capa 6<br>Capa 7<br>Capa 8<br>Capa 9<br>capa 10 |
| <b>Material Settings (Solid Materials)</b>  |   |
| capa 1 Solid Material 1<br>Components: Capa de 0-1 m-1@Capas<br>Solid substance: capa 1<br>Radiation Transparency: Opaque   |   |
| Capa 2 Solid Material 1<br>Components: Capa de 1-2 m-1@Capas<br>Solid substance: Capa 2<br>Radiation Transparency: Opaque   |   |
| Capa 3 Solid Material 1<br>Components: Capa de 2-3 m-1@Capas<br>Solid substance: Capa 3<br>Radiation Transparency: Opaque   |   |
| Capa 4 Solid Material 1<br>Components: Capa de 3-4 m-1@Capas<br>Solid substance: Capa 4<br>Radiation Transparency: Opaque   |   |
| Capa 5 Solid Material 1<br>Components: Capa de 4-5 m-1@Capas<br>Solid substance: Capa 5<br>Radiation Transparency: Opaque   |   |
| Capa 6 Solid Material 1<br>Components: Capa de 5-6 m-1@Capas<br>Solid substance: Capa 6<br>Radiation Transparency: Opaque   |   |
| Capa 7 Solid Material 1<br>Components: Capa de 6-7 m-1@Capas<br>Solid substance: Capa 7<br>Radiation Transparency: Opaque   |   |
| Capa 8 Solid Material 1<br>Components: Capa de 7-8 m-1@Capas<br>Solid substance: Capa 8<br>Radiation Transparency: Opaque   |   |
| Capa 9 Solid Material 1<br>Components: Capa de 8-9 m-1@Capas<br>Solid substance: Capa 9<br>Radiation Transparency: Opaque   |   |
| capa 10 Solid Material 1<br>Components: Capa de 9-10 m-1@Capas<br>Solid substance: capa 10<br>Radiation Transparency: Opaque  |   |
| <b>Material Settings (Local Initial Conditions)</b>   |   |
| Initial Condition 1<br>Components: Capa de 0-1 m-1@Capas<br>Coordinate system: Global coordinate system<br>Reference axis: X<br>Temperature of solid bodies: 35.35 °C |   |
| Initial Condition 2<br>Components: Capa de 1-2 m-1@Capas<br>Coordinate system: Global coordinate system<br>Reference axis: X<br>Temperature of solid bodies: 32.24 °C |   |

|   |                      |
|---|----------------------|
| <p>Initial Condition 3</p> <p>Components: Capa de 2-3 m-1 @Capas</p> <p>Coordinate system: Global coordinate system</p> <p>Reference axis: X</p> <p>Temperature of solid bodies: 30.42 °C</p>   |                      |
| <p>Initial Condition 4</p> <p>Components: Capa de 3-4 m-1 @Capas</p> <p>Coordinate system: Global coordinate system</p> <p>Reference axis: X</p> <p>Temperature of solid bodies: 28.56 °C</p>   |                      |
| <p>Initial Condition 5</p> <p>Components: Capa de 4-5 m-1 @Capas</p> <p>Coordinate system: Global coordinate system</p> <p>Reference axis: X</p> <p>Temperature of solid bodies: 29.23 °C</p>   |                      |
| <p>Initial Condition 6</p> <p>Components: Capa de 5-6 m-1 @Capas</p> <p>Coordinate system: Global coordinate system</p> <p>Reference axis: X</p> <p>Temperature of solid bodies: 28.42 °C</p>   |                      |
| <p>Initial Condition 7</p> <p>Components: Capa de 6-7 m-1 @Capas</p> <p>Coordinate system: Global coordinate system</p> <p>Reference axis: X</p> <p>Temperature of solid bodies: 26.80 °C</p>   |                      |
| <p>Initial Condition 8</p> <p>Components: Capa de 7-8 m-1 @Capas</p> <p>Coordinate system: Global coordinate system</p> <p>Reference axis: X</p> <p>Temperature of solid bodies: 26.70 °C</p>   |                      |
| <p>Initial Condition 9</p> <p>Components: Capa de 8-9 m-1 @Capas</p> <p>Coordinate system: Global coordinate system</p> <p>Reference axis: X</p> <p>Temperature of solid bodies: 26.10 °C</p>   |                      |
| <p>Initial Condition 10</p> <p>Components: Capa de 9-10 m-1 @Capas</p> <p>Coordinate system: Global coordinate system</p> <p>Reference axis: X</p> <p>Temperature of solid bodies: 26.20 °C</p> |                      |
| <p><b>Calculation Control Options (Finish Conditions)</b></p>   |                      |
| Finish Conditions   | If all are satisfied |
| Maximum physical time   | 604800 s             |
| <p><b>Calculation Control Options (Solver Refinement)</b></p>   |                      |
| Refinement  | Disabled             |
| <p><b>Calculation Control Options (Results Saving)</b></p>  |                      |
| Save before refinement  | On                   |
| <p><b>Calculation Control Options (Advanced Control Options)</b></p>  |                      |
| <p>Flow Freezing</p> <p>Flow freezing strategy: Disabled</p> <p>Manual time step (Freezing): Off</p> <p>Manual time step: 600 s</p> <p>Discretization level: 3</p>                              |                      |

## APÉNDICE G

### Datos de entrada a simulación del intercambiador de calor

| <b>Global Mesh Settings</b>                       |           |
|---|-----------|
| Automatic initial mesh                            | On        |
| Result resolution level                           | 3         |
| Advanced narrow channel refinement                | Off       |
| Refinement in solid region                        | Off       |
| <b>Geometry Resolution</b>                        |           |
| Evaluation of minimum gap size                    | Automatic |
| Evaluation of minimum wall thickness              | Automatic |
| <b>Computational Domain (Size)</b>                |           |
| X min   | -7.250 m  |
| X max   | 7.250 m   |
| Y min   | -10.250 m |
| Y max   | 5.000 m   |
| Z min   | -7.250 m  |
| Z max   | 7.250 m   |
| <b>Computational Domain (Boundary Conditions)</b> |           |
| 2D plane flow                                     | None      |
| At X min  | Default   |
| At X max  | Default   |
| At Y min  | Default   |
| At Y max  | Default   |
| At Z min  | Default   |
| At Z max  | Default   |

| <b>Physical Features</b>       |                |
|--------------------------------|----------------|
| Heat conduction in solids      | On             |
| Heat conduction in solids only | Off            |
| Radiation                      | Off            |
| Time dependent                 | On             |
| Gravitational effects          | On             |
| Rotation                       | Off            |
| Flow type                      | Turbulent only |

|  |   |
|--|---|
| High Mach number flow                                | Off   |
| Humidity   | Off   |
| Default roughness                                    | 0 micrometer  |
| <b>Gravitational Settings</b>                        |   |
| X component  | 0 m/s <sup>2</sup>  |
| Y component  | -9.81 m/s <sup>2</sup>  |
| Z component  | 0 m/s <sup>2</sup>  |
| <b>Default outer wall condition</b>                  |   |
| Wall temperature                                     | Table from time   |
| <b>Initial Conditions (Thermodynamic parameters)</b> |   |
| Static Pressure                                      | Table from time   |
| Temperature  | Table from time   |
| <b>Initial Conditions (Velocity parameters)</b>      |   |
| Velocity vector                                      |   |
| Velocity in X direction                              | 0 m/s   |
| Velocity in Y direction                              | 0 m/s   |
| Velocity in Z direction                              | 0 m/s   |
| <b>Ambient Conditions (Solid parameters)</b>         |   |
| Default material                                     | PVC 0.007 Plasticized   |
| Temperature of solid bodies                          | Table from time (Solo temperatura inicial)  |
| <b>Material Settings</b>                             |   |
| Fluids   | Air   |
| Solids   | PVC 0.007 Plasticized<br>capa 1<br>Capa 2<br>Capa 3<br>Capa 4<br>Capa 5<br>Capa 6<br>Capa 7<br>Capa 8<br>Capa 9<br>capa 10<br>PVC |
| <b>Material Settings (Solid Materials)</b>           |   |
| Components:  | capa 1 Solid Material 1<br>Capa de 0-1 m (Intercambiador-agujero)-1@Capas e Intercambiador 6.5 m<br>Solid substance: capa 1       |
| Components:  | Capa 2 Solid Material 1<br>Capa de 1-2 m (Intercambiador 1.5 m)-1@Capas e Intercambiador 1.5 m<br>Solid substance: Capa 2         |
| Components:  | Capa 3 Solid Material 1<br>Capa de 2-3 m-1@Capas e Intercambiador 1.5 m<br>Solid substance: Capa 3                                |

|  |                                   |
|--|-----------------------------------|
| Capa 4 Solid Material 1                                      |                                   |
| Components: Capa de 3-4 m-1@Capas e Intercambiador 2.5 m     |                                   |
| Solid substance: Capa 4                                      |                                   |
| Capa 5 Solid Material 1                                      |                                   |
| Components: Capa de 4-5 m-1@Capas e Intercambiador 3.5 m     |                                   |
| Solid substance: Capa 5                                      |                                   |
| Capa 6 Solid Material 1                                      |                                   |
| Components: Capa de 5-6 m-1@Capas e Intercambiador 4.5 m     |                                   |
| Solid substance: Capa 6                                      |                                   |
| Capa 7 Solid Material 1                                      |                                   |
| Components: Capa de 6-7 m-1@Capas e Intercambiador 5.5 m     |                                   |
| Solid substance: Capa 7                                      |                                   |
| Capa 8 Solid Material 1                                      |                                   |
| Components: Capa de 7-8 m-1@Capas e Intercambiador 6.5 m     |                                   |
| Solid substance: Capa 8                                      |                                   |
| Capa 9 Solid Material 1                                      |                                   |
| Components: Capa de 8-9 m-1@Capas e Intercambiador 6.5 m     |                                   |
| Solid substance: Capa 9                                      |                                   |
| capa 10 Solid Material 1                                     |                                   |
| Components: Capa de 9-10 m-1@Capas e Intercambiador 6.5 m    |                                   |
| Solid substance: capa 10                                     |                                   |
| PVC Solid Material 1   |                                   |
| Components: Intercambiador 200 m (1.5 m)-1@Capas e           |                                   |
| Intercambiador 1.5 m   |                                   |
| Solid substance: PVC   |                                   |
| <b>Boundary Conditions (Inlet Volume Flow 1)</b>             |                                   |
| Type   | Inlet Volume Flow                 |
| Faces  | LID1-1/Imported1//Face            |
| Coordinate system  | Face Coordinate System            |
| Reference axis   | X                                 |
| Flow vectors direction                                       | Normal to face                    |
| Volume flow rate   | 0.1417 m^3/s                      |
| Fully developed flow   | Yes                               |
| Approximate pressure   | Table from time                   |
| Temperature type   | Temperature of initial components |
| Temperature  | Table from time                   |
| <b>Boundary Conditions (Environment Pressure 1)</b>          |                                   |
| Type   | Environment Pressure              |
| Faces  | LID2-1/Imported1//Face            |
| Coordinate system  | Face Coordinate System            |
| Reference axis   | X                                 |
| Environment pressure   | Table from time                   |
| Temperature type   | Temperature of initial components |
| Temperature  | Table from time                   |
| <b>Material Settings (Local Initial Conditions)</b>          |                                   |
| Initial Condition 1  |                                   |
| Components: Capa de 0-1 m (Intercambiador-agujero)-1@Capas e |                                   |
| Intercambiador 6.5 m   |                                   |
| Coordinate system: Global coordinate system                  |                                   |
| Reference axis: X  |                                   |
| Temperature of solid bodies: Table from time                 |                                   |
| Initial Condition 2  |                                   |
| Components: Capa de 1-2 m (Intercambiador 1.5 m)-1@Capas e   |                                   |
| Intercambiador 1.5 m   |                                   |
| Coordinate system: Global coordinate system                  |                                   |

|   |                      |
|---|----------------------|
| Reference axis: X   |                      |
| Temperature of solid bodies: Table from time                  |                      |
| Initial Condition 3   |                      |
| Components: Capa de 2-3 m-1@Capas e Intercambiador 1.5 m      |                      |
| Coordinate system: Global coordinate system                   |                      |
| Reference axis: X   |                      |
| Temperature of solid bodies: Table from time                  |                      |
| Initial Condition 4   |                      |
| Components: Capa de 3-4 m-1@Capas e Intercambiador 2.5 m      |                      |
| Coordinate system: Global coordinate system                   |                      |
| Reference axis: X   |                      |
| Temperature of solid bodies: Table from time                  |                      |
| Initial Condition 5   |                      |
| Components: Capa de 4-5 m-1@Capas e Intercambiador 3.5 m      |                      |
| Coordinate system: Global coordinate system                   |                      |
| Reference axis: X   |                      |
| Temperature of solid bodies: Table from time                  |                      |
| Initial Condition 6   |                      |
| Components: Capa de 5-6 m-1@Capas e Intercambiador 4.5 m      |                      |
| Coordinate system: Global coordinate system                   |                      |
| Reference axis: X   |                      |
| Temperature of solid bodies: Table from time                  |                      |
| Initial Condition 7   |                      |
| Components: Capa de 6-7 m-1@Capas e Intercambiador 5.5 m      |                      |
| Coordinate system: Global coordinate system                   |                      |
| Reference axis: X   |                      |
| Temperature of solid bodies: Table from time                  |                      |
| Initial Condition 8   |                      |
| Components: Capa de 7-8 m-1@Capas e Intercambiador 6.5 m      |                      |
| Coordinate system: Global coordinate system                   |                      |
| Reference axis: X   |                      |
| Temperature of solid bodies: Table from time                  |                      |
| Initial Condition 9   |                      |
| Components: Capa de 8-9 m-1@Capas e Intercambiador 6.5 m      |                      |
| Coordinate system: Global coordinate system                   |                      |
| Reference axis: X   |                      |
| Temperature of solid bodies: Table from time                  |                      |
| Initial Condition 10  |                      |
| Components: Capa de 9-10 m-1@Capas e Intercambiador 6.5 m     |                      |
| Coordinate system: Global coordinate system                   |                      |
| Reference axis: X   |                      |
| Temperature of solid bodies: Table from time                  |                      |
| <b>Calculation Control Options (Finish Conditions)</b>        |                      |
| Finish Conditions   | If all are satisfied |
| Maximum physical time   | 258600 s             |
| <b>Calculation Control Options (Solver Refinement)</b>        |                      |
| Refinement  | Disabled             |
| <b>Calculation Control Options (Results Saving)</b>           |                      |
| Save before refinement  | On                   |
| <b>Calculation Control Options (Advanced Control Options)</b> |                      |
| Flow Freezing   |                      |
| Flow freezing strategy:                                       | Disabled             |
| Manual time step (Freezing):                                  | Off                  |
| Manual time step:   | 600 s                |

# APÉNDICE H

## Capturas de los catálogos

El ventilador centrífugo se seleccionó el ventilador PL-154 del catálogo de Soler&Palau.

The screenshot shows a catalog page for Soler&Palau's PL centrifugal fans. At the top right is the company logo: "Soler&Palau Ventilation Group". The main title is "PL Centrífugos para atmósferas corrosivas o explosivas". Below it, the model range is listed as "PL/E 10, 15, 20, 25, 30 y 35". A descriptive text states: "Brindan una gran eficiencia caudal-presión, en atmósferas donde el alto grado de sustancias corrosivas o explosivas disueltas en el ambiente, hacen imposible la colocación de extractores convencionales." A section titled "Aplicaciones" lists various industrial applications with corresponding icons: LABORATORIOS QUÍMICOS, INDUSTRIA FARMACÉUTICA, INDUSTRIA EXTRACTIVA, PROCESOS ALIMENTICIOS, INDUSTRIA ELECTRÓNICA, ALMACENES DE REACTIVOS, MANEJO DE PINTURAS Y SOLVENTES, QUÍMICA AGROPECUARIA, INDUSTRIA PETROQUÍMICA, and TRATAMIENTOS DE AGUA. Another section titled "Accesorios" shows a small icon of a bag or case. On the left side of the page, there is a large image of a person in a blue protective suit working in a facility, and below that, a detailed description of the fan's characteristics.

**Características**

- Conjunto carcasa en una sola pieza fabricada en polipropileno.
- Rodete tipo álabes curvos adelantados.
- Opción de motor a prueba de explosión clase I grupo D.
- Bajo nivel sonoro.
- Motor estándar cerrado con protección IP55.

## Características técnicas

\*Los valores de velocidad, potencia, voltaje e intensidad son nominales.

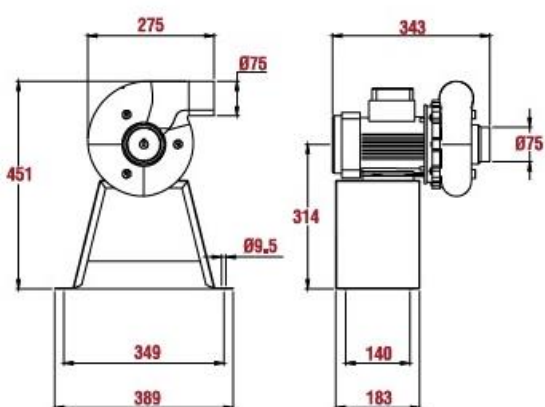
| Modelo      | Velocidad RPM | Potencia HP | Tensión Volts | Intensidad A   | Caudal a descarga libre m <sup>3</sup> /hr / CFM | Potencia sonora dB(A)* | Peso aprox. kg |
|-------------|---------------|-------------|---------------|----------------|--|------------------------|----------------|
| PL-102      | 3450          | 1/2         | 220 / 440     | 1.60 / 0.80    | 272 / 160  | 70                     | 8              |
| PL-152      | 3450          | 1/2         | 220 / 440     | 1.60 / 0.80    | 1,037 / 610                                      | 72                     | 11             |
| PL /PLE-154 | 1700          | 1/2         | 220 / 440     | 1.00 / 1.00    | 510 / 300  | 54                     | 10             |
| PL-202      | 3450          | 1 1/2       | 208-230 / 460 | 4.00 / 2.00    | 2,082 / 1,225                                    | 75                     | 15             |
| PL /PLE-204 | 1700          | 1/2         | 220 / 440     | 1.00 / 1.00    | 1,530 / 900                                      | 58                     | 12             |
| PL /PLE-254 | 1740          | 3/4         | 208-230 / 460 | 2.80 / 1.40    | 2,890 / 1,700                                    | 58                     | 16             |
| PL /PLE-304 | 1765          | 2           | 208-230 / 460 | 5,738 / 3,375  | 5,738 / 3,375                                    | 54                     | 28             |
| PL /PLE-354 | 1765          | 10          | 208-230 / 460 | 10,431 / 6,136 | 10,431 / 6,136                                   | 81                     | 75             |
| PL-356      | 1150          | 5           | 208-230 / 460 | 7,715 / 4,538  | 7,715 / 4,541                                    | 78                     | 68             |

\*Nivel sonoro medido con acuerdo con las normas AMCA 300 / 05 y 301 / 05

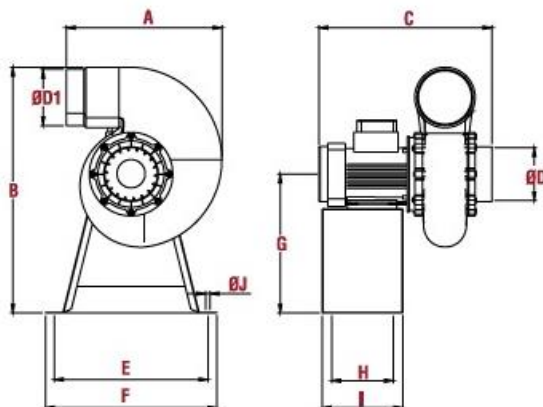
Modelo PLE: Equipo a prueba de explosión.

## – Dimensiones

**MODELOS 10**



**MODELOS 15-35**



Dimensiones de motor a prueba de explosión

Dimensiones en mm

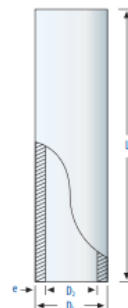
| Modelo | 15    |           | 20        |           | 25        |           | 30      |         | 35       |      |
|--------|-------|-----------|-----------|-----------|-----------|-----------|---------|---------|----------|------|
|        | Motor | 1/2 HP 4P | 1/2 HP 2P | 1/2 HP 4P | 1/2 HP 2P | 3/4 HP 4P | 2 HP 4P | 5 HP 6P | 10 HP 4P |      |
| A      |       | 363       | 363       | 390       | 390       | 466       | 547     | 726     | 726      |      |
| B      | 569   | 556       | 556       | 619       | 616       | 779       | 898     | 1172    | 1169     | 1172 |
| C      | 463   | 392       | 392       | 479       | 471       | 490       | 518     | 547     | 564      | 538  |
| D      |       | 120       | 120       | 158       | 158       | 200       | 248     | 323     | 323      |      |
| E      |       | 127       | 127       | 165       | 165       | 217       | 274     | 320     | 320      |      |
| F      |       | 349       | 349       | 349       | 349       | 385       | 407     | 555     | 555      |      |
| G      |       | 389       | 389       | 389       | 389       | 425       | 447     | 605     | 605      |      |
| H      | 327   | 314       | 314       | 327       | 324       | 324       | 399     | 441     | 607      | 604  |
| I      |       | 140       | 140       | 140       | 140       | 140       | 140     | 220     | 220      |      |
| J      |       | 183       | 183       | 183       | 183       | 183       | 183     | 303     | 303      |      |
|        |       | 9.5       | 9.5       | 9.5       | 9.5       | 9.5       | 9.5     | 11      | 11       |      |

Las tuberías se seleccionaron de un catálogo CRESCO.

### VENTAJAS

- **Bajo Coeficiente de Fricción**, mayor eficiencia.
- **Paredes Lisas** permitiendo una descarga más rápida.
- **Bajo Peso, facilitando su instalación**, transporte e instalación.
- **Facilidad de Instalación**, mayor avance en menos tiempo.
- **Alta Resistencia al impacto** y gran flexibilidad.
- **Auto Extinguible**, no propaga llama.
- **Diámetros disponibles desde 1-½" hasta 8"**.
- **Fabricación de acuerdo a NMEX-E-199/1**.

| Diámetro Exterior (mm) | Diámetro Interior (mm) | Espesor Mínimo (mm) | Peso Promedio (kg/m) | Cantidad por Camión (Torton) |
|------------------------|------------------------|---------------------|----------------------|------------------------------|
| D <sub>1</sub>         | D <sub>2</sub>         | e                   |                      |                              |
| 40                     | 36.40                  | 1.8                 | 0.3185               | 2,000                        |
| 50                     | 46.40                  | 1.8                 | 0.4023               | 1,350                        |
| 75                     | 71.40                  | 1.8                 | 0.6112               | 700                          |
| 110                    | 105.40                 | 2.3                 | 1.1505               | 500                          |
| 160                    | 153.40                 | 3.3                 | 2.4023               | 238                          |
| 200                    | 192.00                 | 4.0                 | 3.6440               | 143                          |



3 | TUBERÍA SANITARIA DE NORMA

DIÁMETROS de 40mm a 200mm



**Cresco**<sup>®</sup>  
Alta Tecnología en Tubería Plástica

Para el sistema de control:

**PCS110FZ**

PCS 110FZ Operator Panel

Manufacturers

Lauer

Estimated Shipping Size

Dimensions: 13.0" x 8.0" x 2.0"

(33.0 cm x 20.3 cm x 5.1 cm)

Weight: 3 lbs 8.0 oz (1.6kg )

Tariff Code: 8528510000

Country of Origin: Germany

Ships from Webster NY, USA



**Classic**  
AUTOMATION



| MODEL        | Min ON (Cut-In)<br>PSI | Max Off<br>(Cut-Out)<br>PSI | Differential<br>PSI | Factory Setting<br>PSI | Electrical Rating |        | Pipe Fittings                 | Contact<br>Arrangement |
|--------------|------------------------|-----------------------------|---------------------|------------------------|-------------------|--------|-------------------------------|------------------------|
|              |                        |                             |                     |                        | 120VAC            | 240VAC |                               |                        |
| LF10-<br>1H1 | 25                     | 100                         | 20-30               | 50-80                  | 20A               | 12A    | NPT 1/4 Male or<br>Female NPT | NC                     |